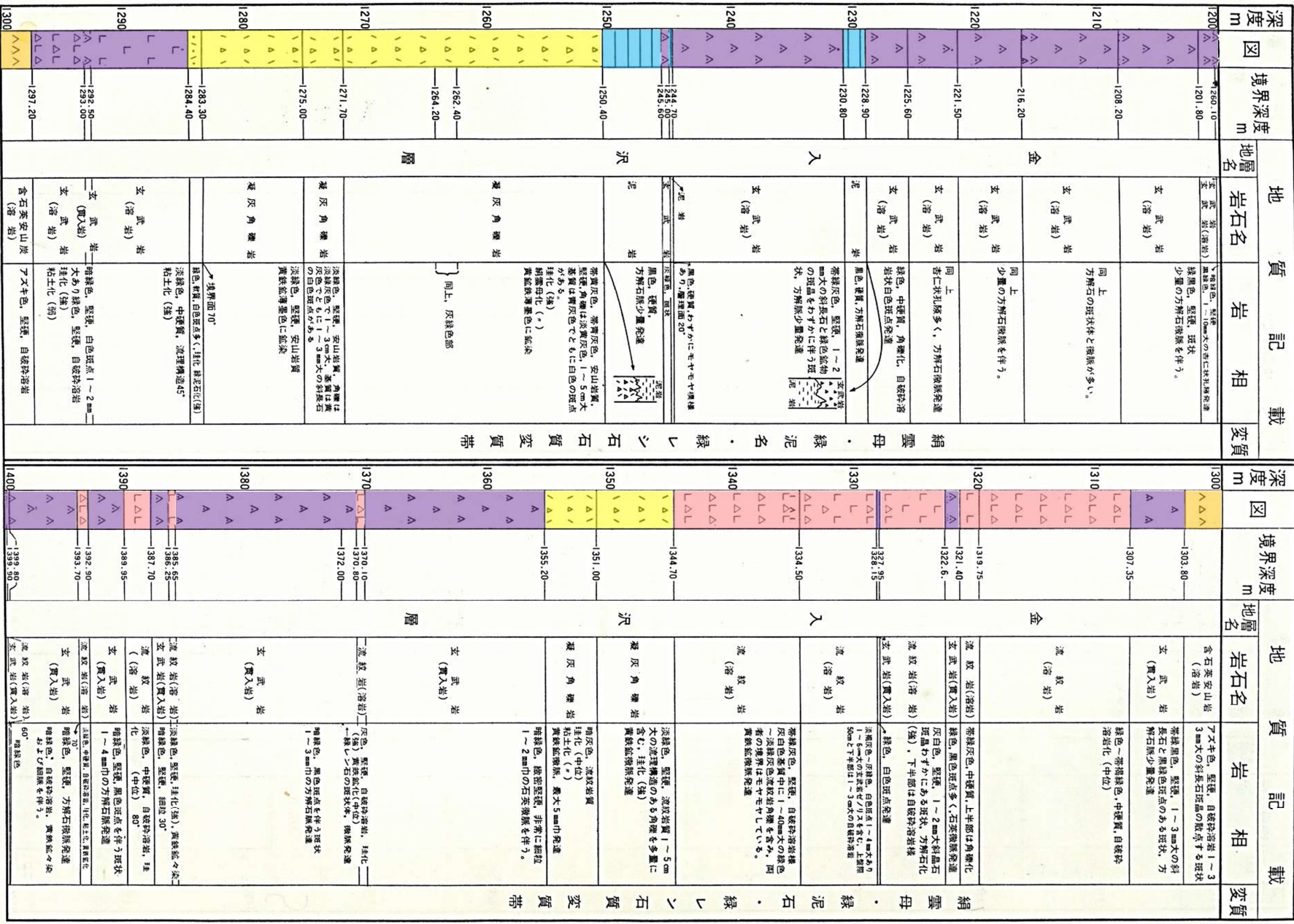


# 2.2 地質柱状図(7/8)

## 45EASM-1孔 深度1,200m~1,400m

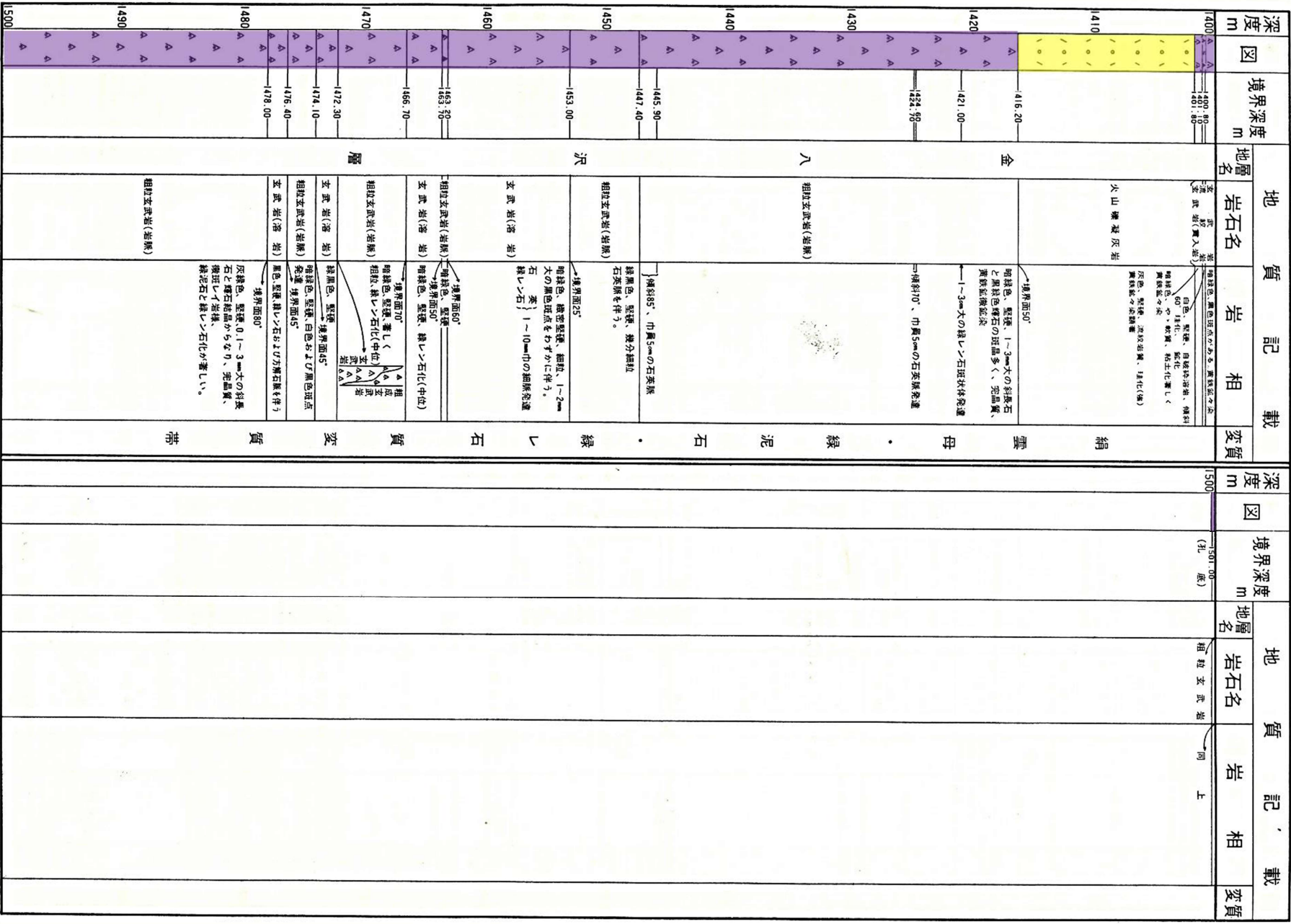
材木川地区 45EASM-1号 1200m~1400m



# 2.2 地質柱状図(8/8)

## 45EASM-1孔 深度1,400m~1,501m

材木川地区 45EASM-1号 1400m~1501.00m



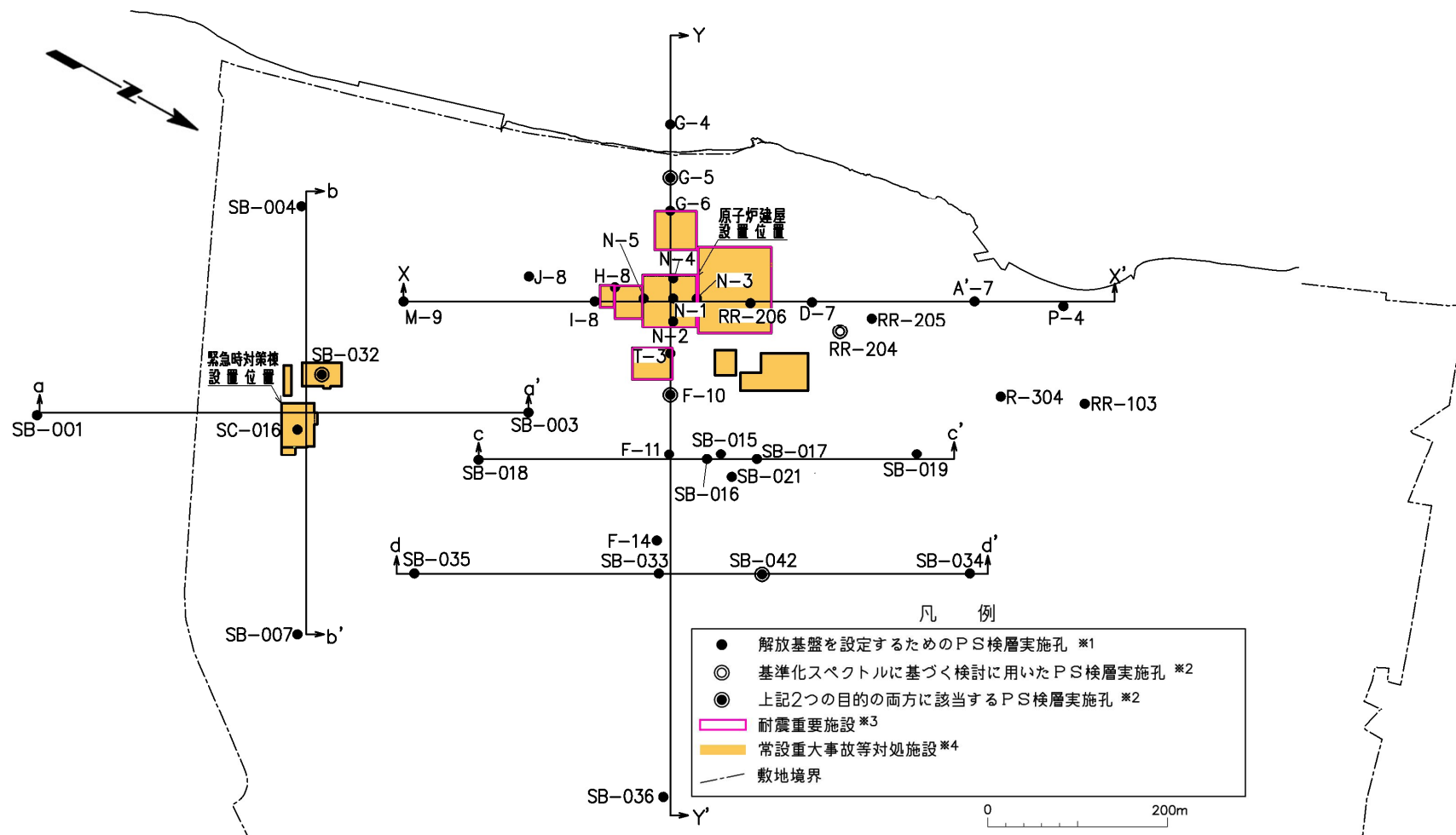
### 3. 敷地内ボーリングの詳細データ集

### 3.1 調査位置図

### 3.1 調査位置図

コメントNo.S3-5

#### PS検層実施孔の調査位置図



※1:「解放基盤を設定するためのPS検層実施孔」は、図示する6本の測線に沿うことを原則とする。  
ただし、R-304孔及びRR-103孔は、測線から離れているものの、敷地の北側に分布するデイサイトの速度構造を把握するために実施したものであることから、「本編資料P.2-41 PS検層結果(南北方向X-X'断面)」に投影して反映した。

※2:「標準化スペクトルに基づく検討に用いたPS検層実施孔」のうち、RR-204孔を除くF-10孔、G-5孔、SB-032孔、SB-042孔の4孔は、「解放基盤を設定するためのPS検層実施孔」にも該当するボーリングである。

※3:設置許可基準規則第三条の対象となる耐震重要施設(間接支持構造物を含む)。

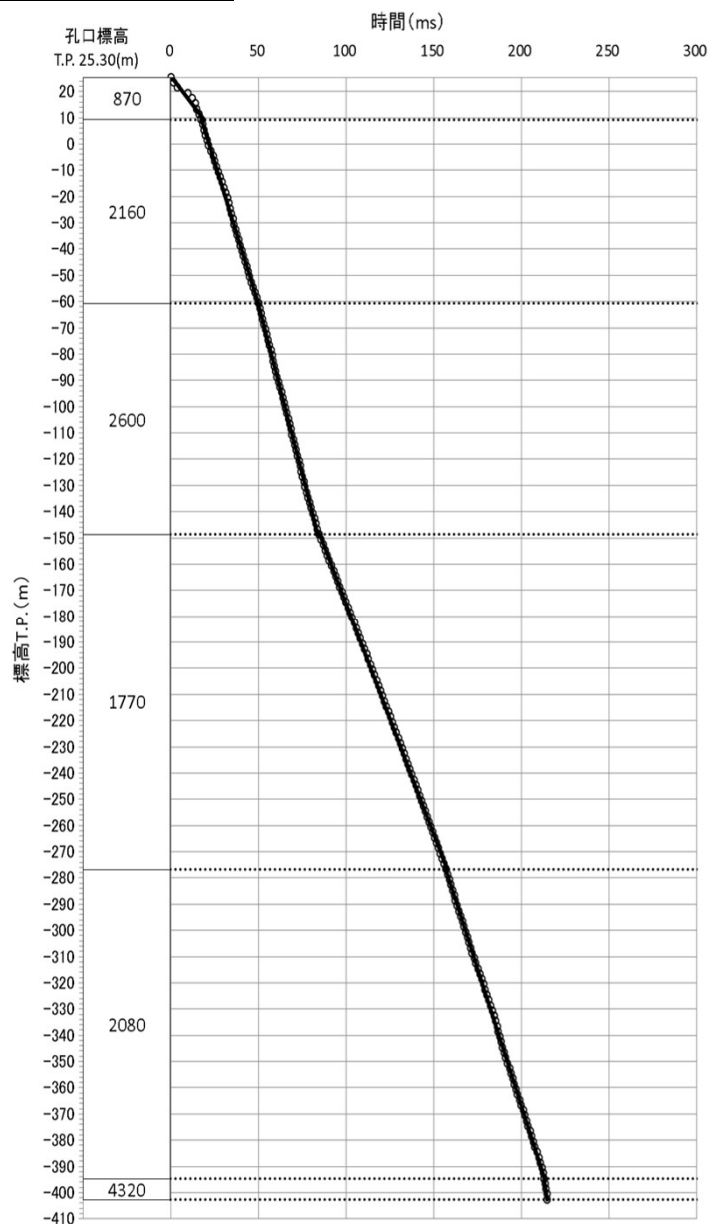
※4:設置許可基準規則第三十八条の対象となる常設耐震重要重大事故防止設備又は常設重大事故緩和設備が設置される重大事故等対処施設(特定重大事故等対処施設及び防護上の観点から公開不可の施設を除く)。

## 3.2 PS検層の走時データ

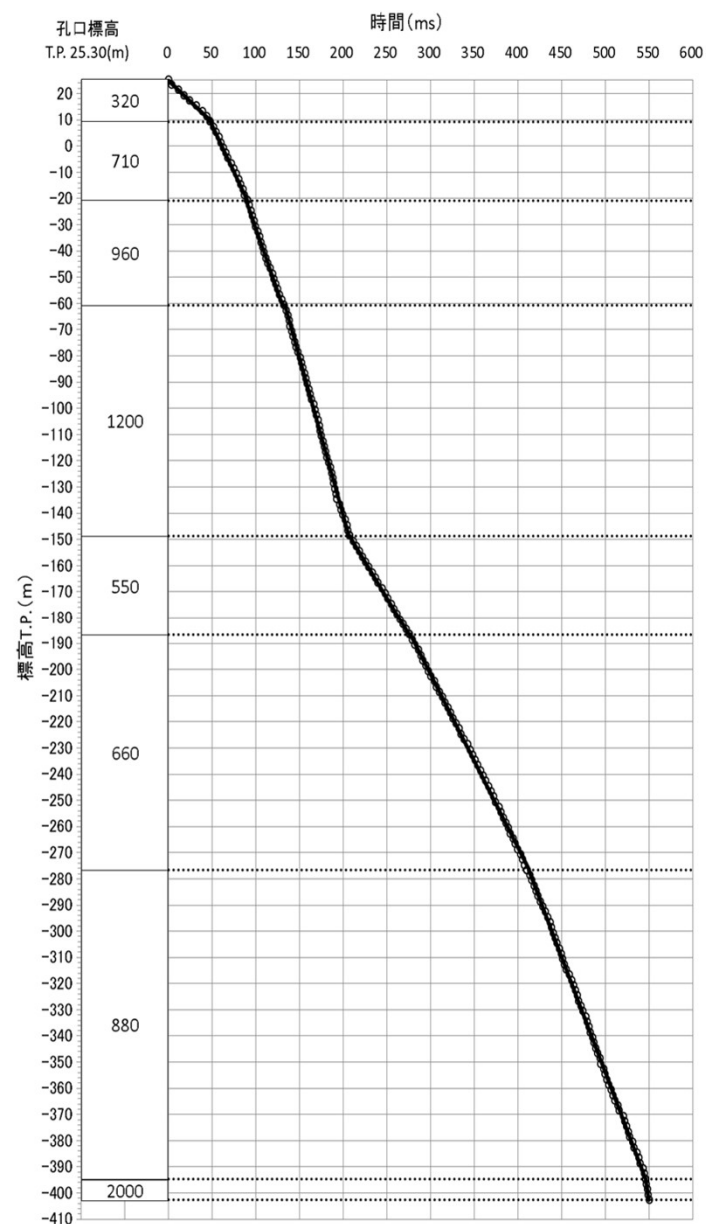
## 3.2.1 南北方向X-X'断面のPS検層データ (1/14)

コメントNo.S3-5

### M-9孔の走時曲線



走時曲線(P波)



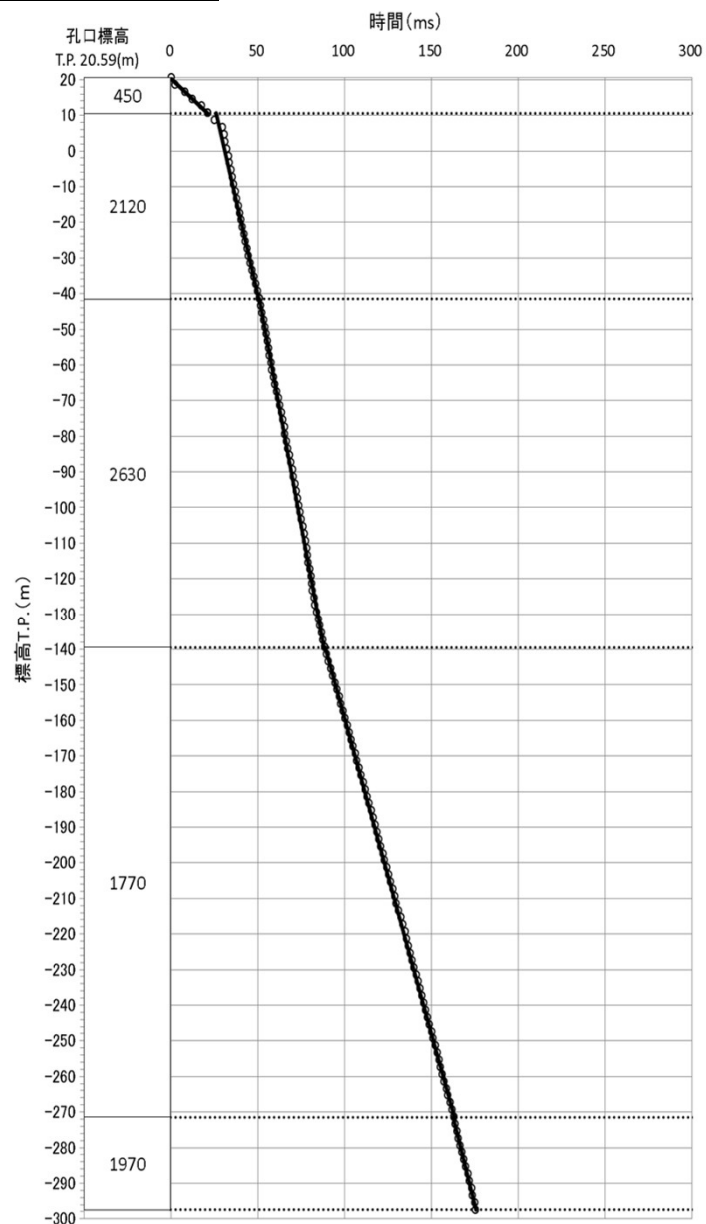
走時曲線(S波)

注) グラフ内の数字は、当該区間の走時(m/s)を示す。

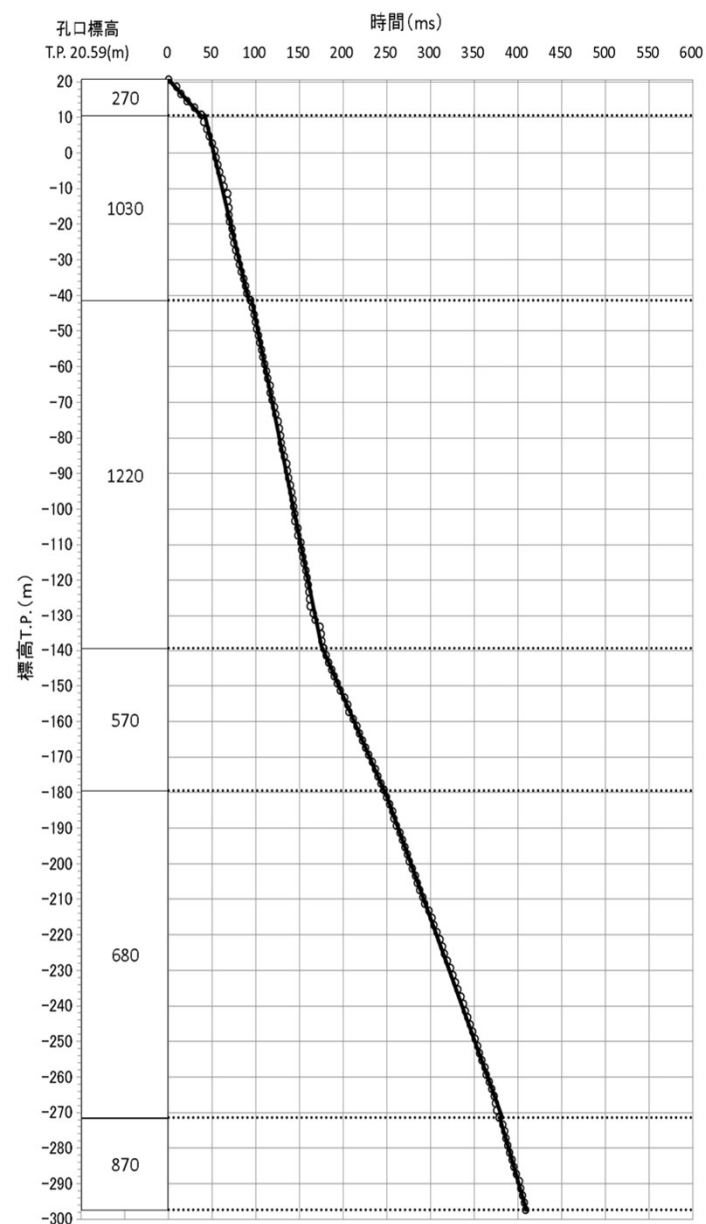
## 3.2.1 南北方向X-X'断面のPS検層データ (2/14)

コメントNo.S3-5

### J-8孔の走時曲線



走時曲線(P波)



走時曲線(S波)

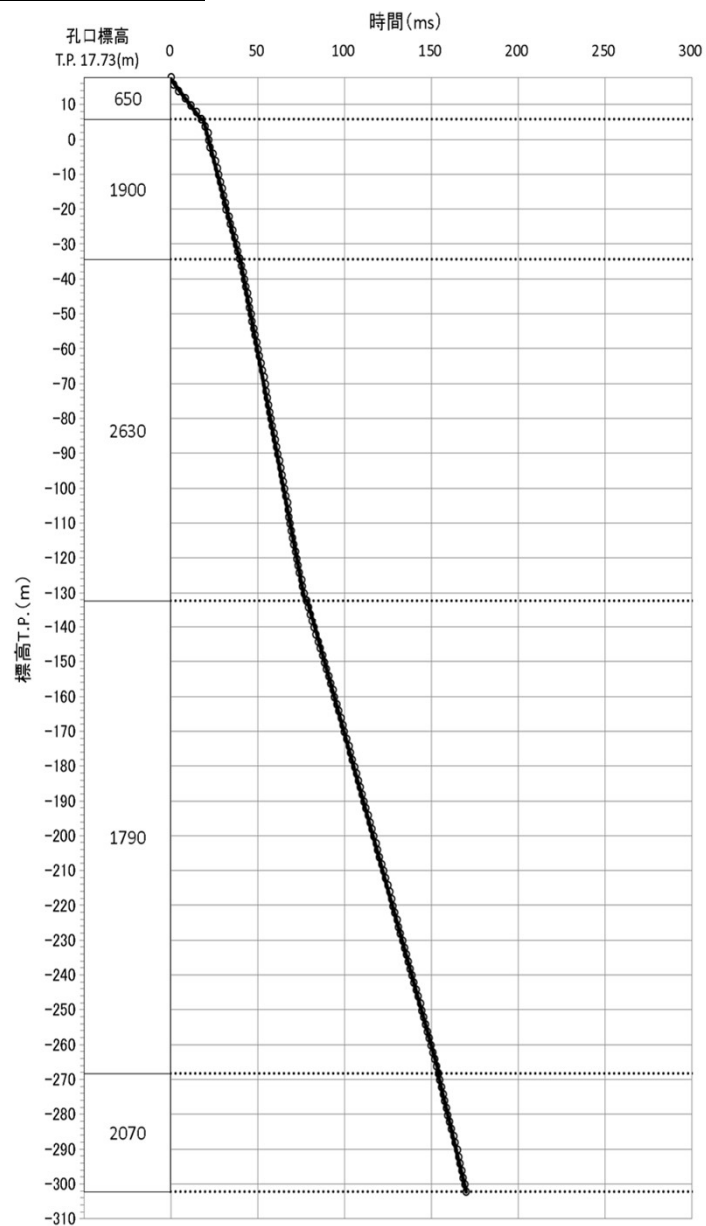
注) グラフ内の数字は、当該区間の走時(m/s)を示す。



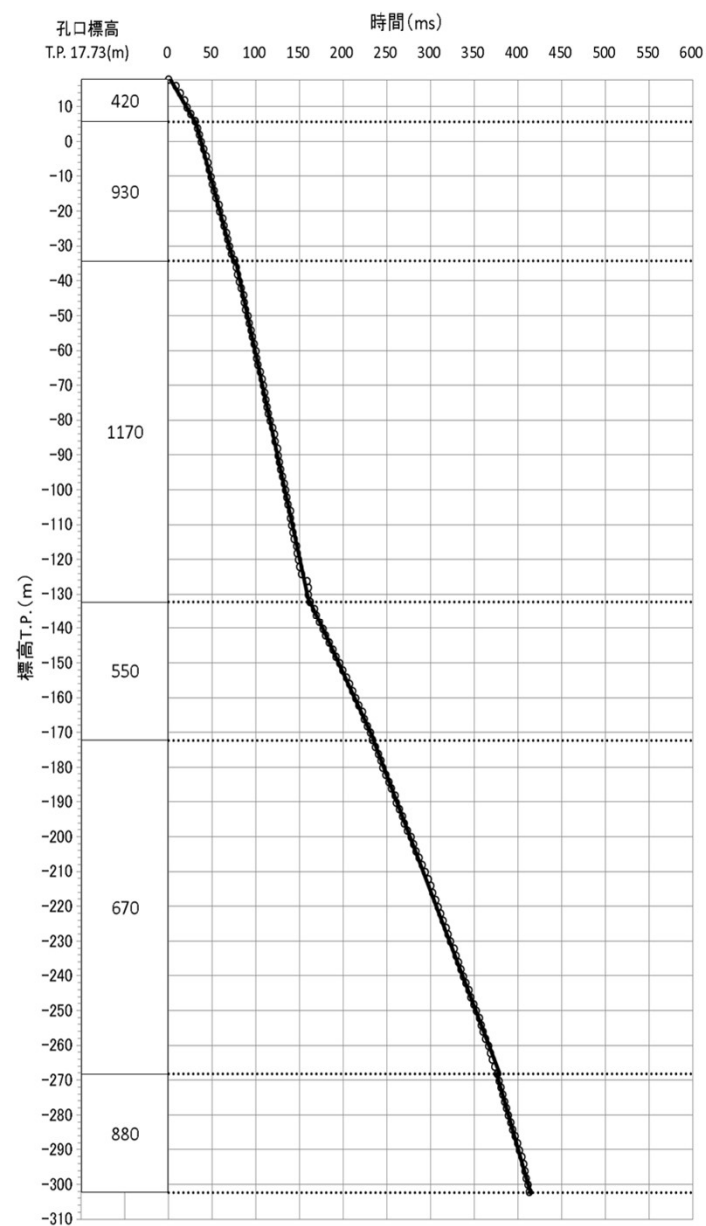
## 3.2.1 南北方向X-X'断面のPS検層データ (3/14)

コメントNo.S3-5

## I-8孔の走時曲線



走時曲線(P波)



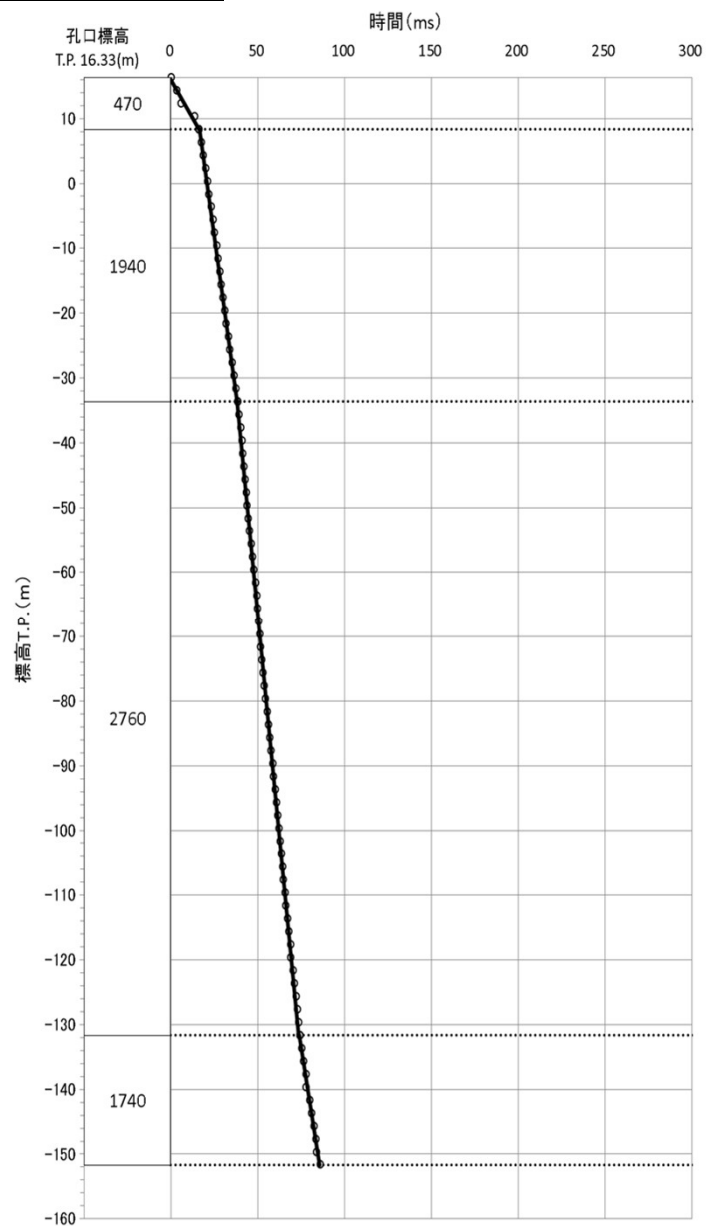
走時曲線(S波)

注) グラフ内の数字は、当該区間の走時 (m/s) を示す。

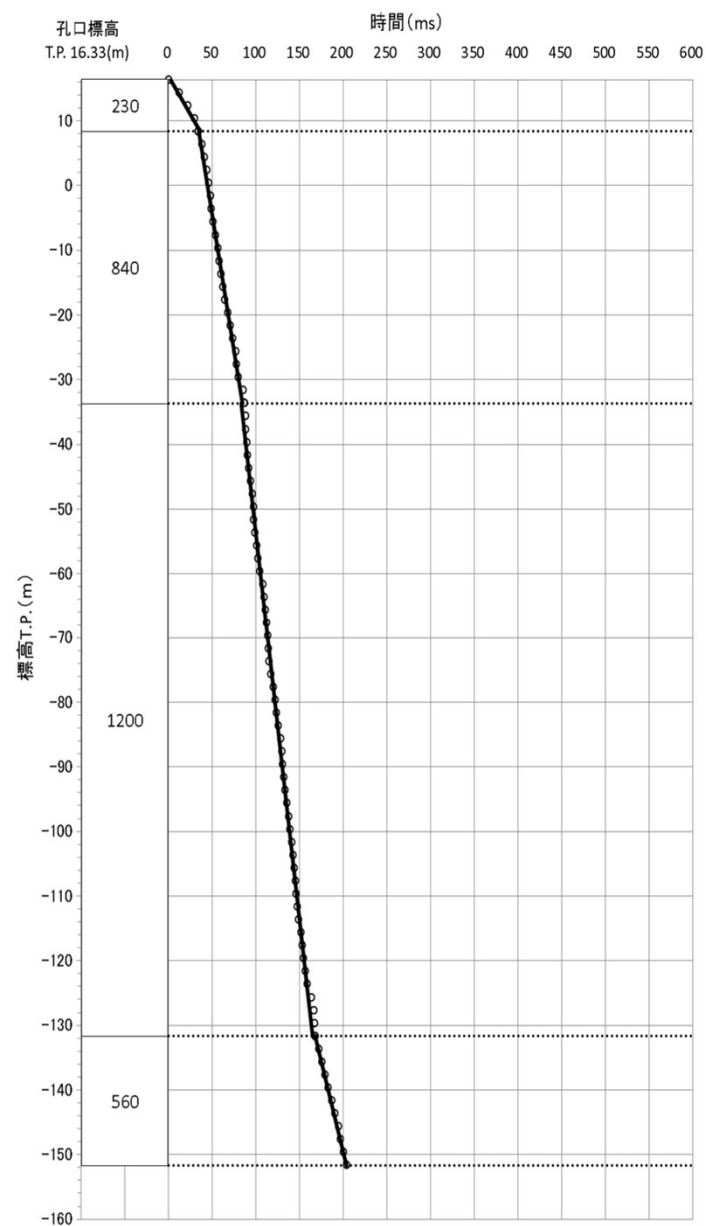
## 3.2.1 南北方向X-X'断面のPS検層データ (4/14)

コメントNo.S3-5

### H-8孔の走時曲線



走時曲線(P波)



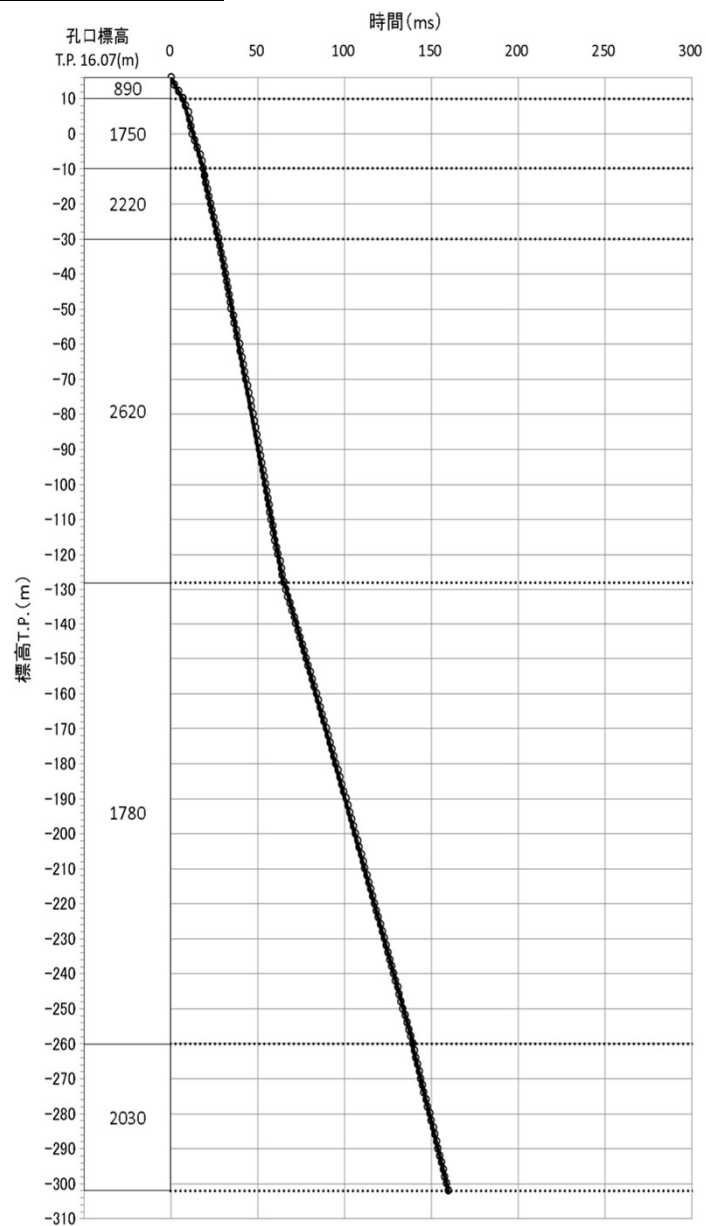
走時曲線(S波)

注) グラフ内の数字は、当該区間の走時 (m/s) を示す。

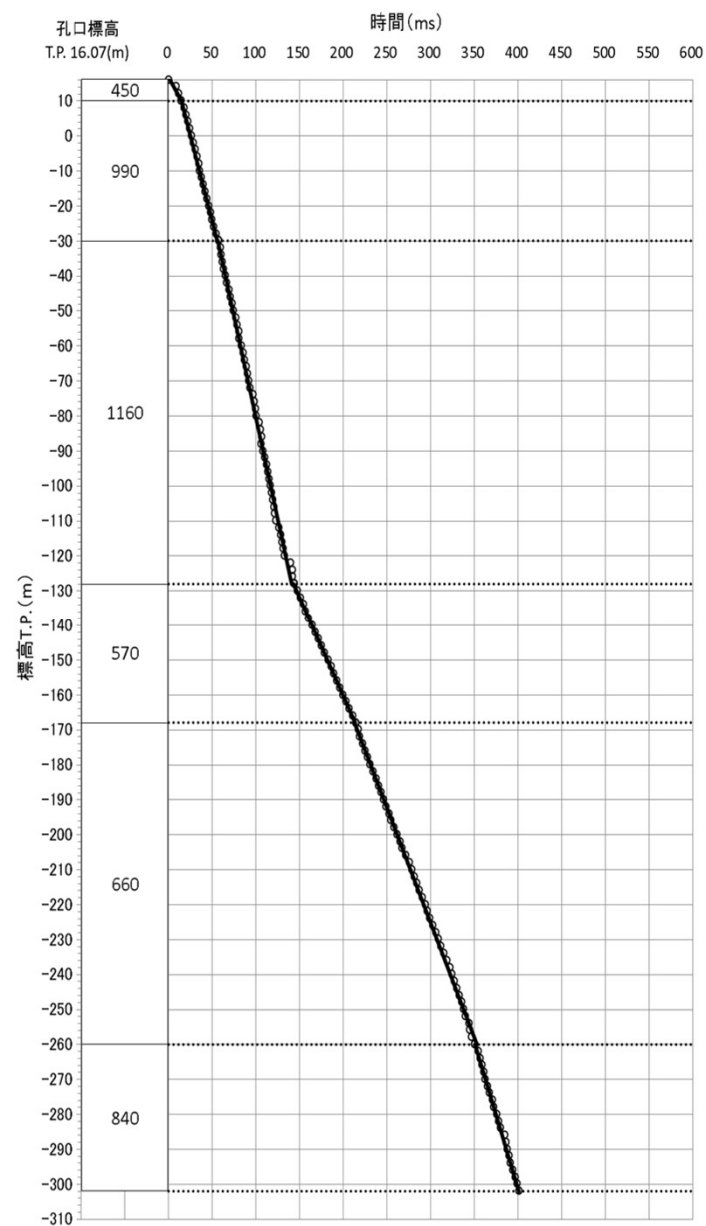
## 3.2.1 南北方向X-X'断面のPS検層データ (5/14)

コメントNo.S3-5

### N-5孔の走時曲線



走時曲線(P波)



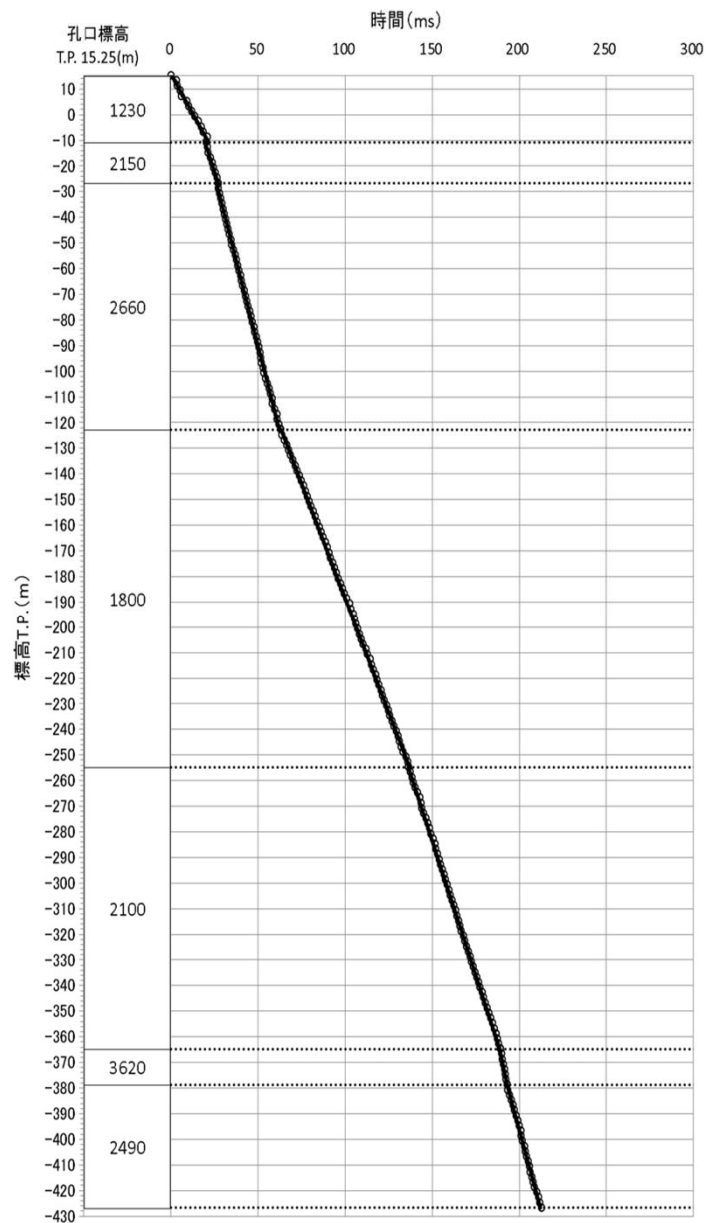
走時曲線(S波)

注) グラフ内の数字は、当該区間の走時 (m/s) を示す。

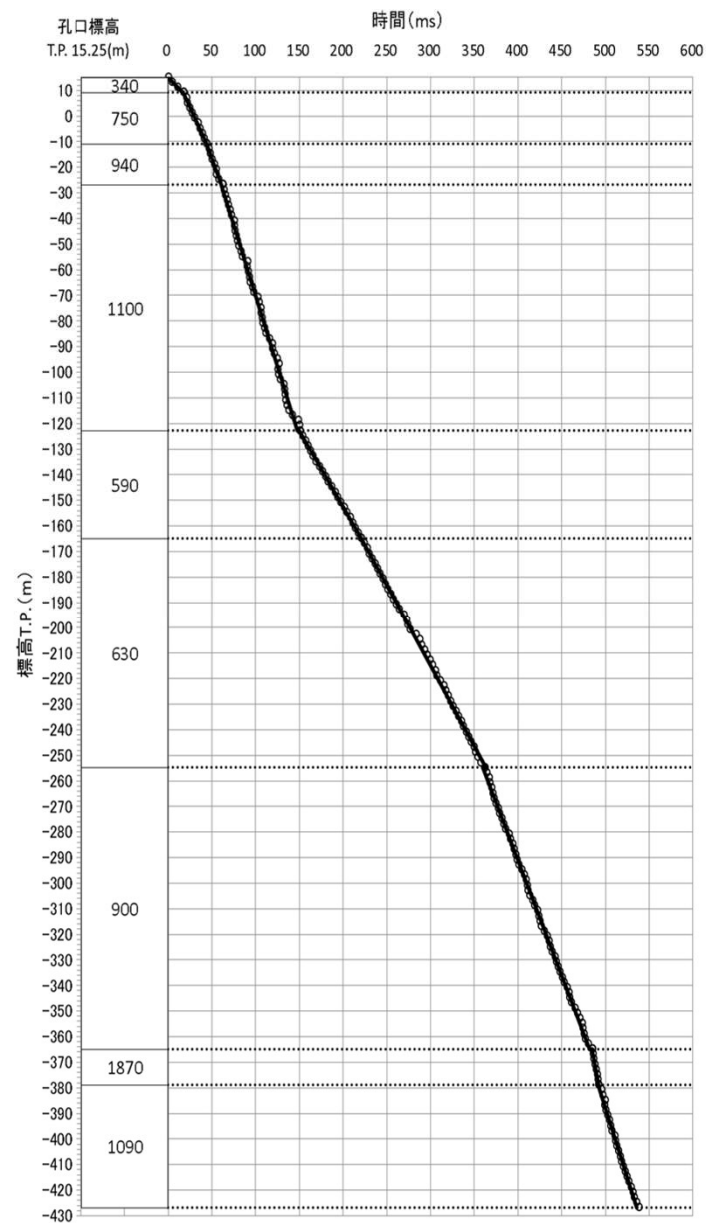
## 3.2.1 南北方向X-X'断面のPS検層データ (6/14)

コメントNo.S3-5

## N-1孔の走時曲線



走時曲線(P波)



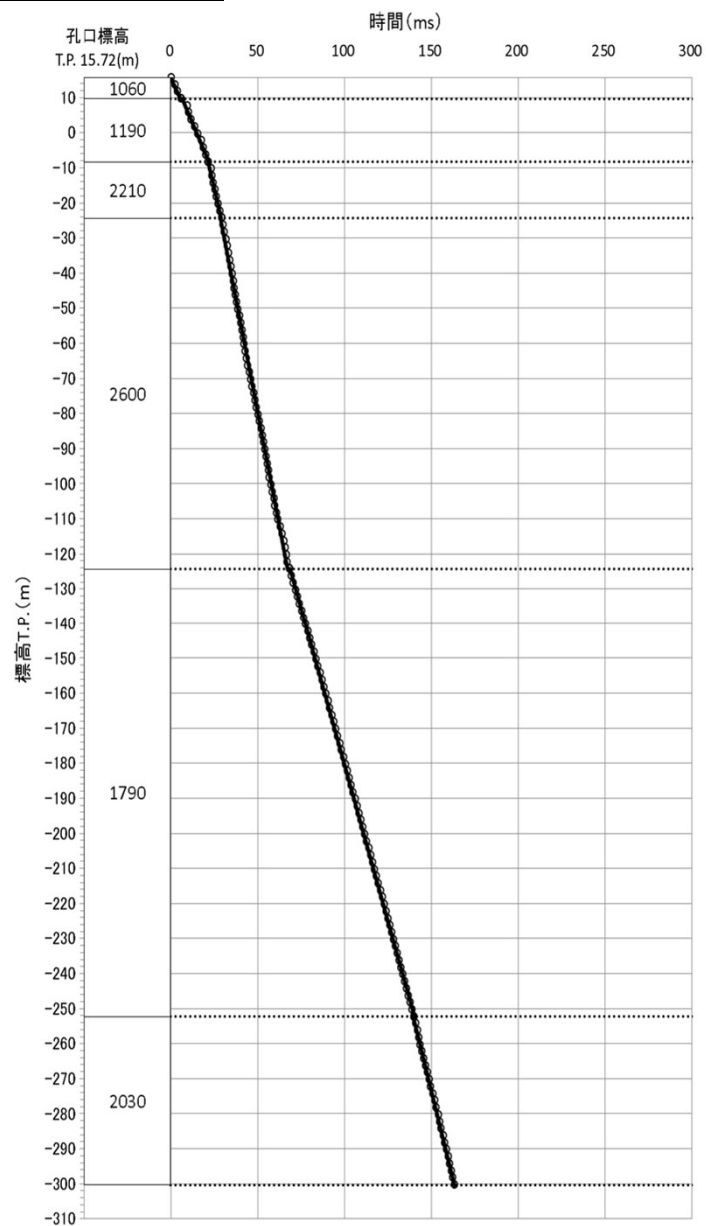
走時曲線(S波)

注) グラフ内の数字は、当該区間の走時(m/s)を示す。

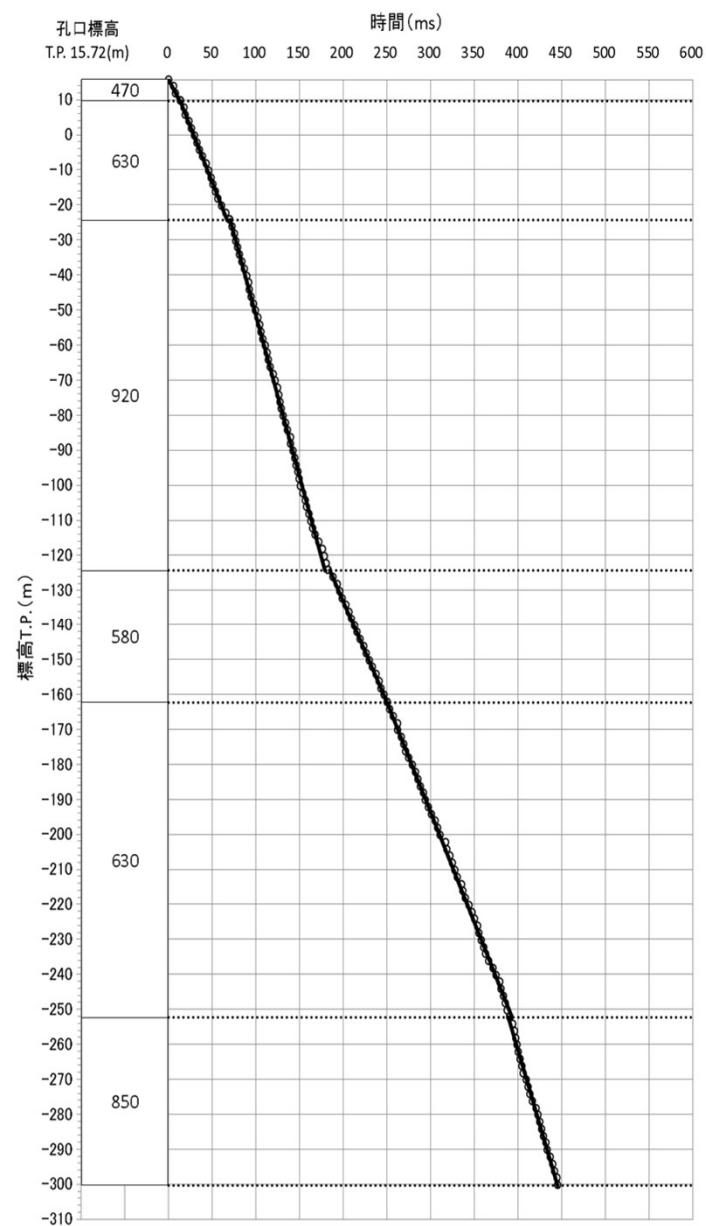
## 3.2.1 南北方向X-X'断面のPS検層データ (7/14)

コメントNo.S3-5

### N-3孔の走時曲線



走時曲線(P波)



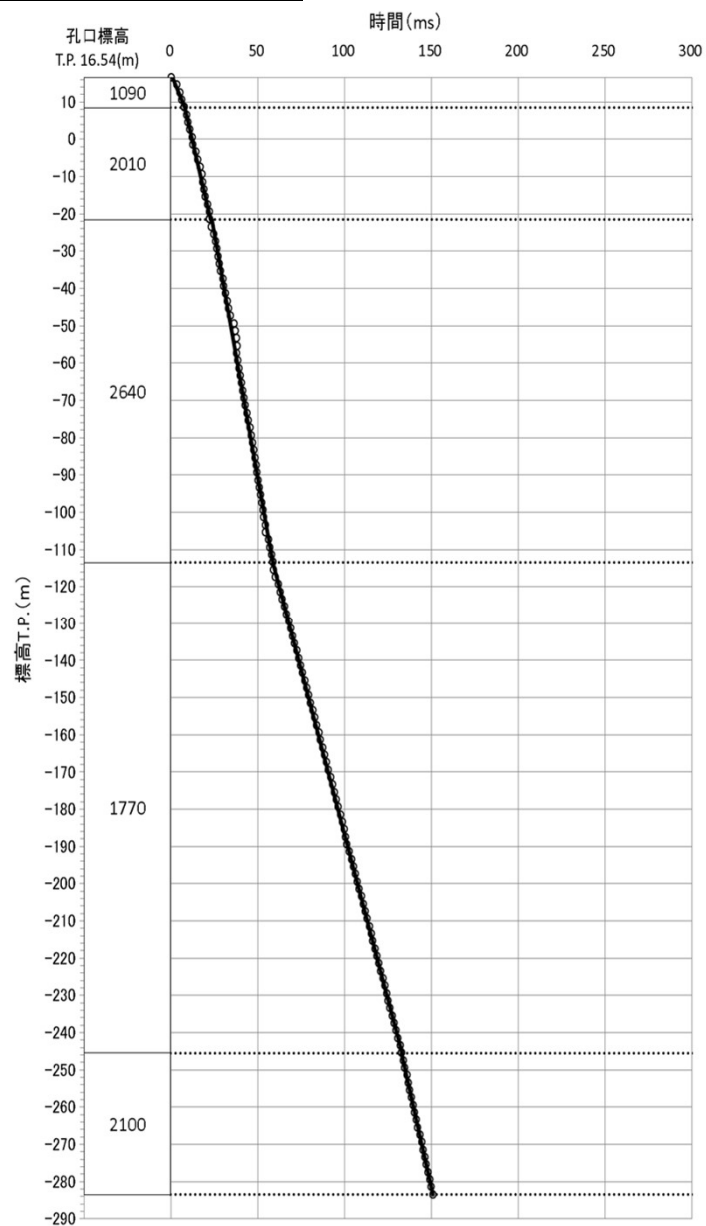
走時曲線(S波)

注) グラフ内の数字は、当該区間の走時(m/s)を示す。

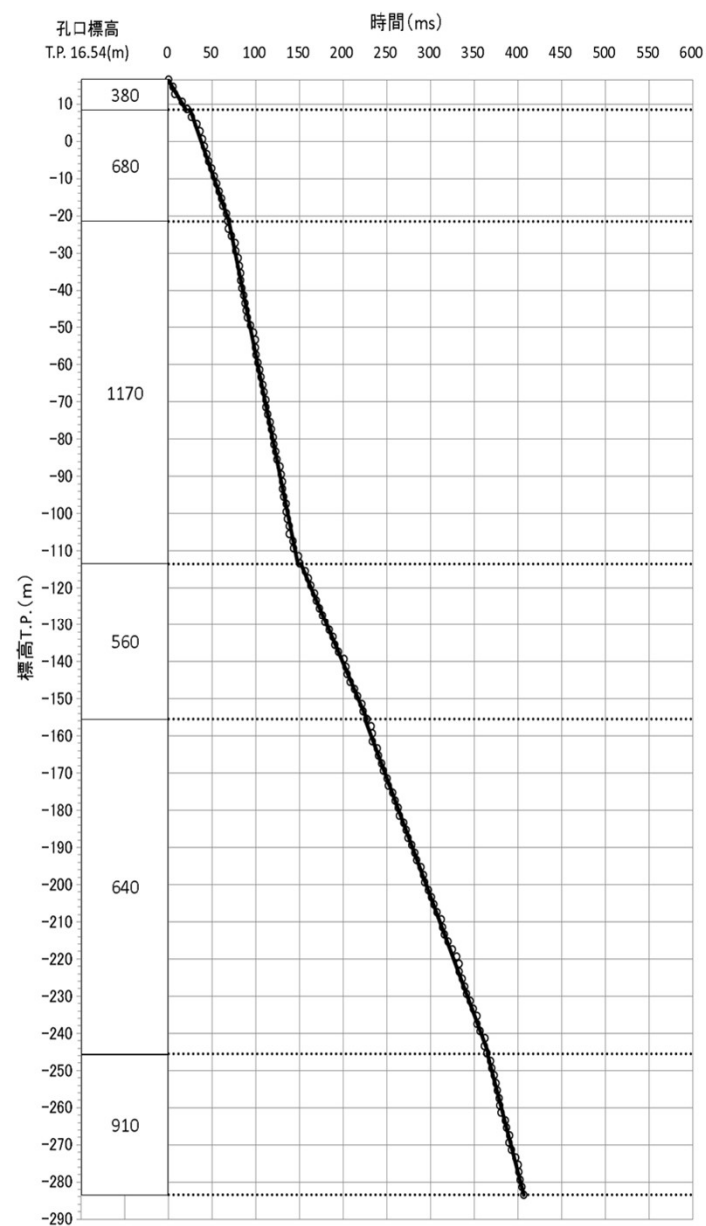
### 3.2.1 南北方向X-X' 断面のPS検層データ (8/14)

コメントNo.S3-5

#### RR-206孔の走時曲線



走時曲線 (P波)



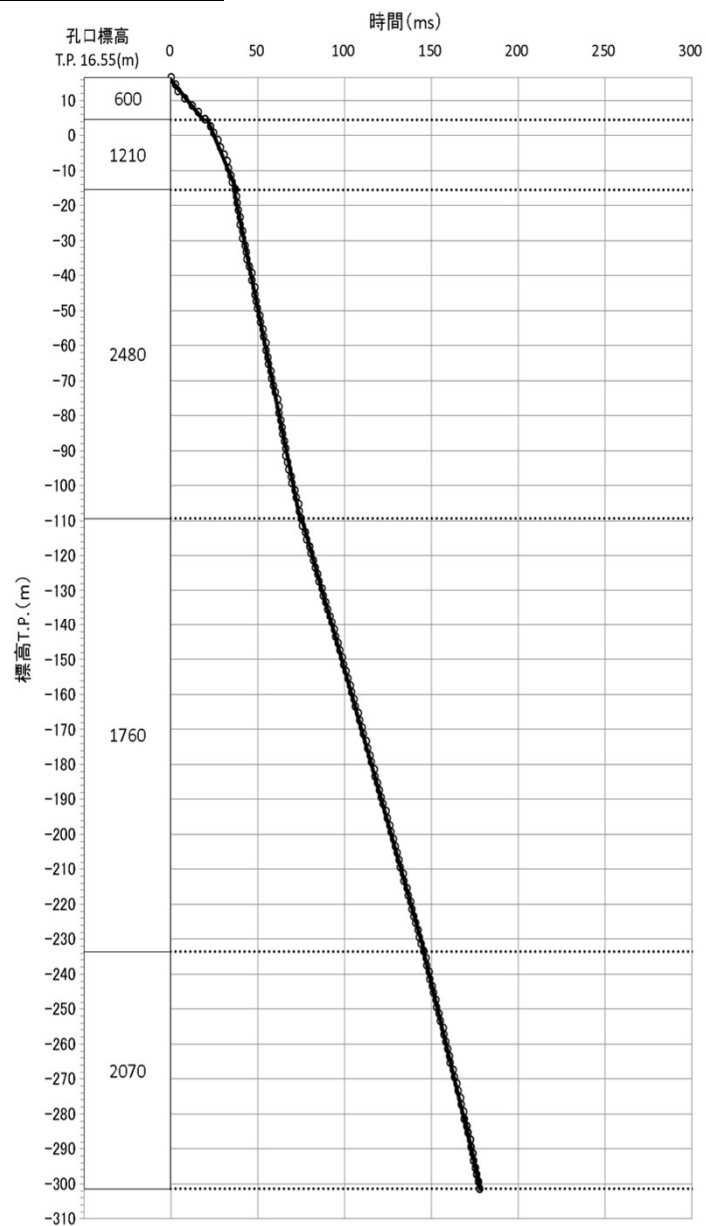
走時曲線 (S波)

注) グラフ内の数字は、当該区間の走時 (m/s) を示す。

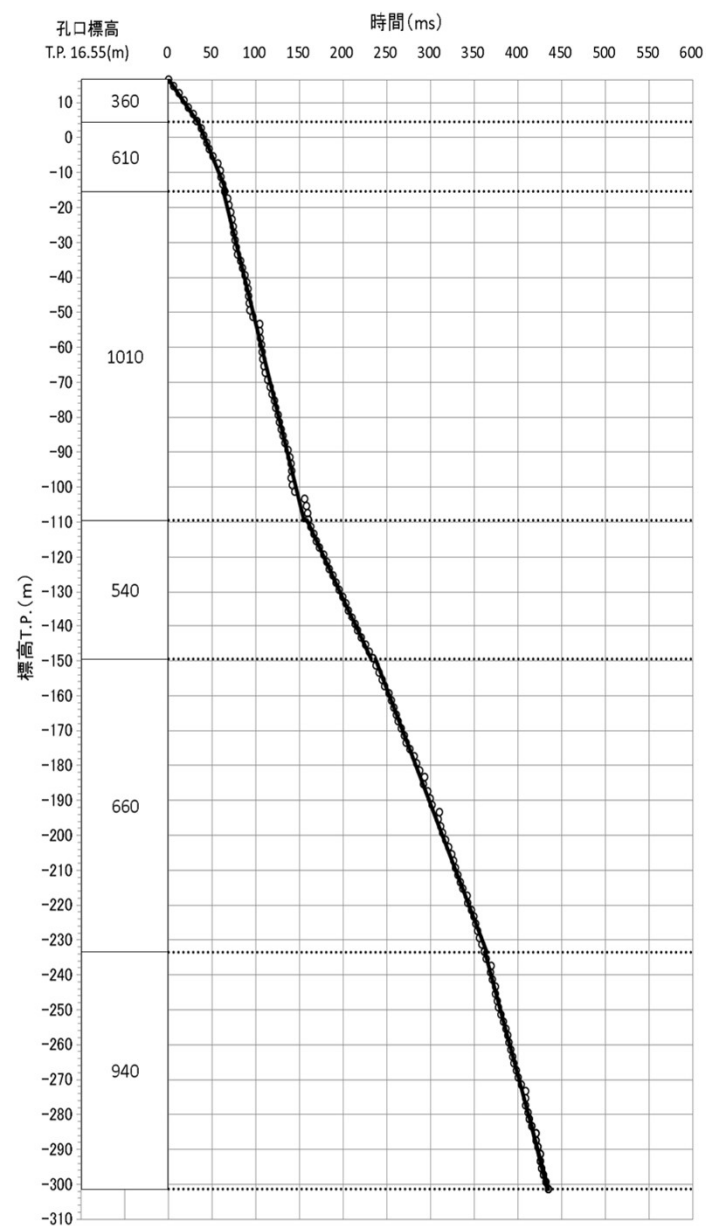
## 3.2.1 南北方向X-X'断面のPS検層データ (9/14)

コメントNo.S3-5

### D-7孔の走時曲線



走時曲線(P波)



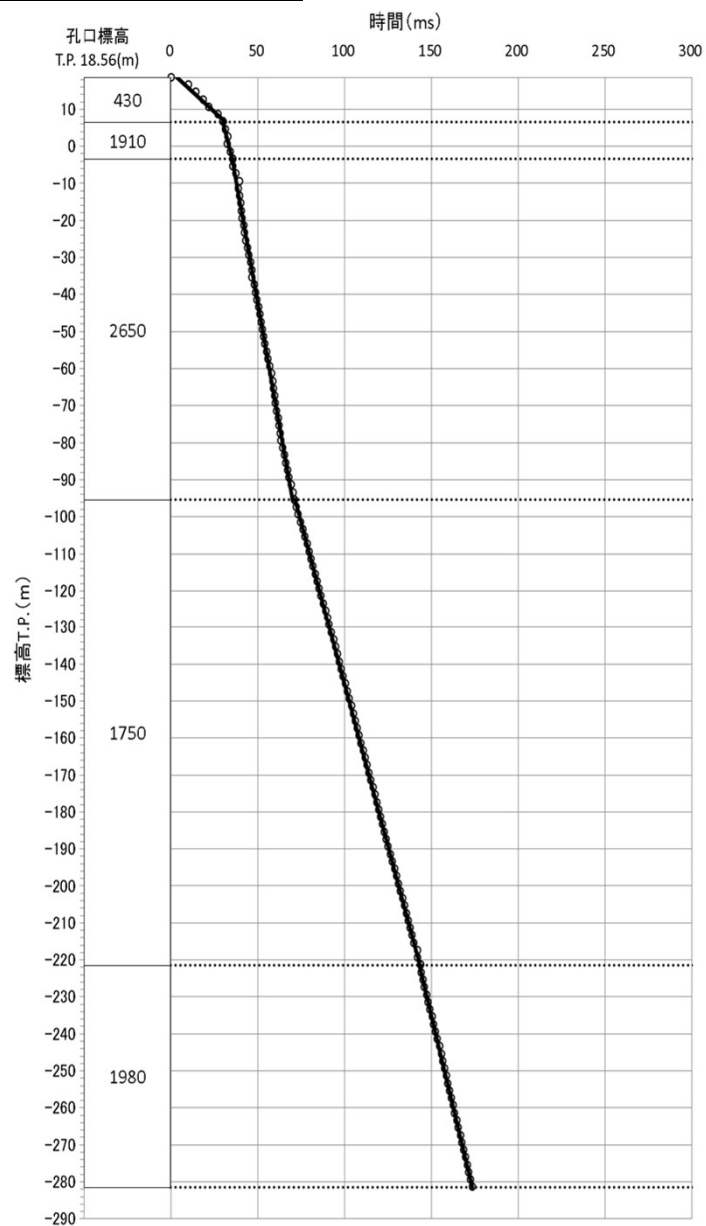
走時曲線(S波)

注) グラフ内の数字は、当該区間の走時 (m/s) を示す。

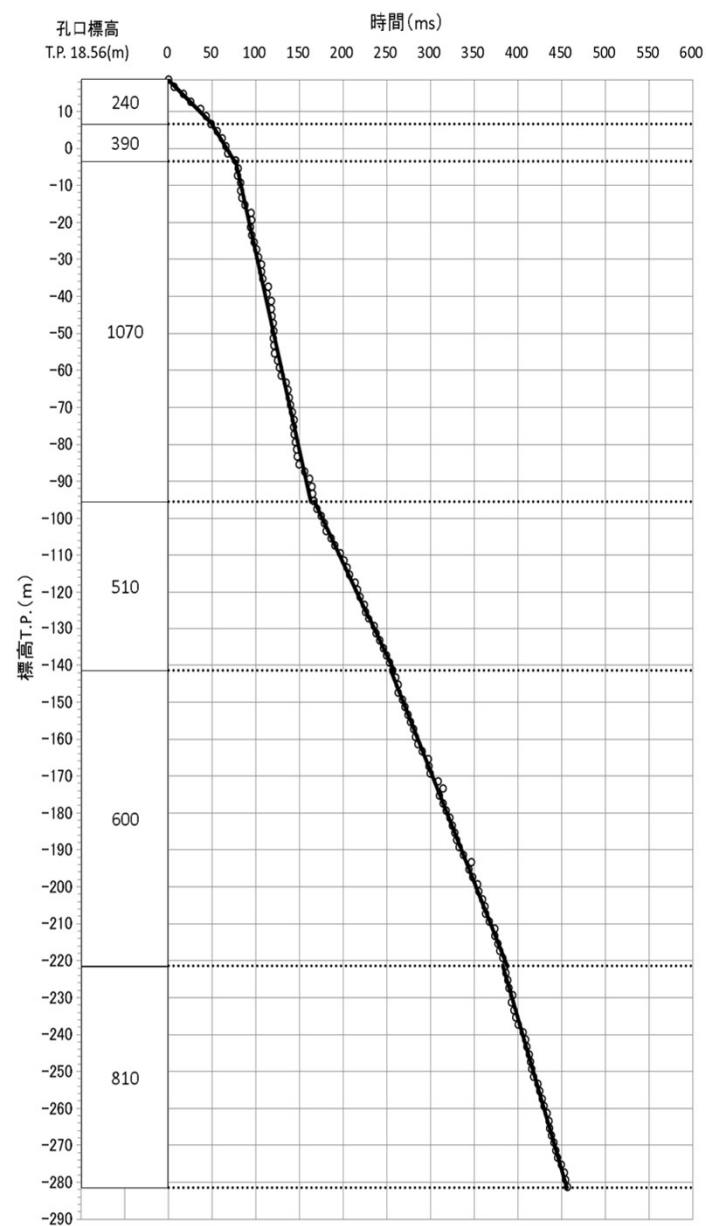
## 3.2.1 南北方向X-X'断面のPS検層データ (10/14)

コメントNo.S3-5

### RR-205孔の走時曲線



走時曲線(P波)



走時曲線(S波)

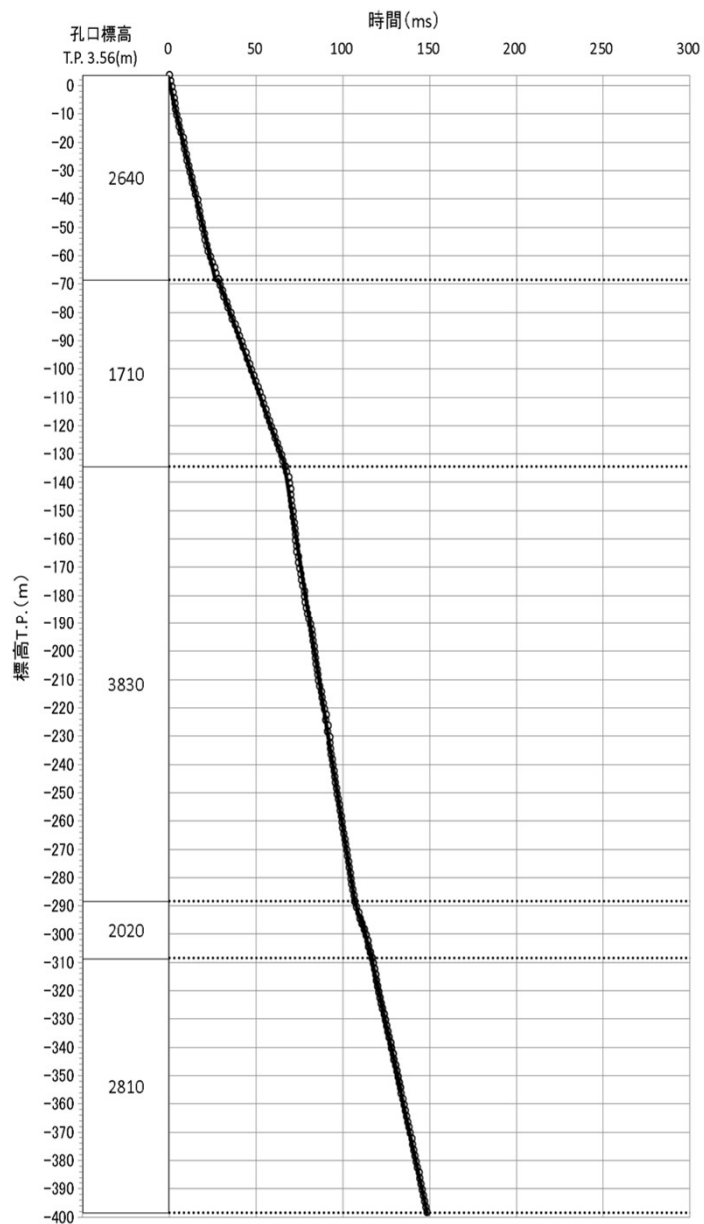
注) グラフ内の数字は、当該区間の走時 (m/s) を示す。



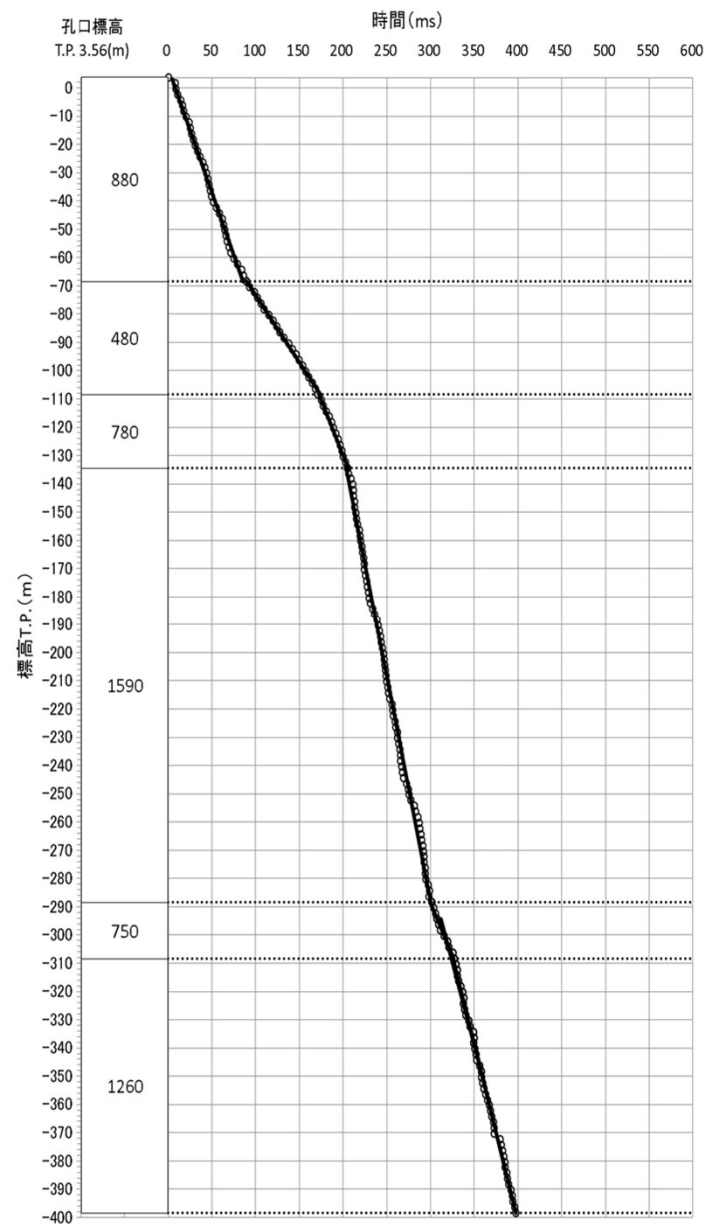
## 3.2.1 南北方向X-X'断面のPS検層データ (11/14)

コメントNo.S3-5

### A'-7孔の走時曲線



走時曲線(P波)



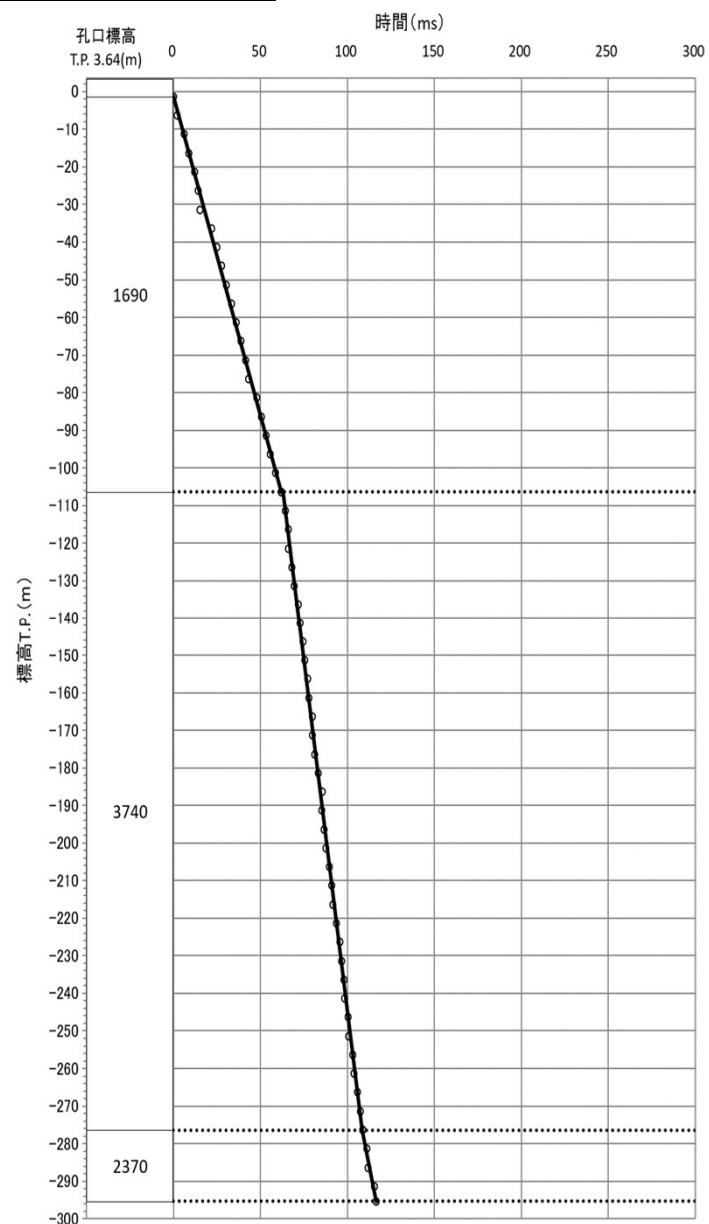
走時曲線(S波)

注) グラフ内の数字は、当該区間の走時(m/s)を示す。

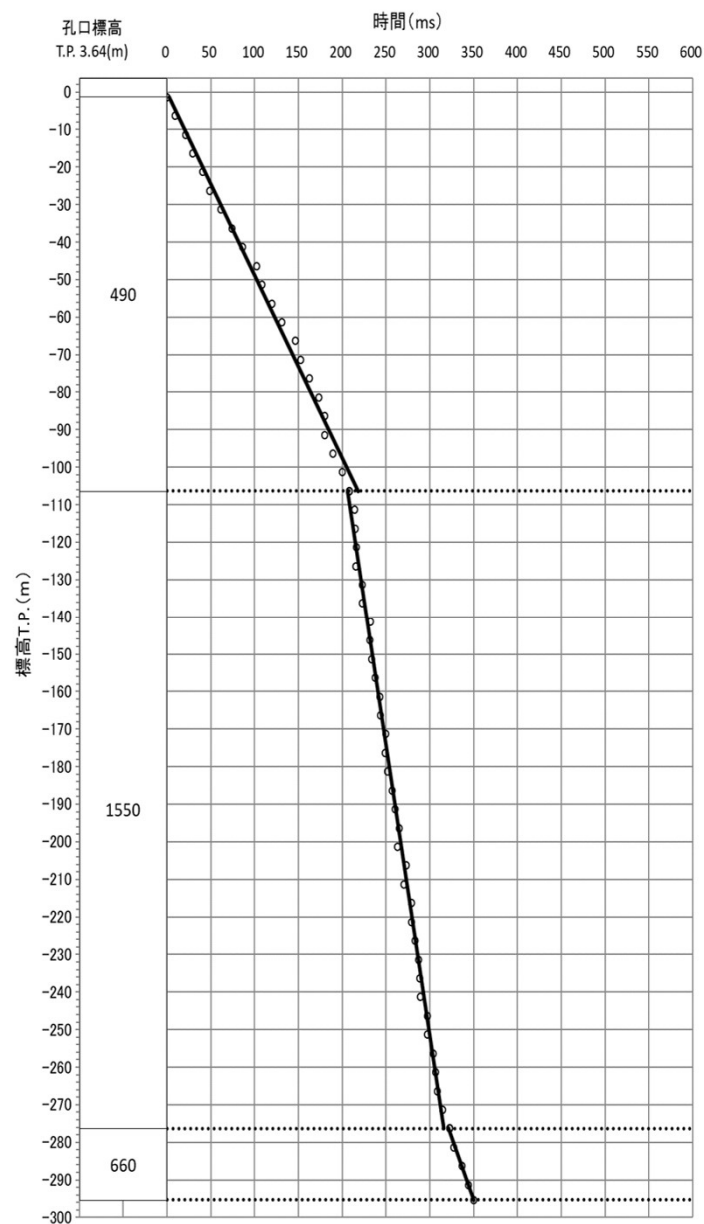
## 3.2.1 南北方向X-X'断面のPS検層データ (12/14)

コメントNo.S3-5

### R-304孔の走時曲線



走時曲線(P波)



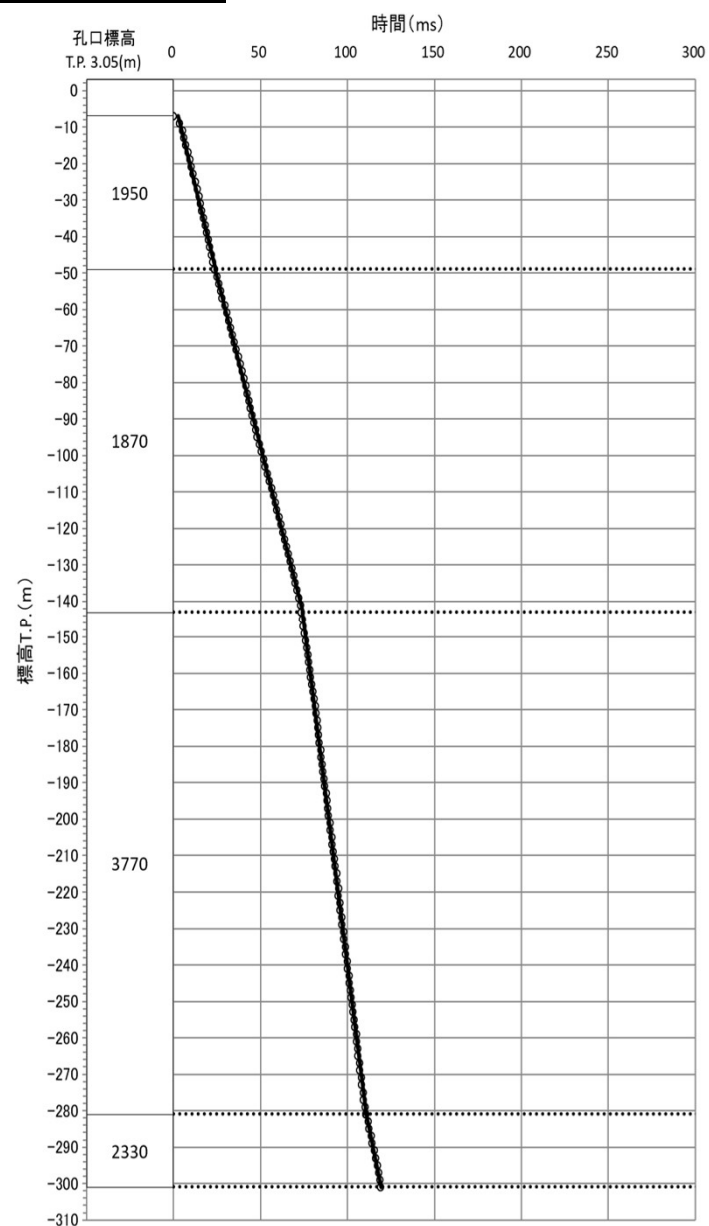
走時曲線(S波)

注) グラフ内の数字は、当該区間の走時(m/s)を示す。

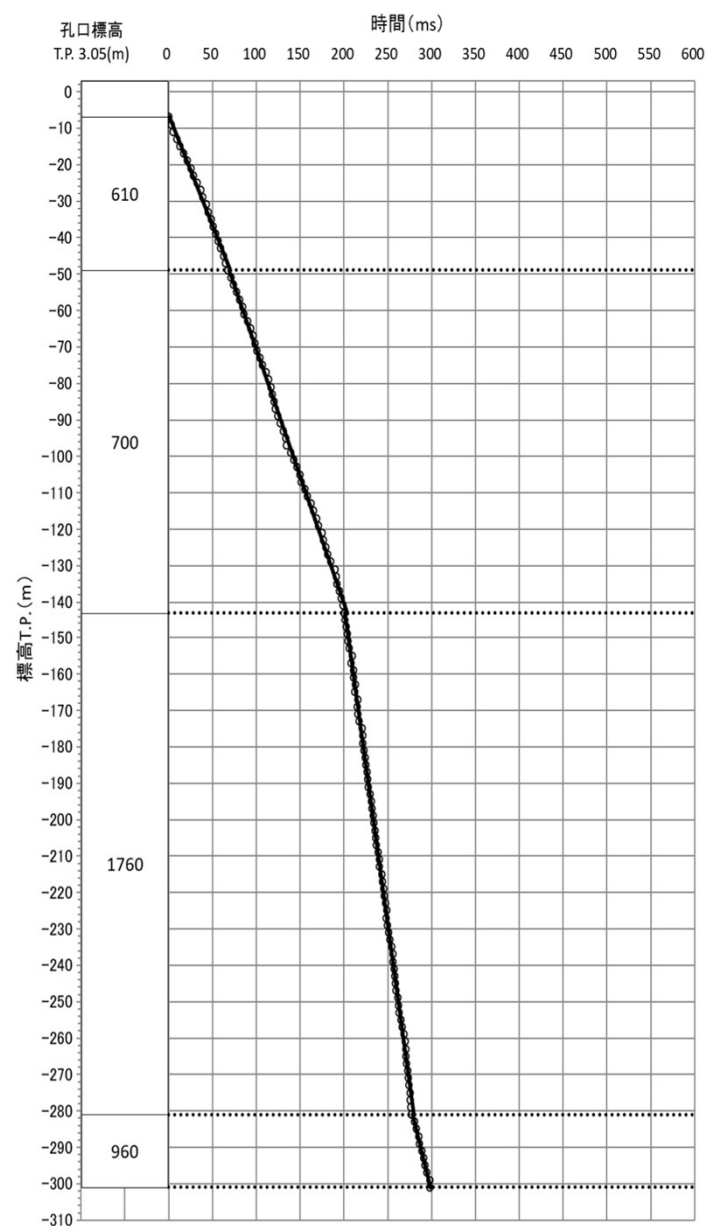
## 3.2.1 南北方向X-X'断面のPS検層データ (13/14)

コメントNo.S3-5

## P-4孔の走時曲線



走時曲線(P波)



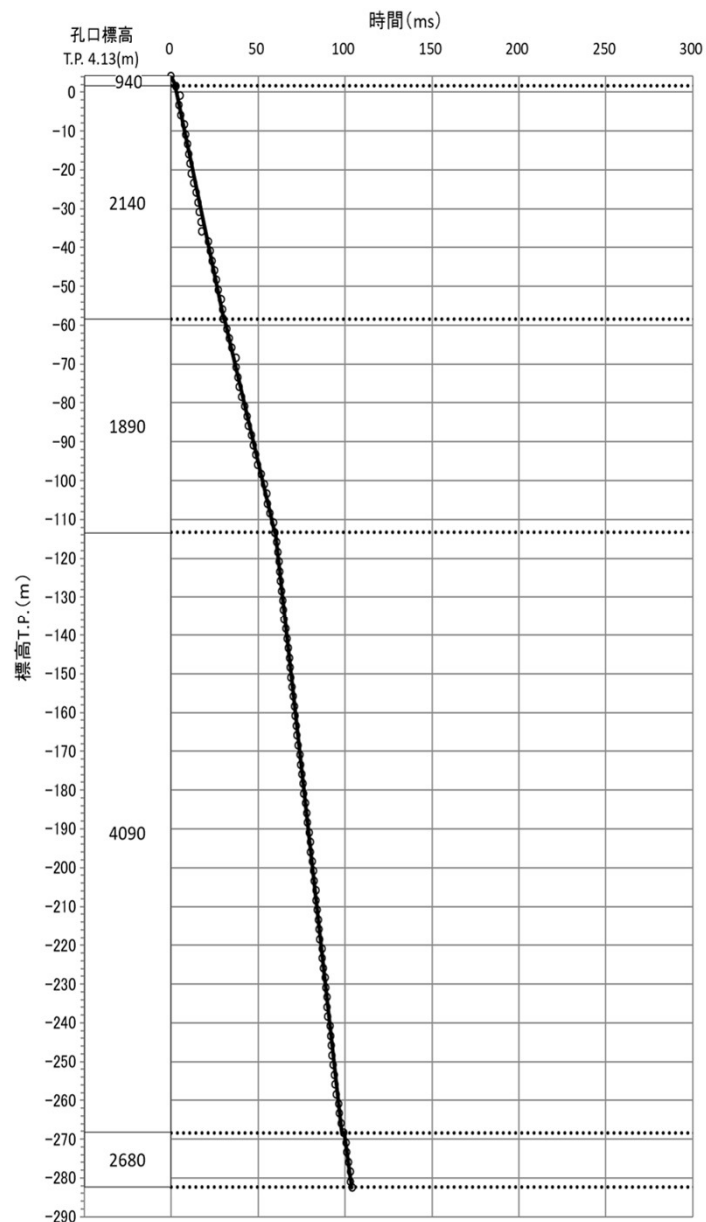
走時曲線(S波)

注) グラフ内の数字は、当該区間の走時(m/s)を示す。

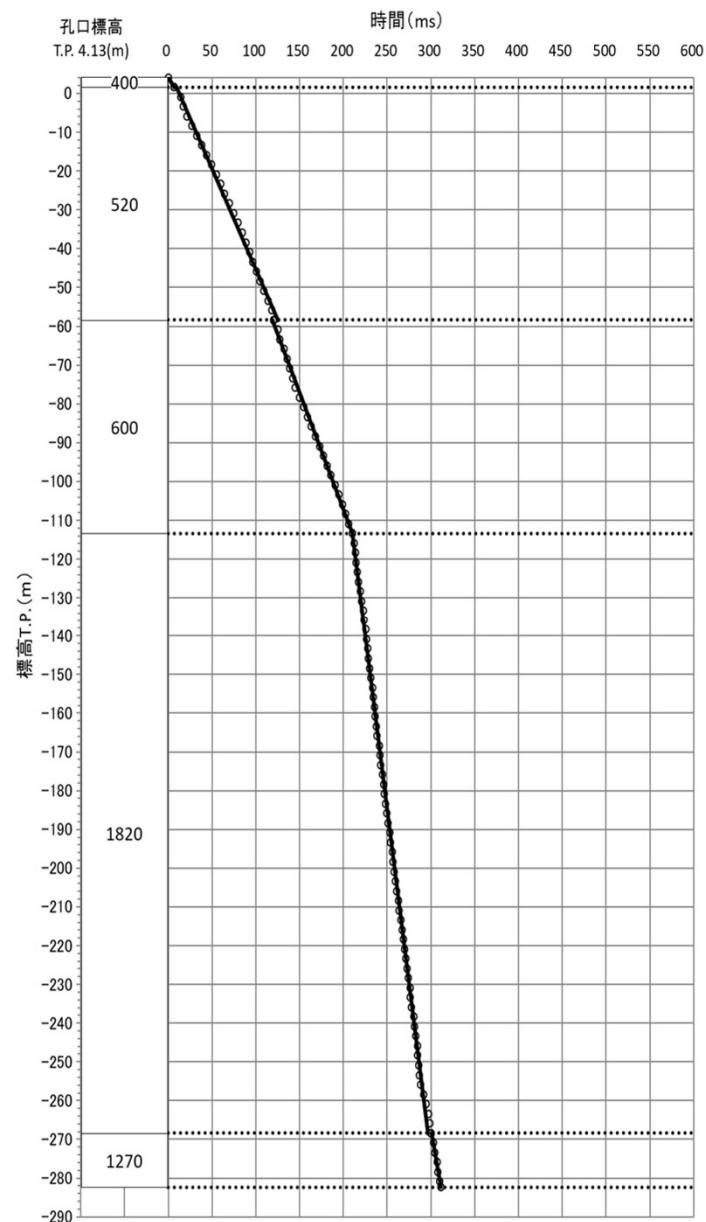
## 3.2.1 南北方向X-X'断面のPS検層データ (14/14)

コメントNo.S3-5

### RR-103孔の走時曲線



走時曲線(P波)



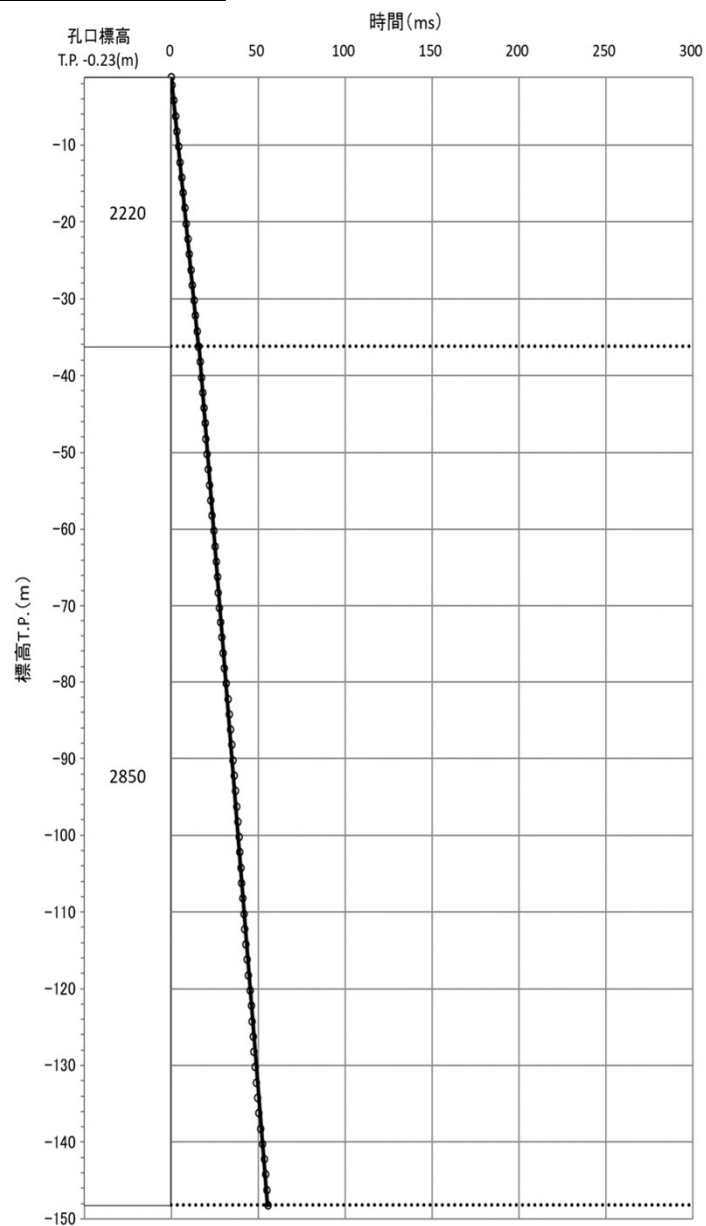
走時曲線(S波)

注) グラフ内の数字は、当該区間の走時 (m/s) を示す。

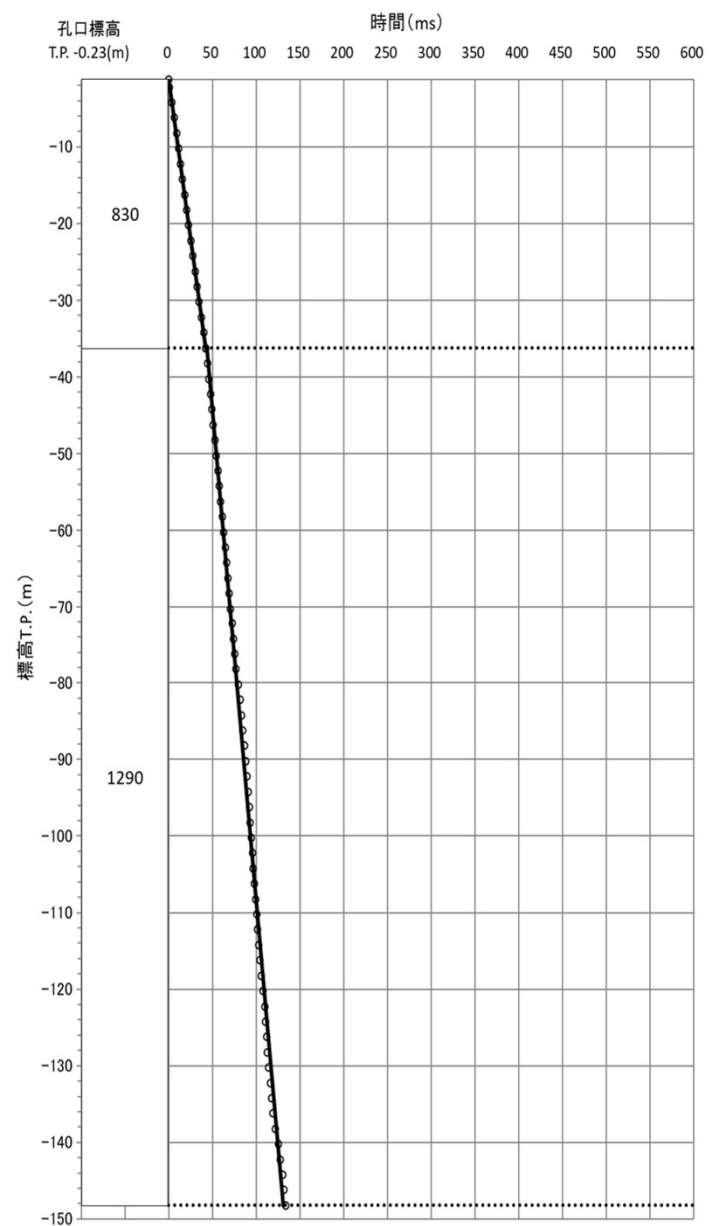
## 3.2.2 東西方向Y-Y'断面のPS検層データ (1/11)

コメントNo.S3-5

### G-4孔の走時曲線



走時曲線 (P波)



走時曲線 (S波)

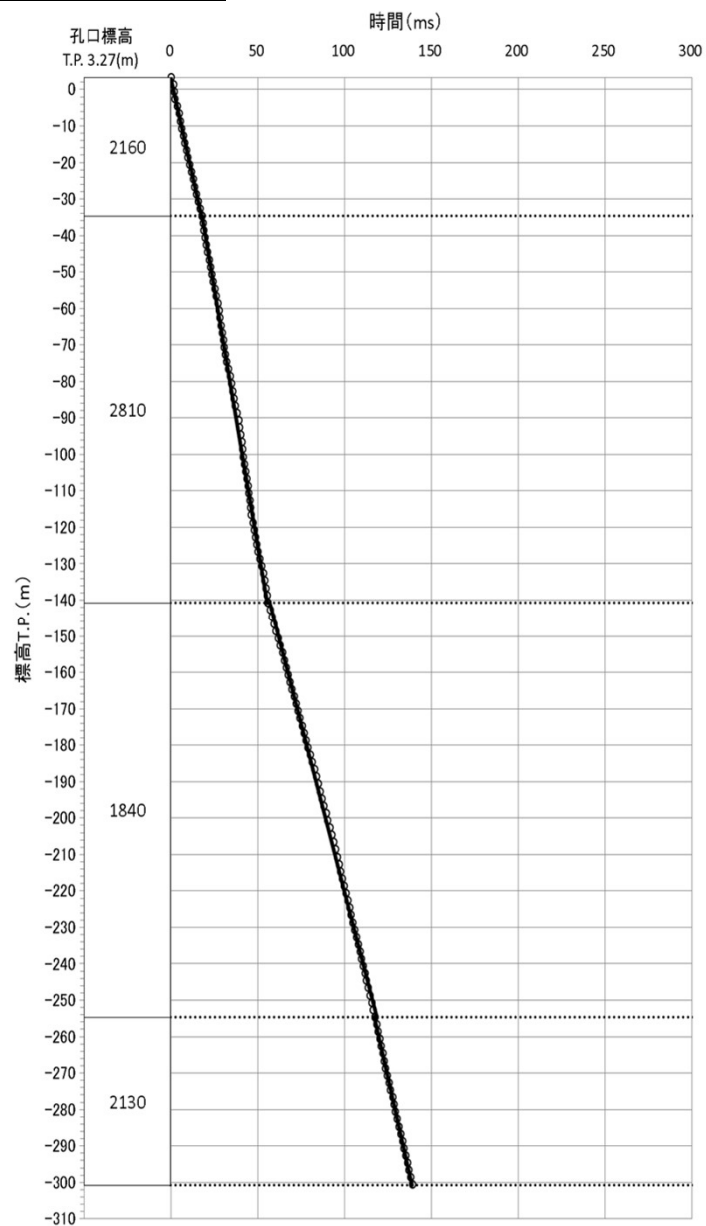
注) グラフ内の数字は、当該区間の走時 (m/s) を示す。

## 3.2.2 東西方向Y-Y'断面のPS検層データ (2/11)

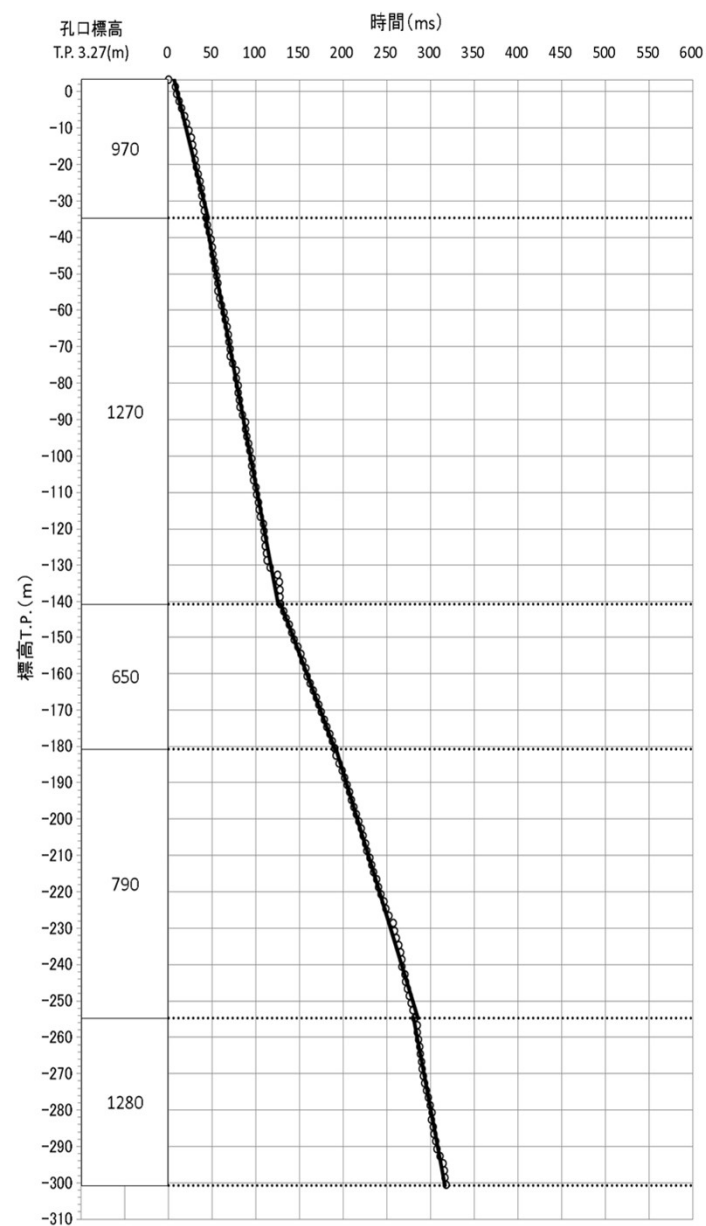


コメントNo.S3-5

### G-5孔の走時曲線



走時曲線(P波)



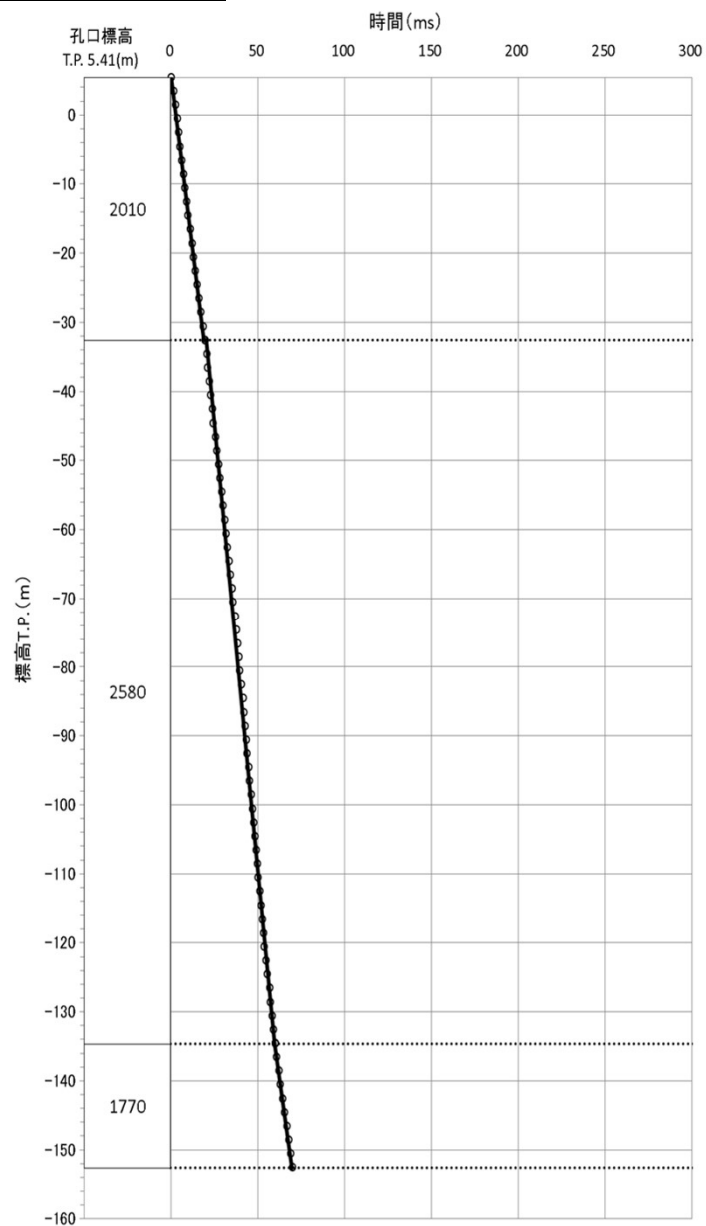
走時曲線(S波)

注) グラフ内の数字は、当該区間の走時(m/s)を示す。

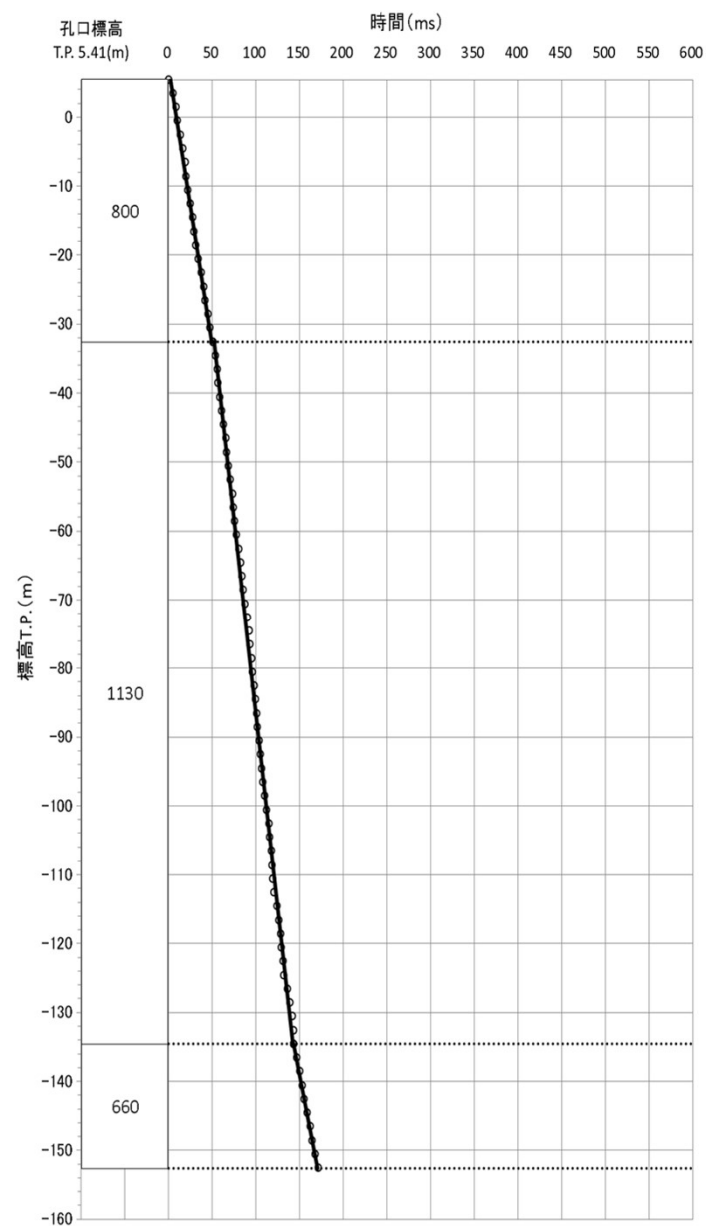
## 3.2.2 東西方向Y-Y'断面のPS検層データ (3/11)

コメントNo.S3-5

### G-6孔の走時曲線



走時曲線(P波)



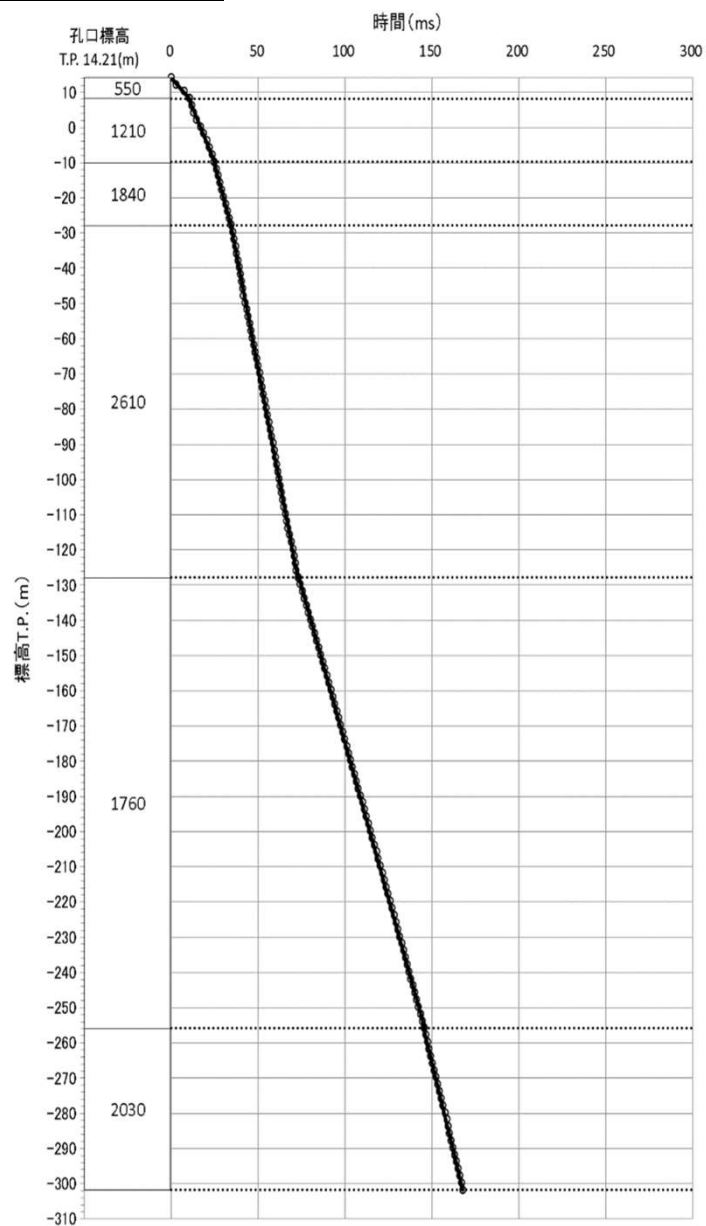
走時曲線(S波)

注) グラフ内の数字は、当該区間の走時(m/s)を示す。

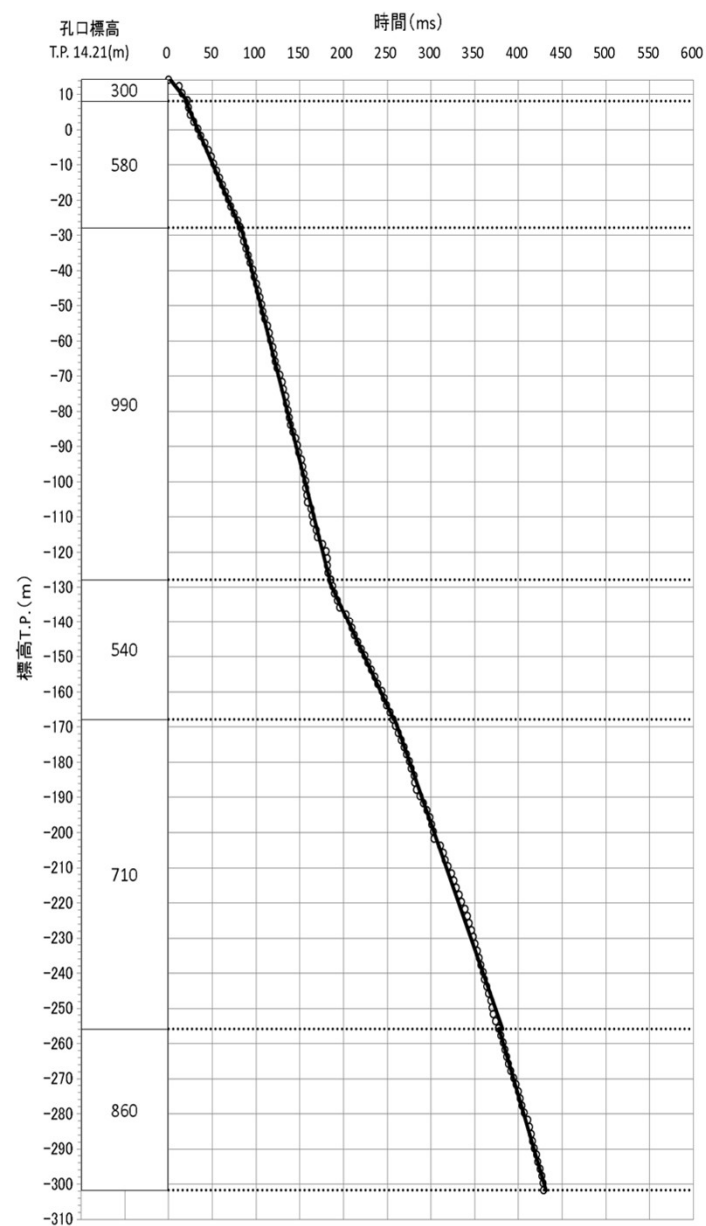
## 3.2.2 東西方向Y-Y'断面のPS検層データ (4/11)

コメントNo.S3-5

### N-4孔の走時曲線



走時曲線(P波)



走時曲線(S波)

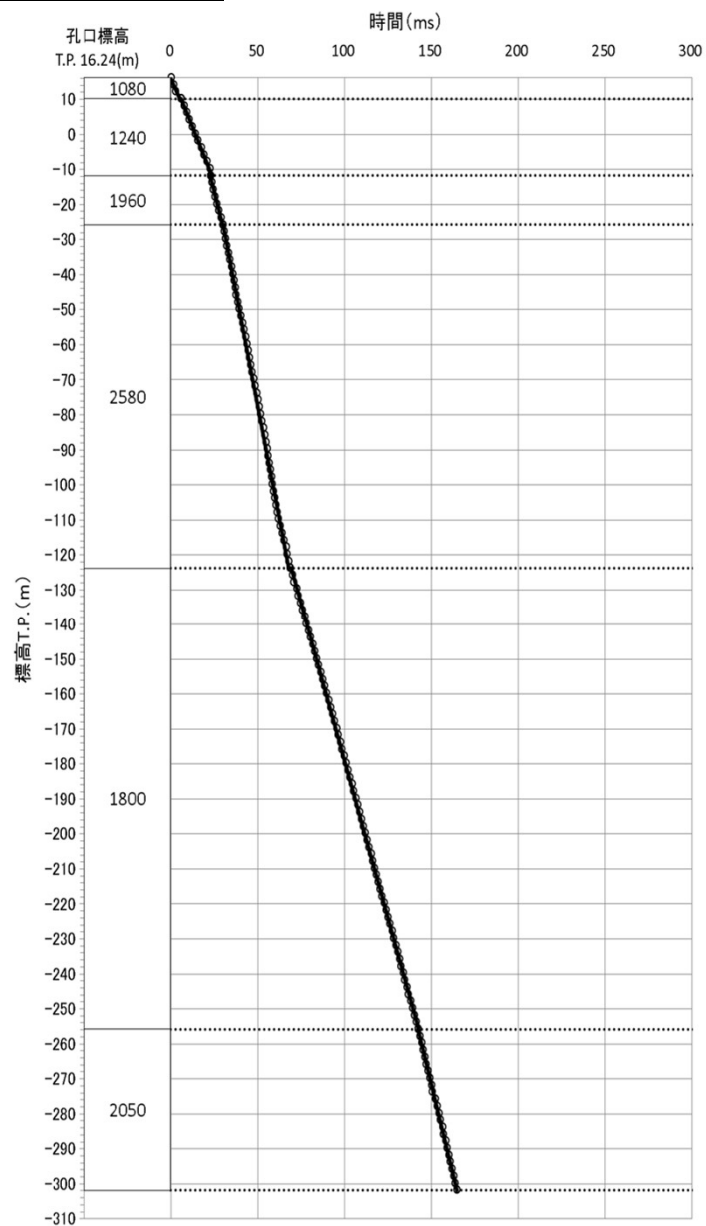
注) グラフ内の数字は、当該区間の走時(m/s)を示す。



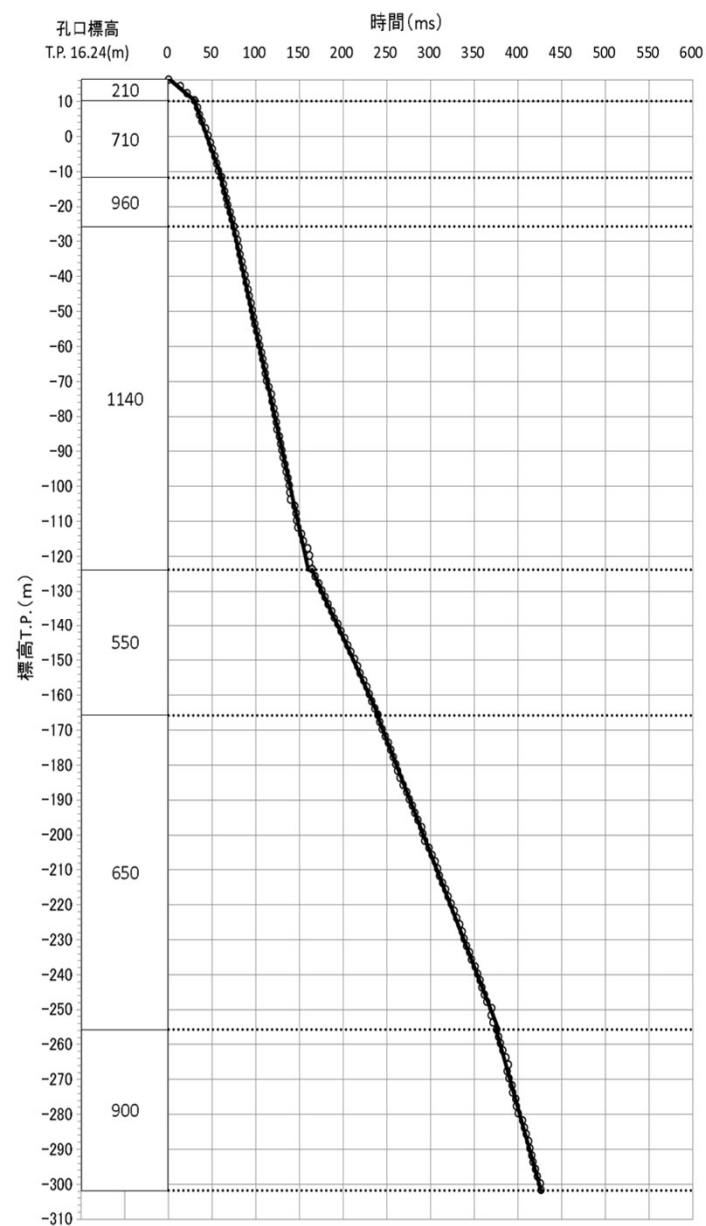
## 3.2.2 東西方向Y-Y'断面のPS検層データ (5/11)

コメントNo.S3-5

### N-2孔の走時曲線



走時曲線(P波)



走時曲線(S波)

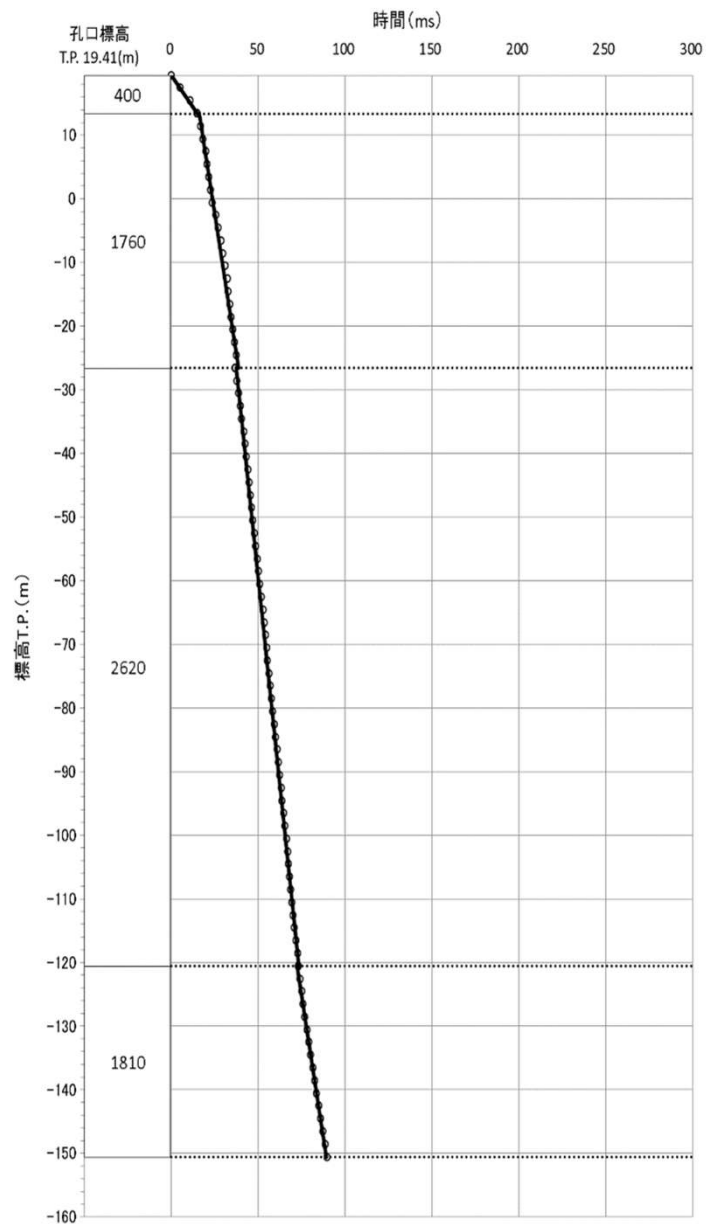
注) グラフ内の数字は、当該区間の走時(m/s)を示す。

## 3.2.2 東西方向Y-Y'断面のPS検層データ (6/11)

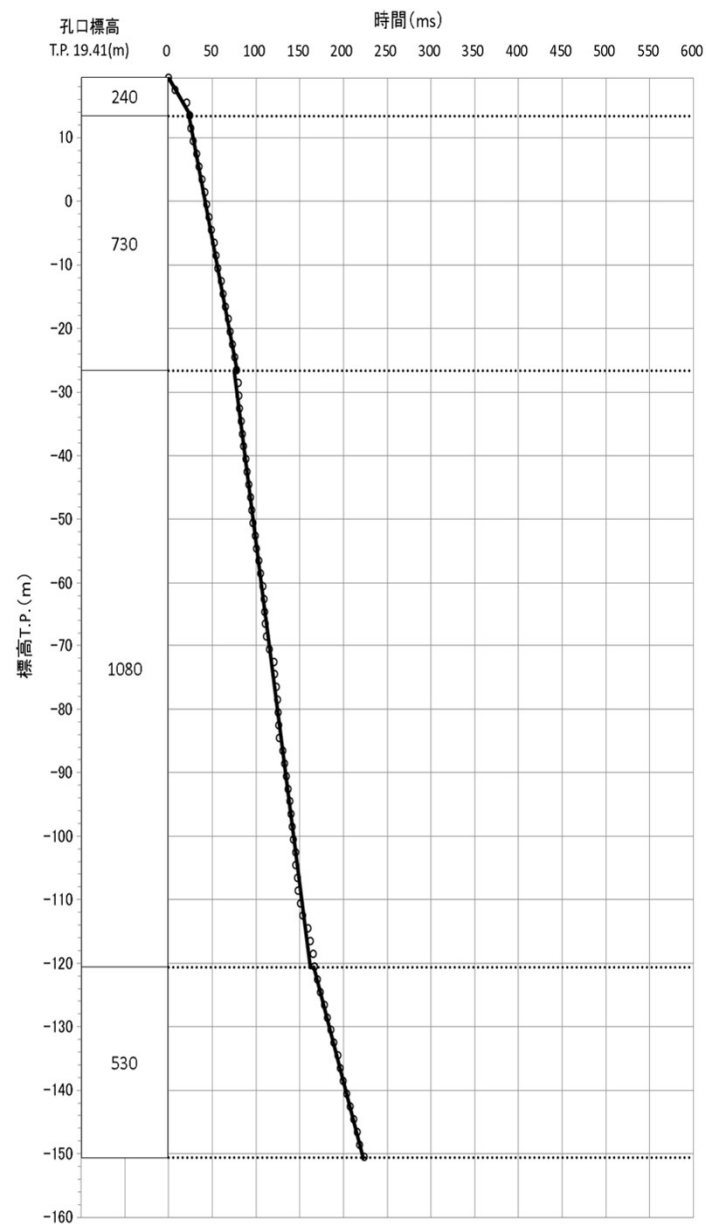


コメントNo.S3-5

### T-3孔の走時曲線



走時曲線(P波)



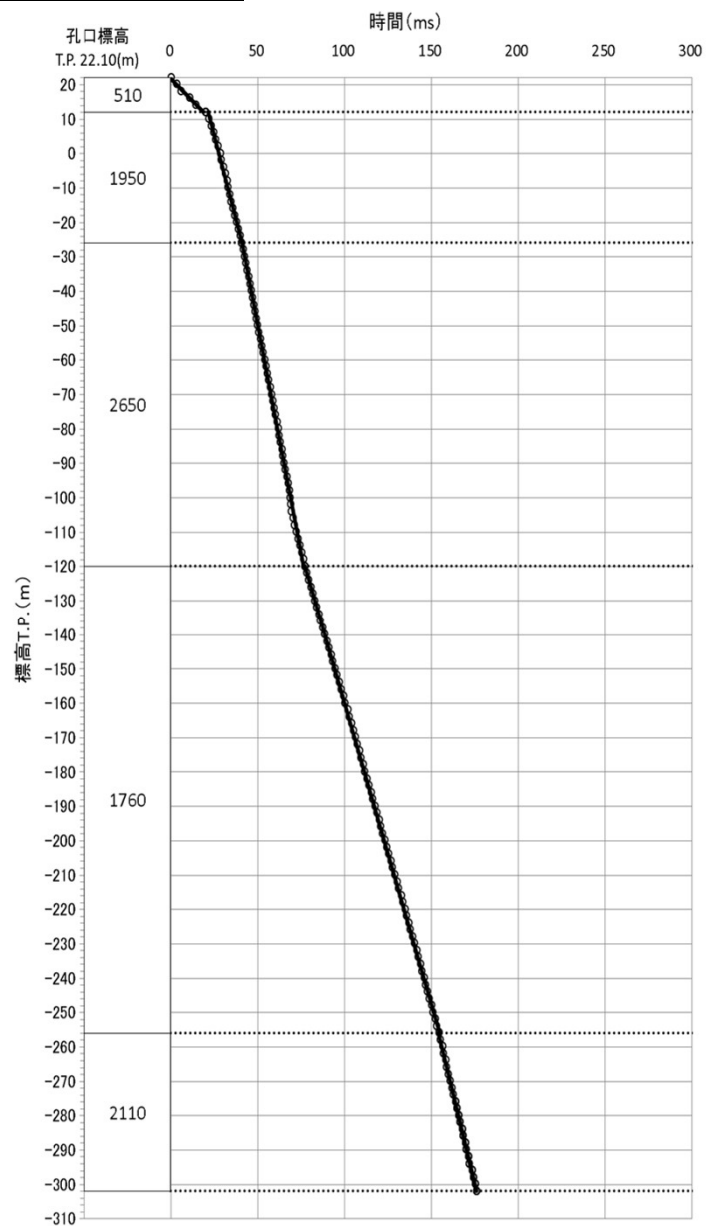
走時曲線(S波)

注) グラフ内の数字は、当該区間の走時(m/s)を示す。

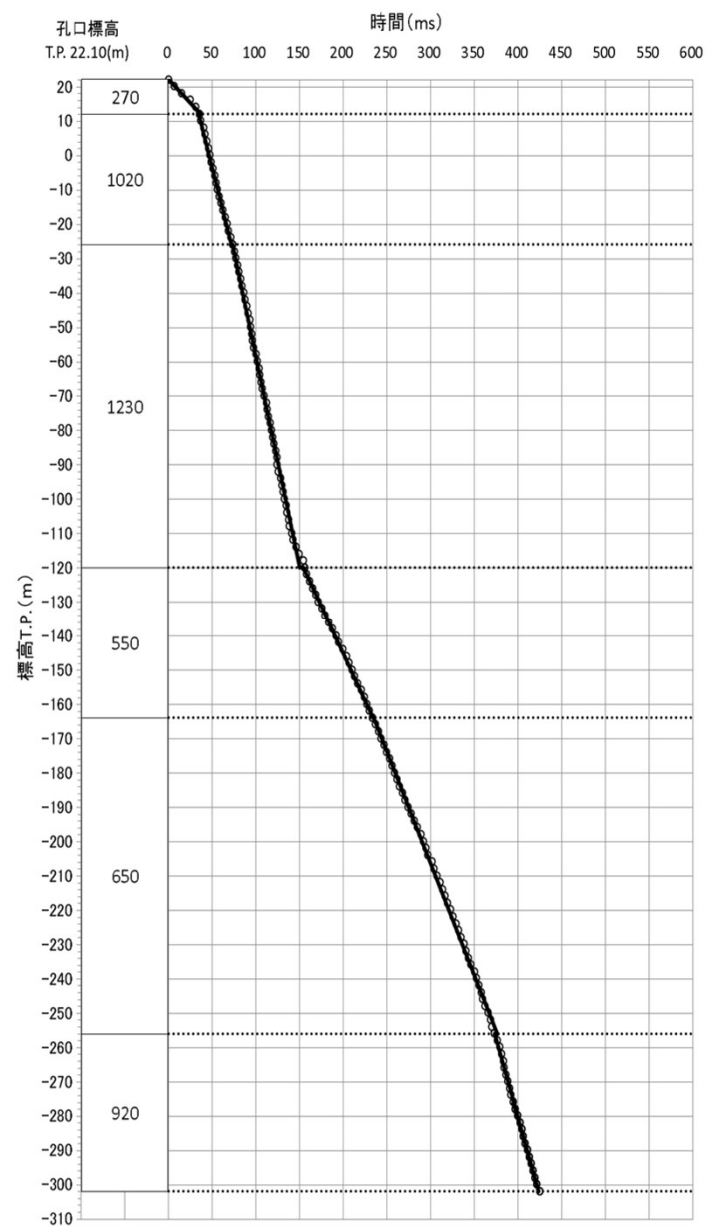
## 3.2.2 東西方向Y-Y'断面のPS検層データ (7/11)

コメントNo.S3-5

### F-10孔の走時曲線



走時曲線(P波)



走時曲線(S波)

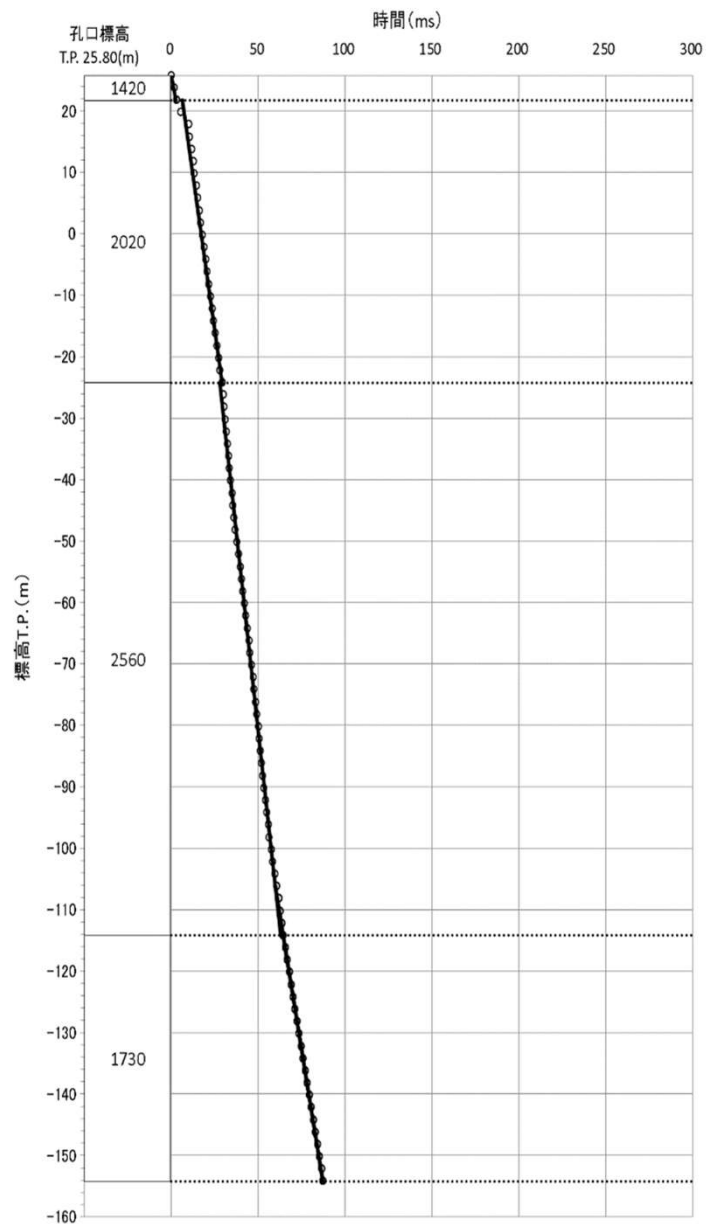
注) グラフ内の数字は、当該区間の走時(m/s)を示す。

## 3.2.2 東西方向Y-Y'断面のPS検層データ (8/11)

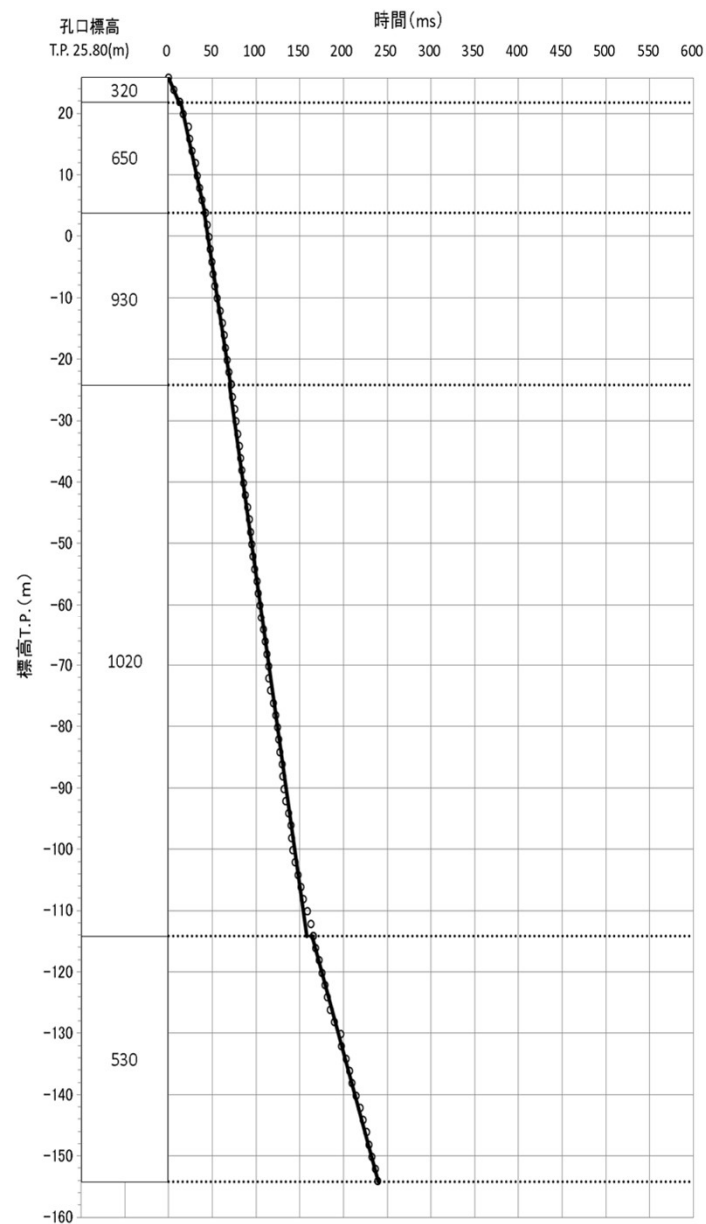


コメントNo.S3-5

### F-11孔の走時曲線



走時曲線(P波)



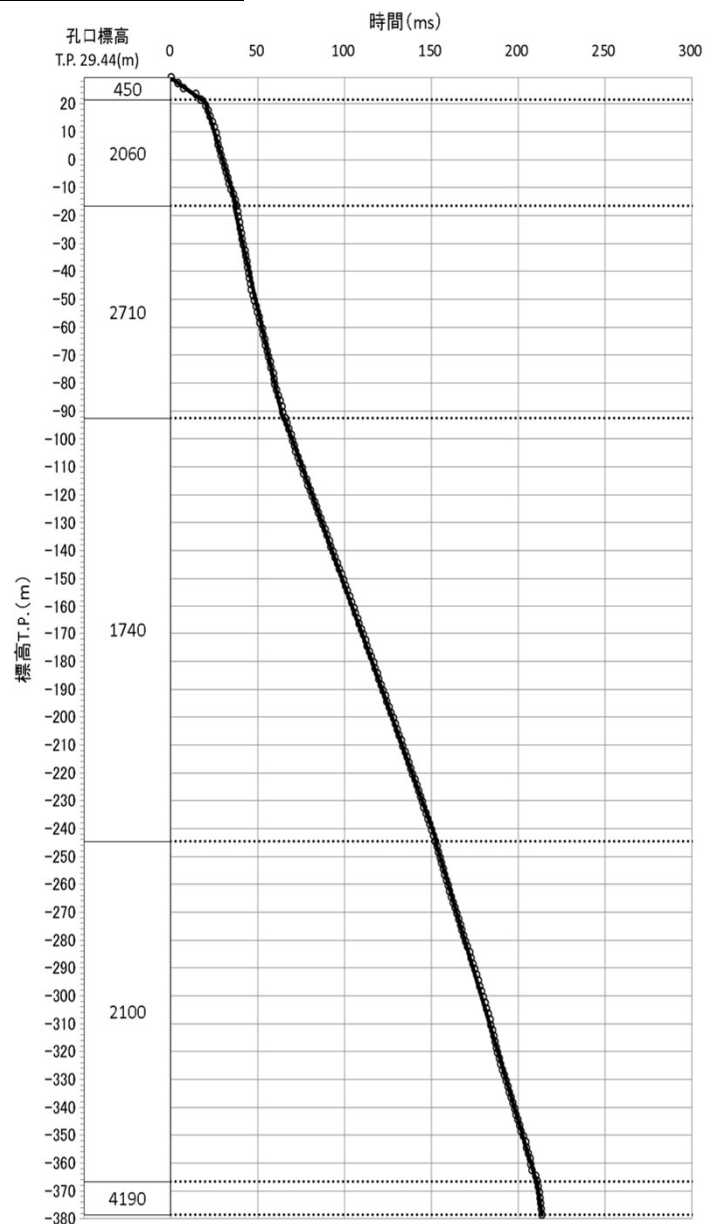
走時曲線(S波)

注) グラフ内の数字は、当該区間の走時(m/s)を示す。

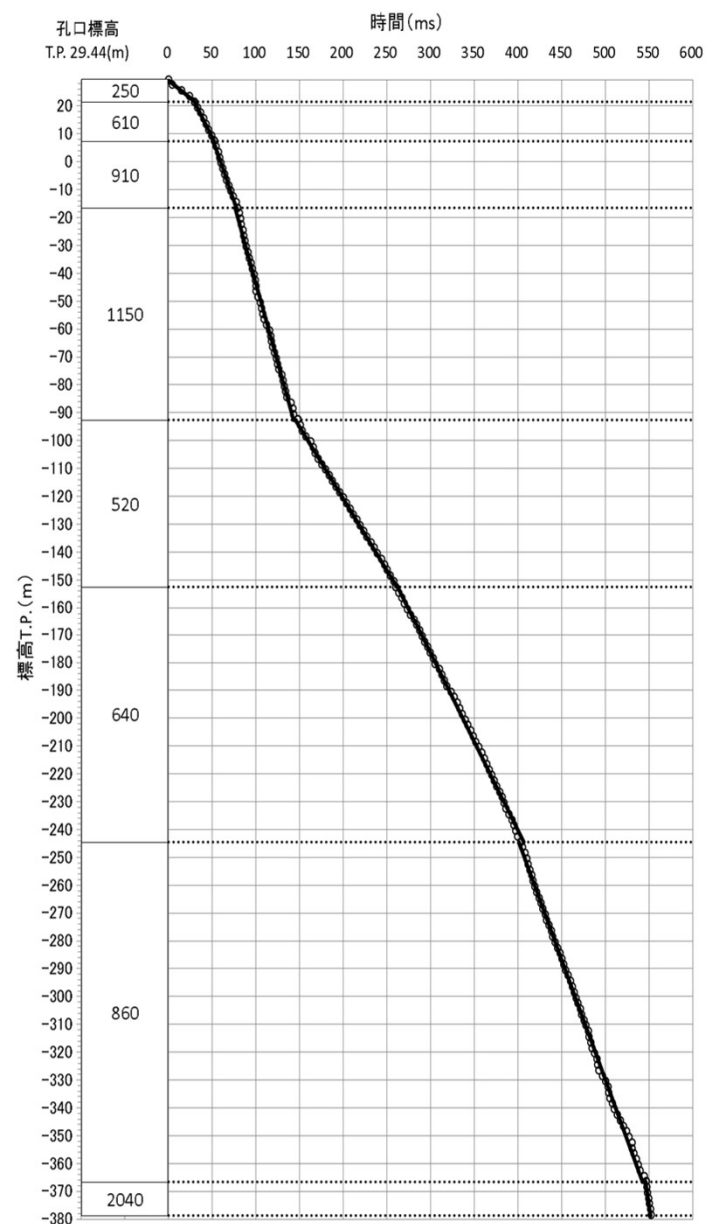
## 3.2.2 東西方向Y-Y'断面のPS検層データ (9/11)

コメントNo.S3-5

### F-14孔の走時曲線



走時曲線(P波)



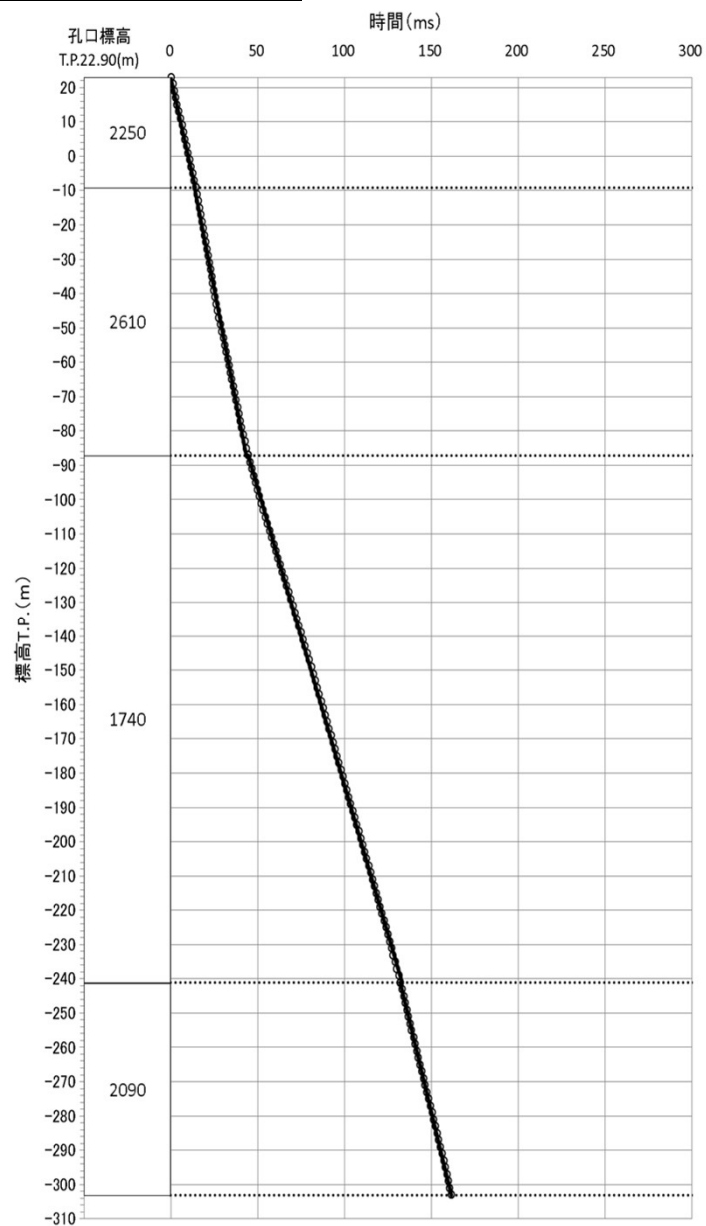
走時曲線(S波)

注) グラフ内の数字は、当該区間の走時(m/s)を示す。

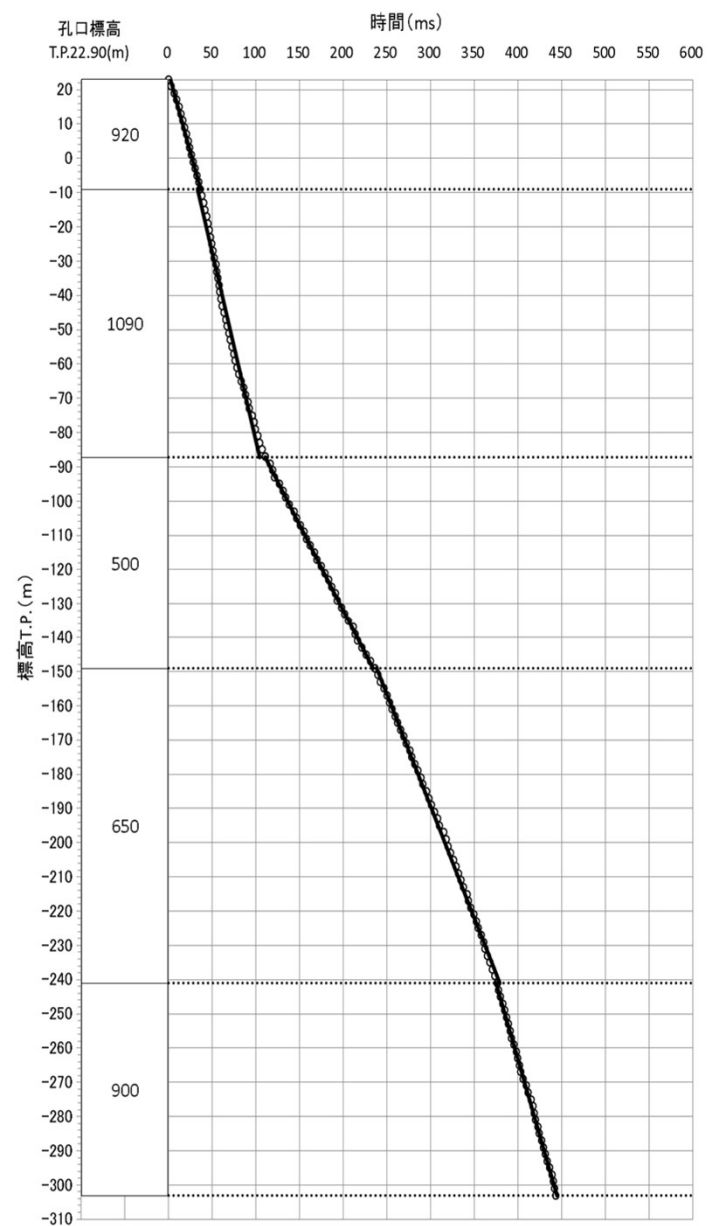
## 3.2.2 東西方向Y-Y'断面のPS検層データ (10/11)

コメントNo.S3-5

### SB-033孔の走時曲線



走時曲線 (P波)



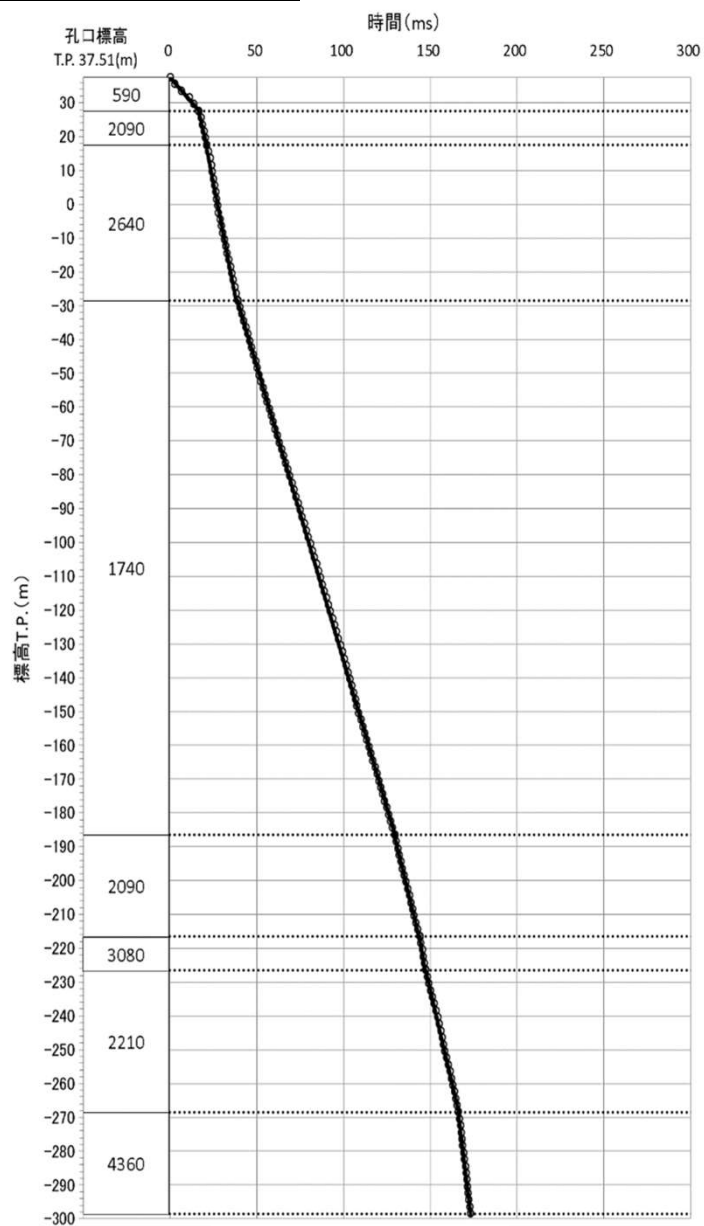
走時曲線 (S波)

注) グラフ内の数字は、当該区間の走時 (m/s) を示す。

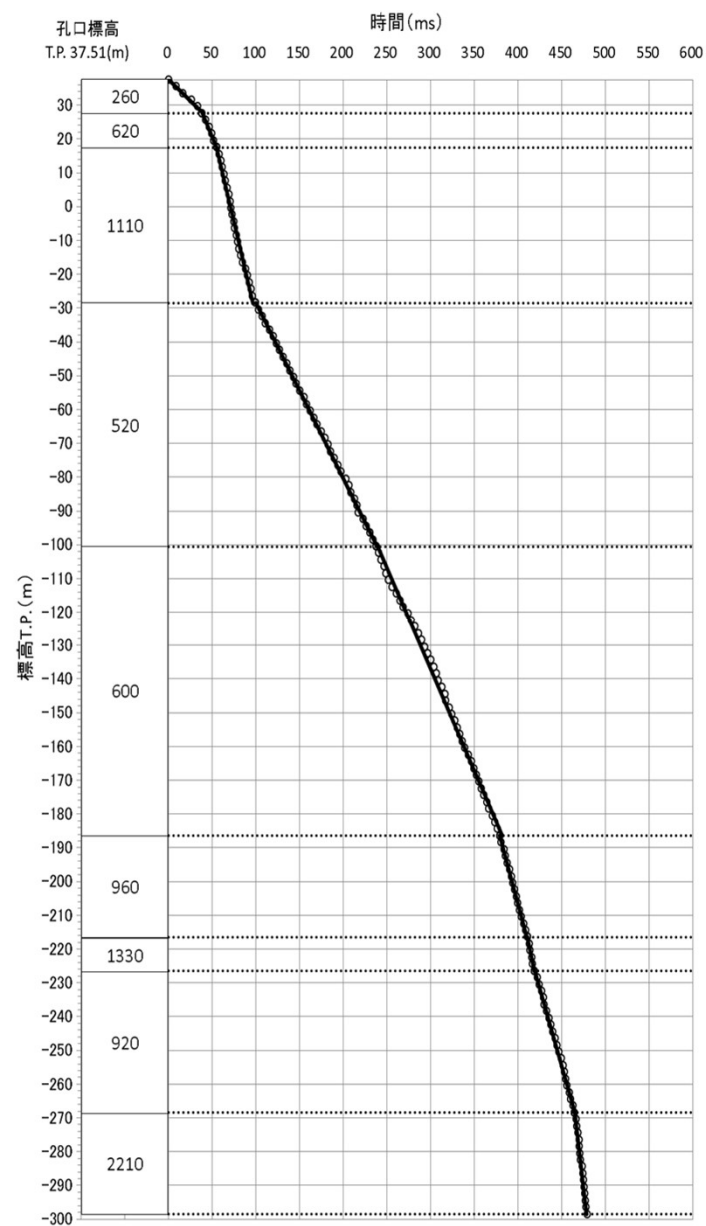
## 3.2.2 東西方向Y-Y'断面のPS検層データ (11/11)

コメントNo.S3-5

### SB-036孔の走時曲線



走時曲線(P波)



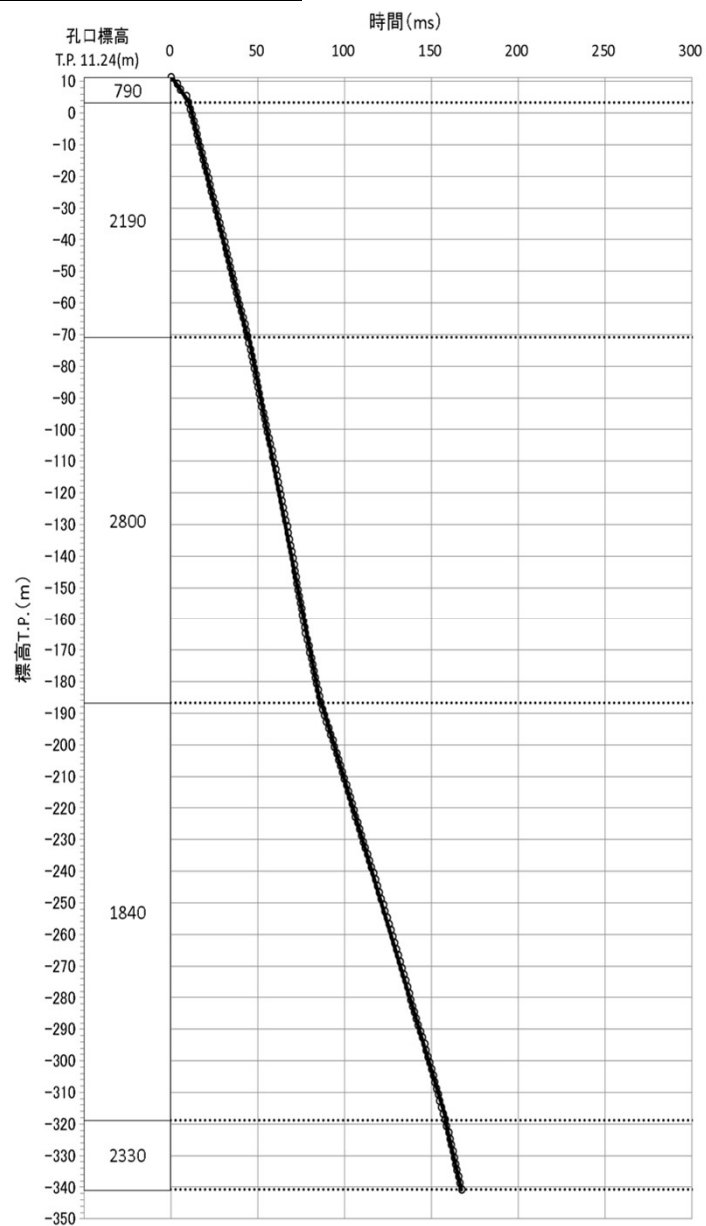
走時曲線(S波)

注) グラフ内の数字は、当該区間の走時(m/s)を示す。

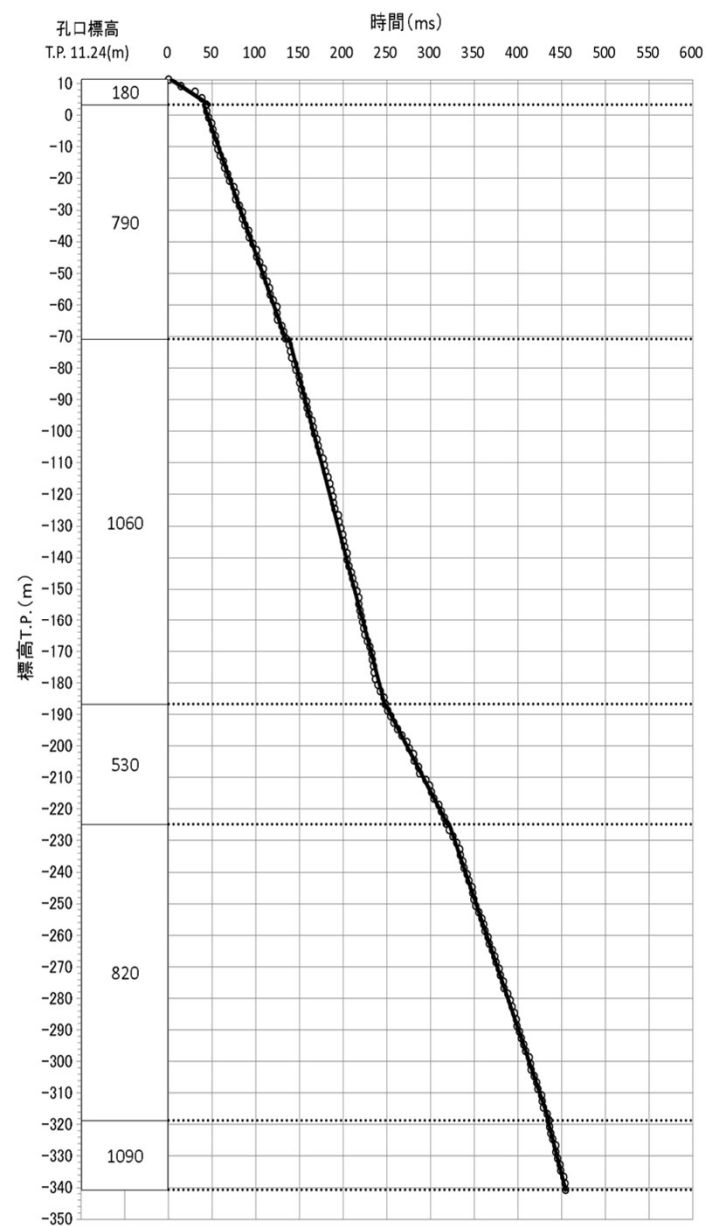
### 3.2.3 南北方向a-a'断面のPS検層データ (1/3)

コメントNo.S3-5

#### SB-001孔の走時曲線



走時曲線(P波)



走時曲線(S波)

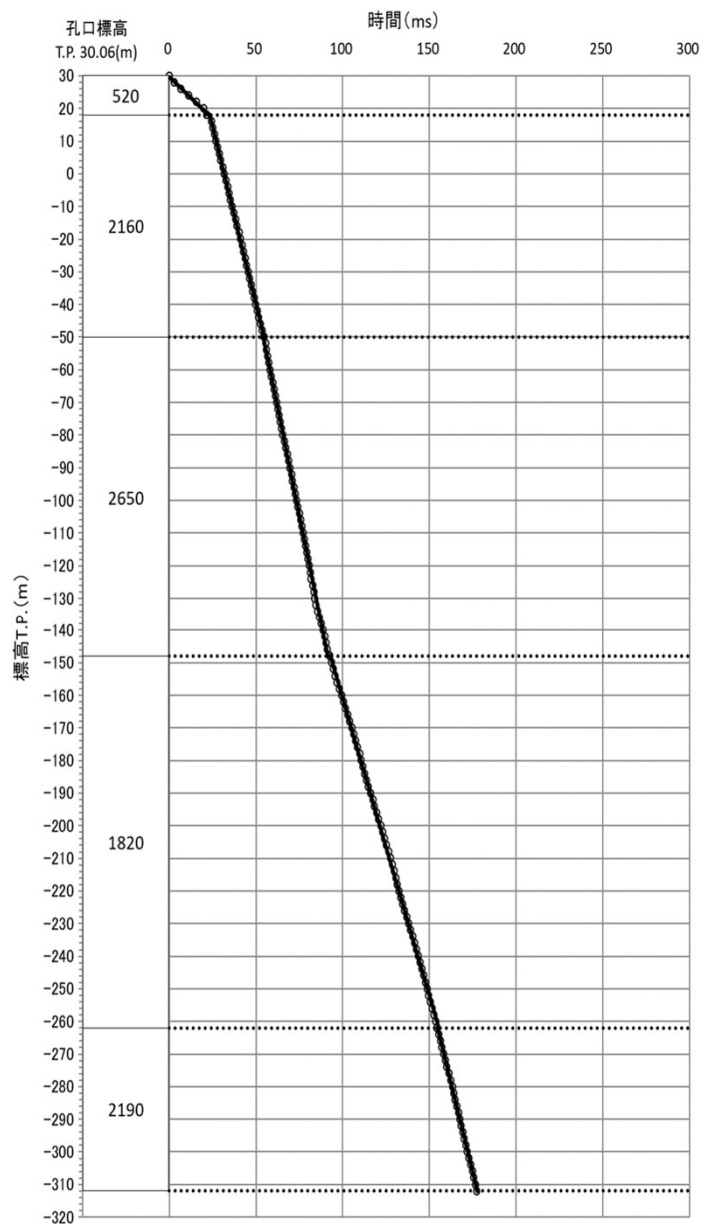
注) グラフ内の数字は、当該区間の走時(m/s)を示す。



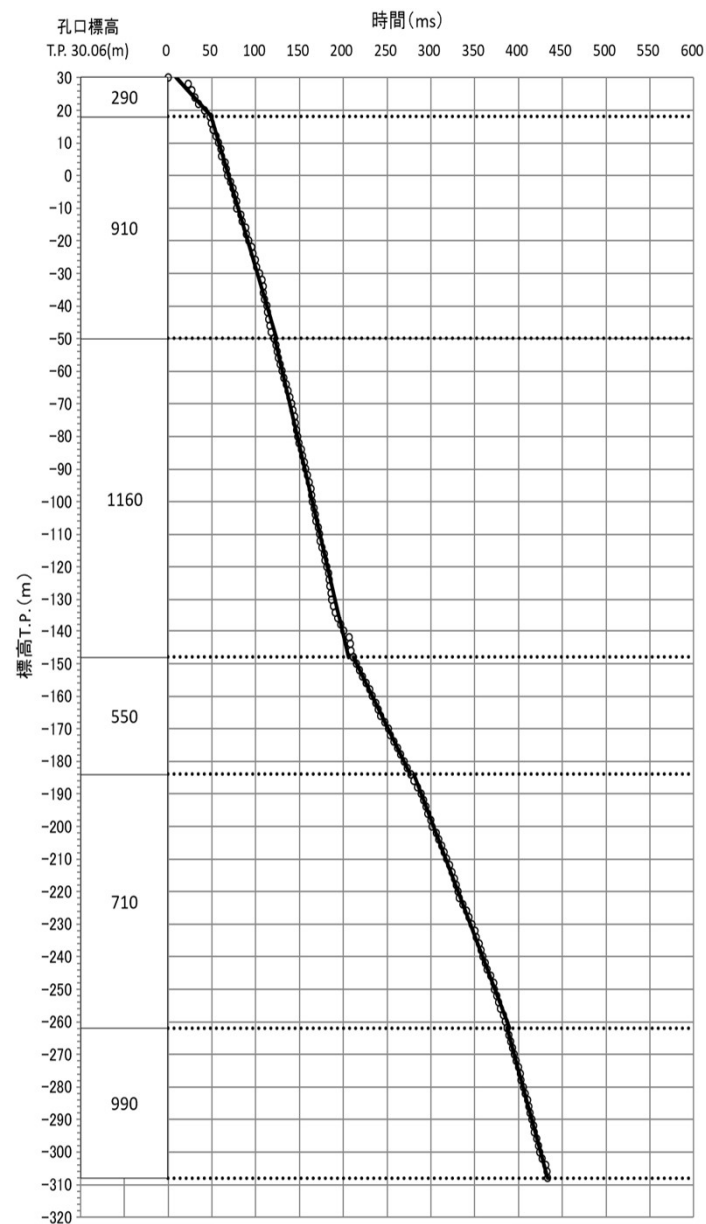
### 3.2.3 南北方向a-a'断面のPS検層データ (2/3)

コメントNo.S3-5

#### SC-016孔の走時曲線



走時曲線(P波)



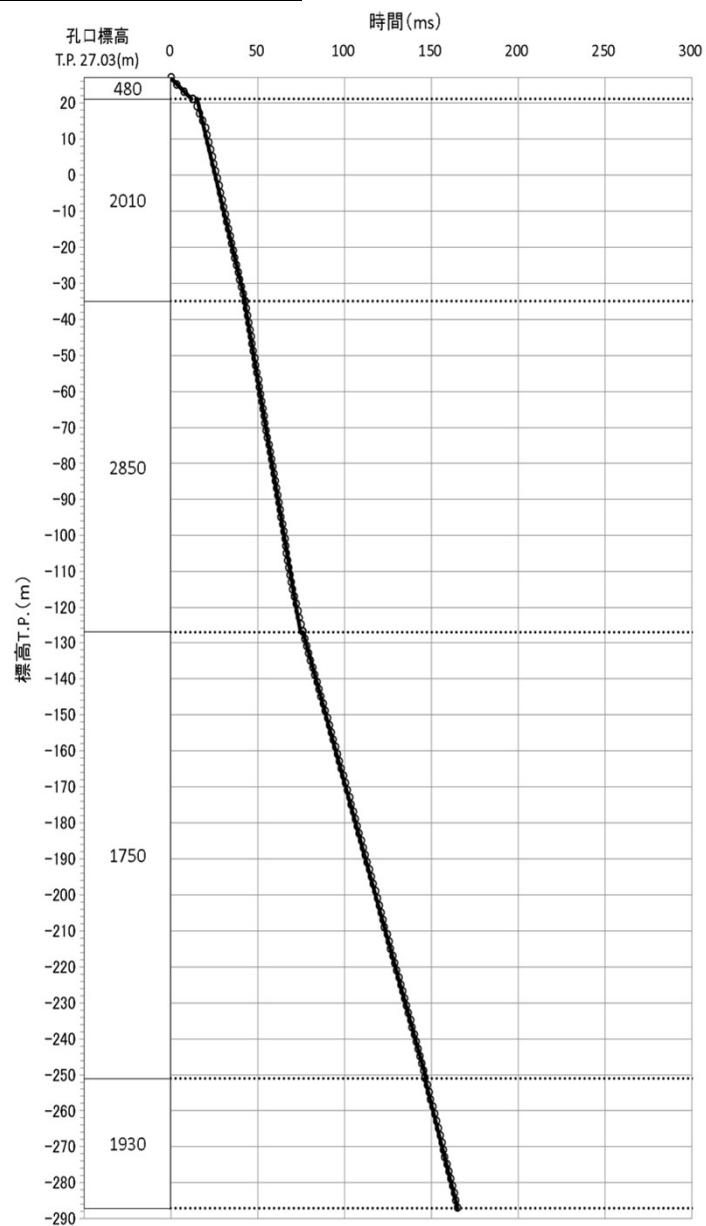
走時曲線(S波)

注) グラフ内の数字は、当該区間の走時(m/s)を示す。

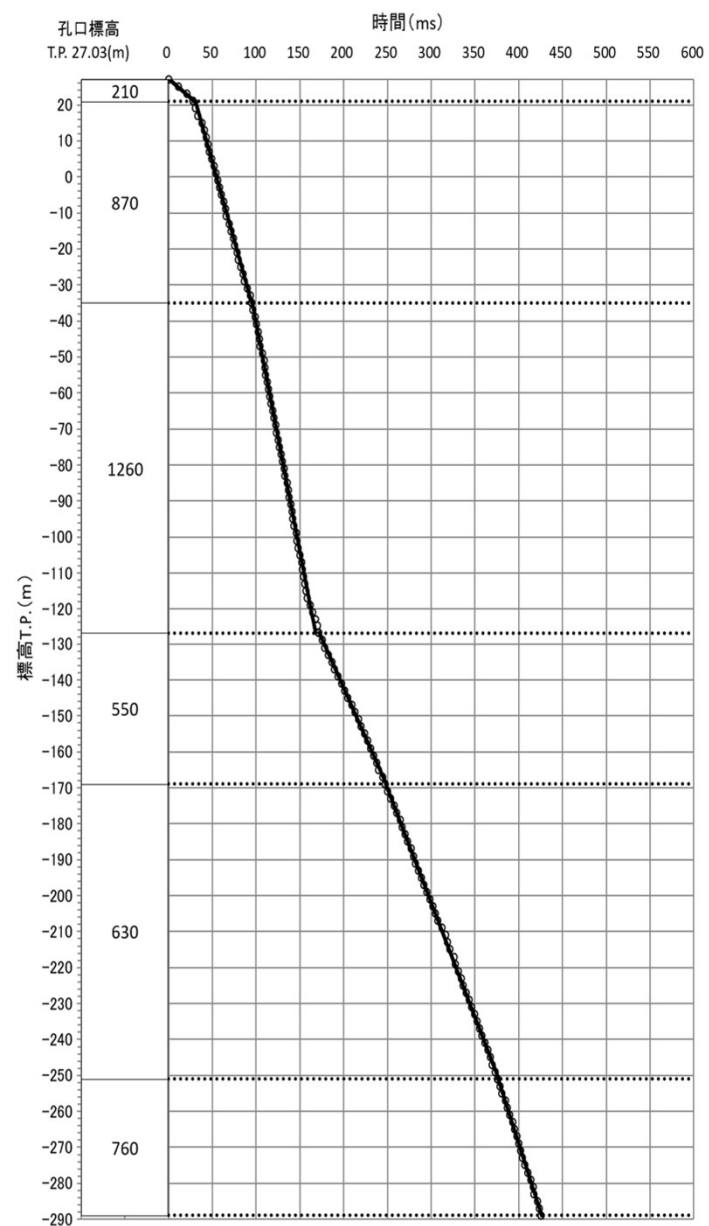
### 3.2.3 南北方向a-a'断面のPS検層データ (3/3)

コメントNo.S3-5

#### SB-003孔の走時曲線



走時曲線 (P波)



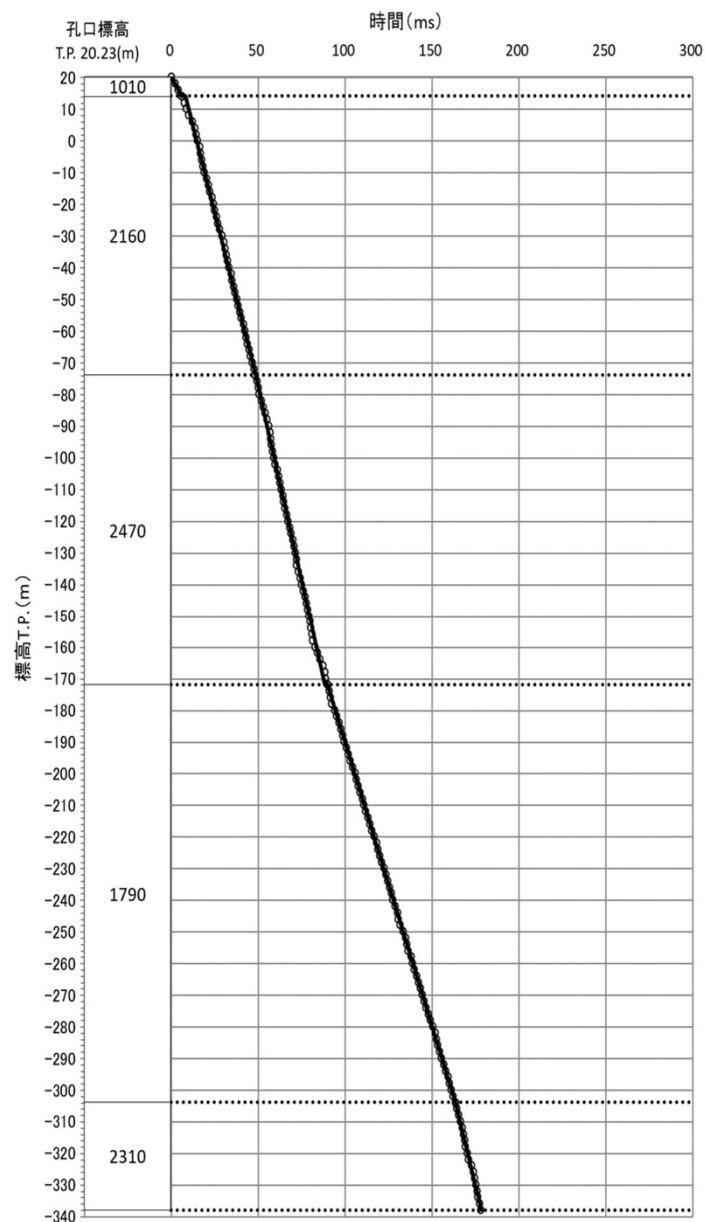
走時曲線 (S波)

注) グラフ内の数字は、当該区間の走時 (m/s) を示す。

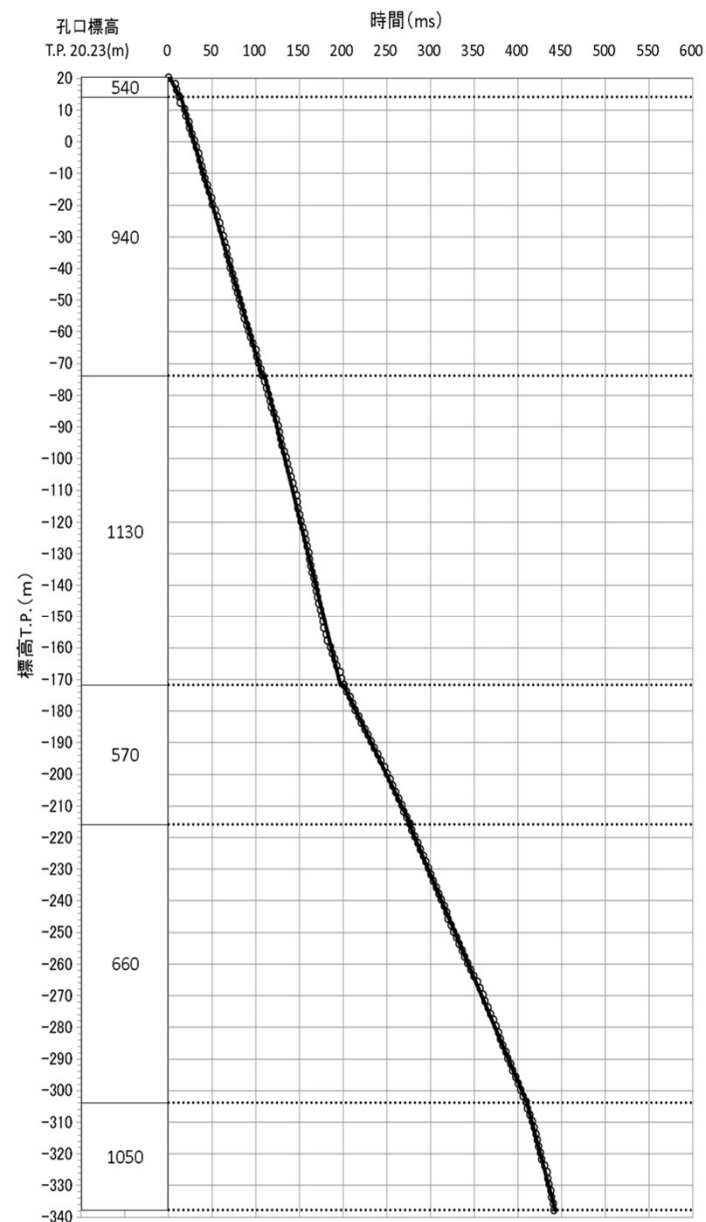
### 3.2.4 東西方向b-b'断面のPS検層データ (1/3)

コメントNo.S3-5

#### SB-004孔の走時曲線



走時曲線(P波)



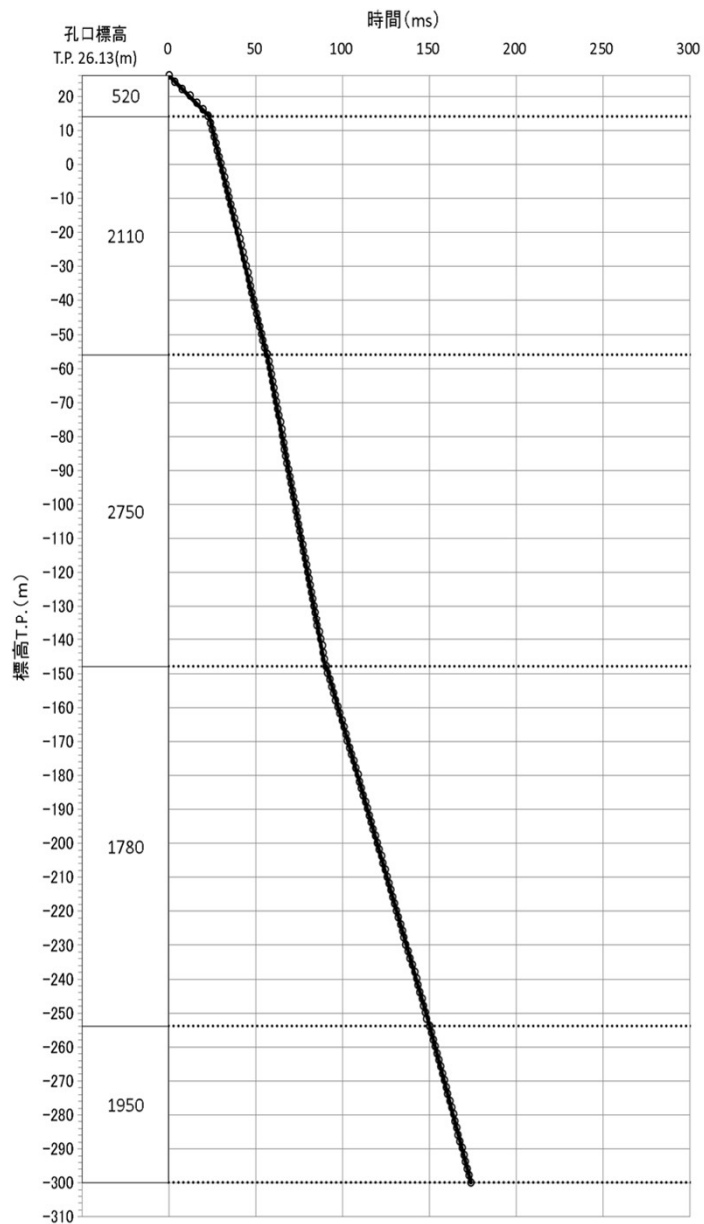
走時曲線(S波)

注) グラフ内の数字は、当該区間の走時(m/s)を示す。

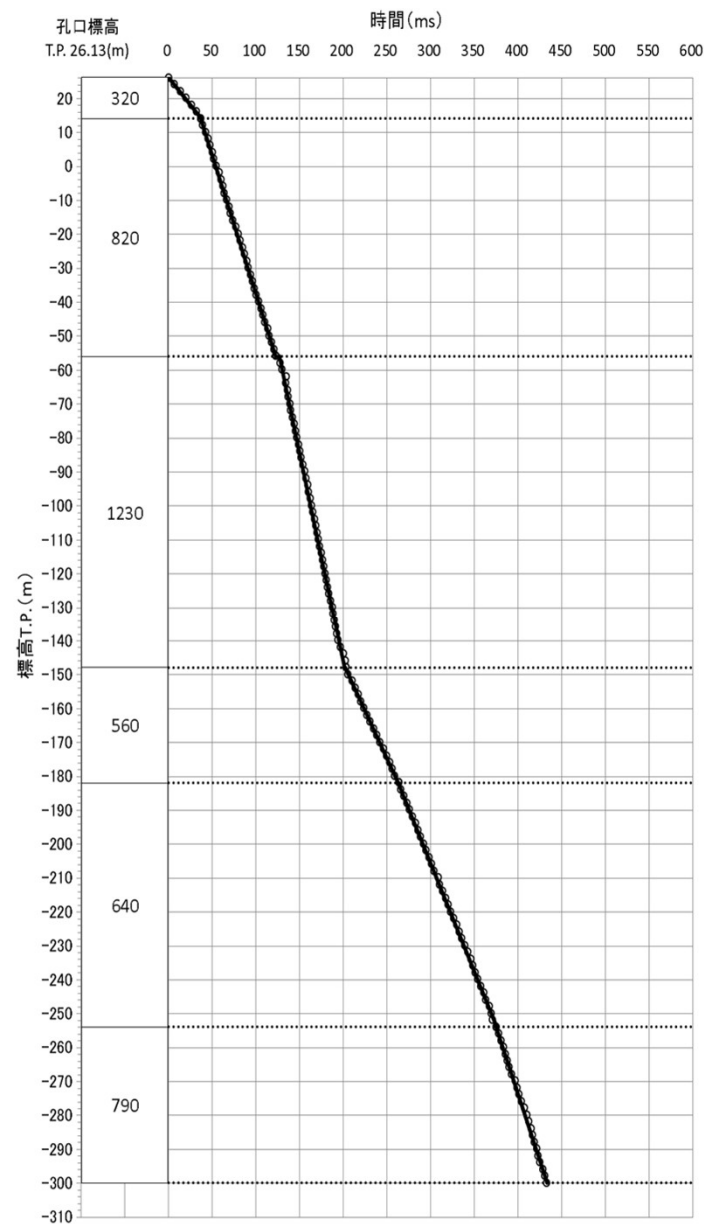
## 3.2.4 東西方向b-b'断面のPS検層データ (2/3)

コメントNo.S3-5

### SB-032孔の走時曲線



走時曲線 (P波)



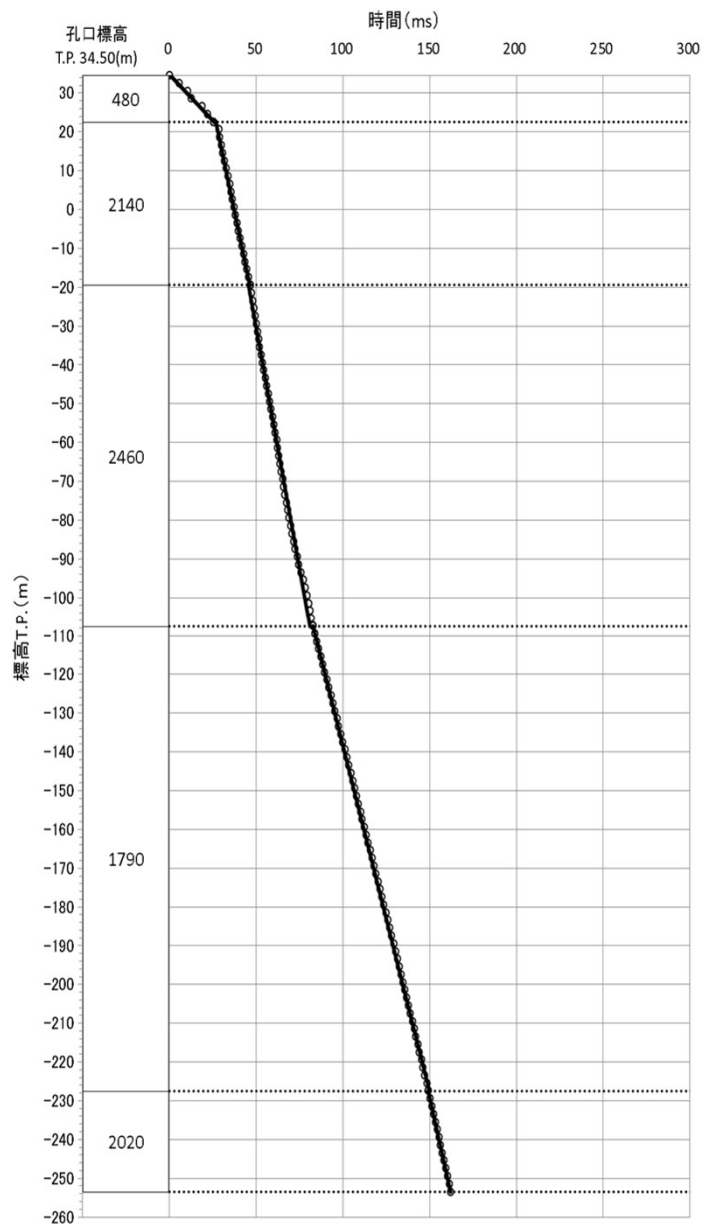
走時曲線 (S波)

注) グラフ内の数字は、当該区間の走時 (m/s) を示す。

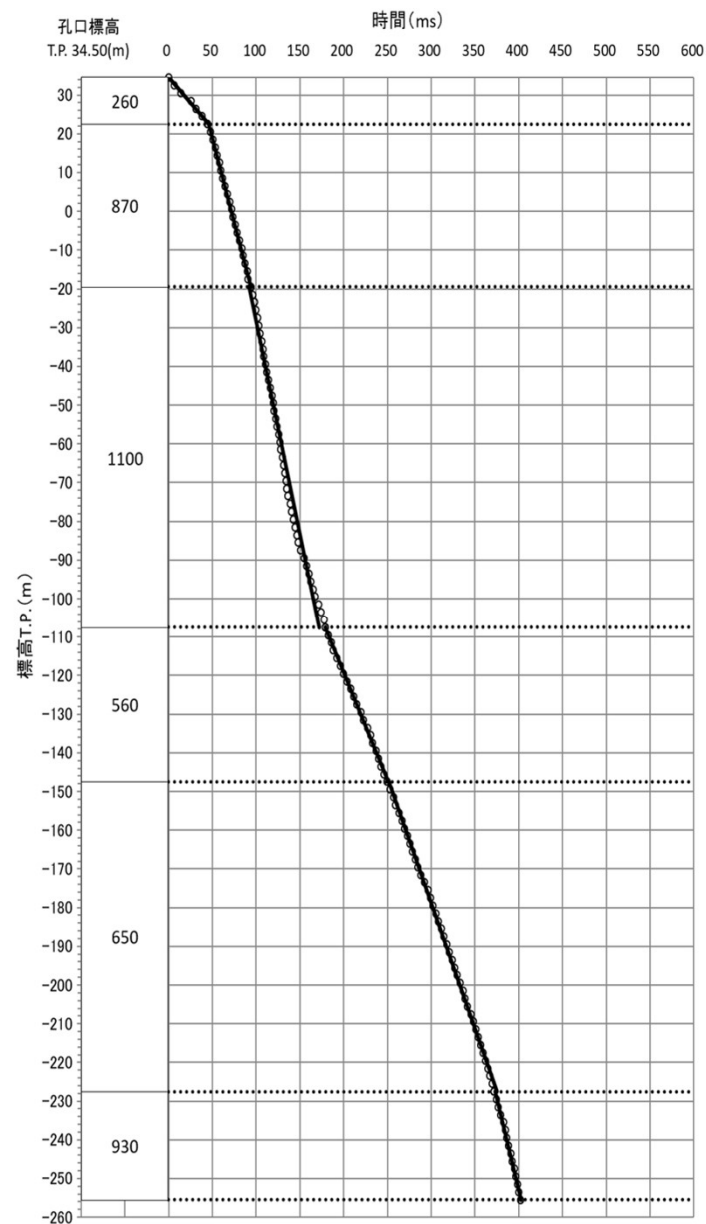
## 3.2.4 東西方向b-b'断面のPS検層データ (3/3)

コメントNo.S3-5

### SB-007孔の走時曲線



走時曲線 (P波)



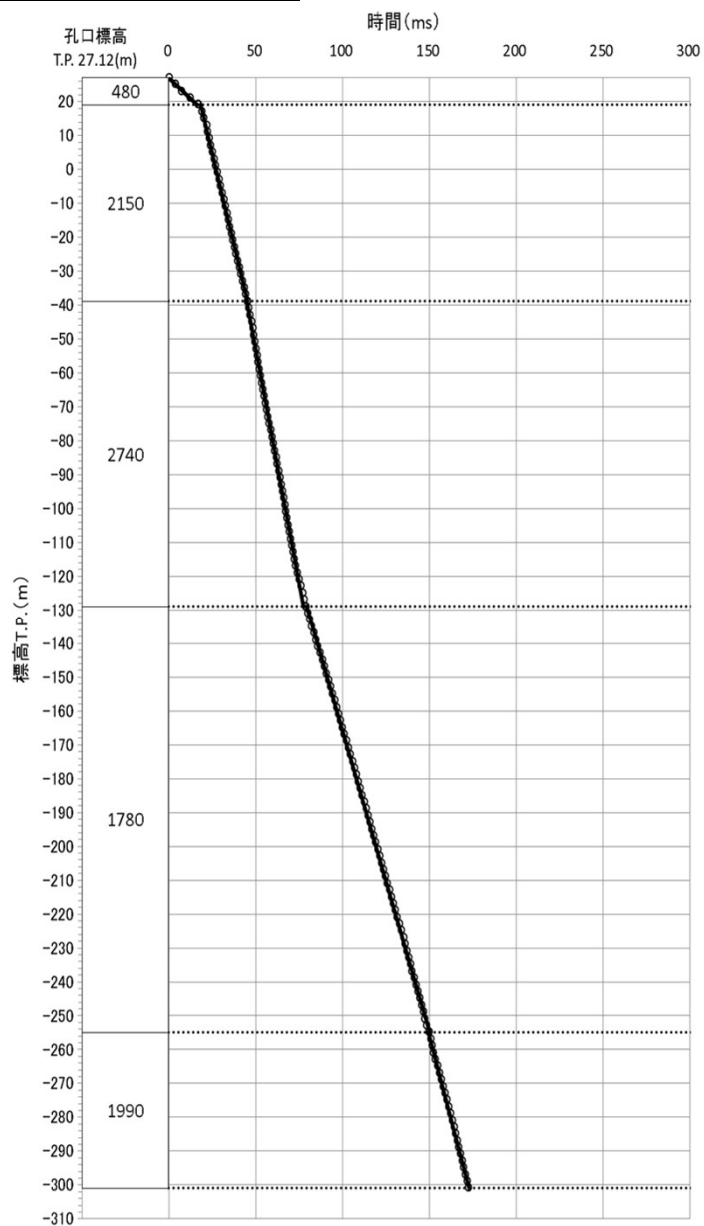
走時曲線 (S波)

注) グラフ内の数字は、当該区間の走時 (m/s) を示す。

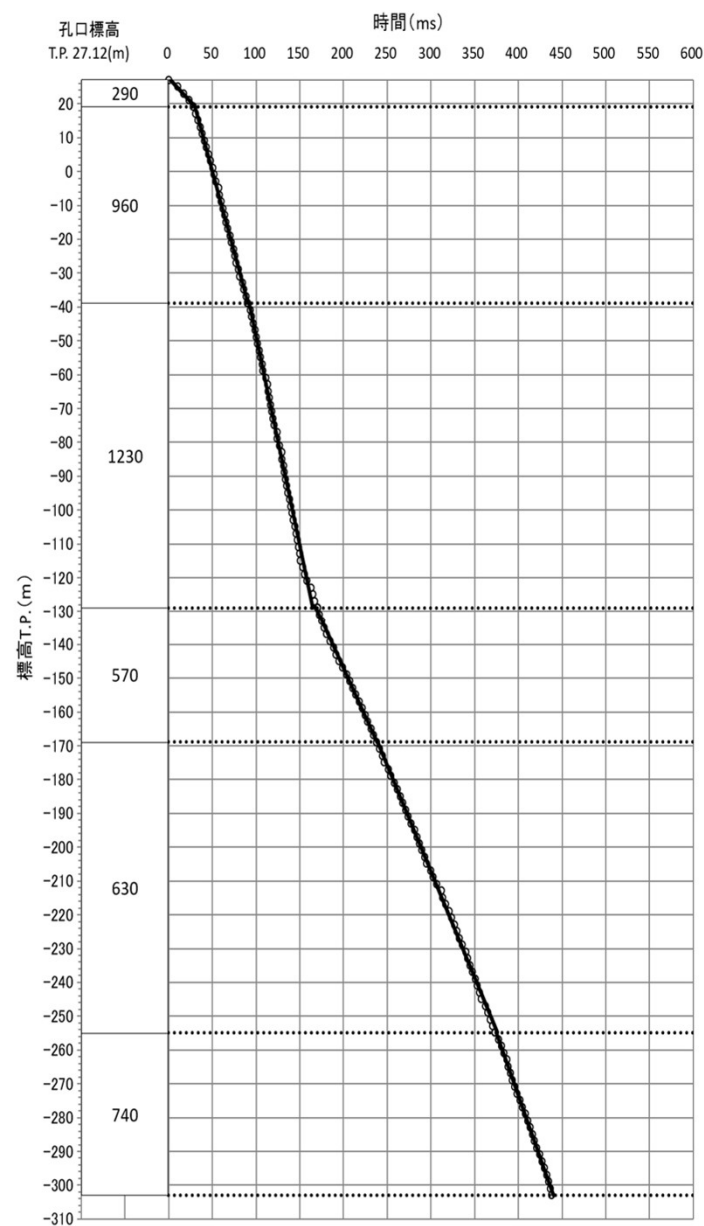
### 3.2.5 南北方向c-c'断面のPS検層データ (1/6)

コメントNo.S3-5

#### SB-018孔の走時曲線



走時曲線(P波)



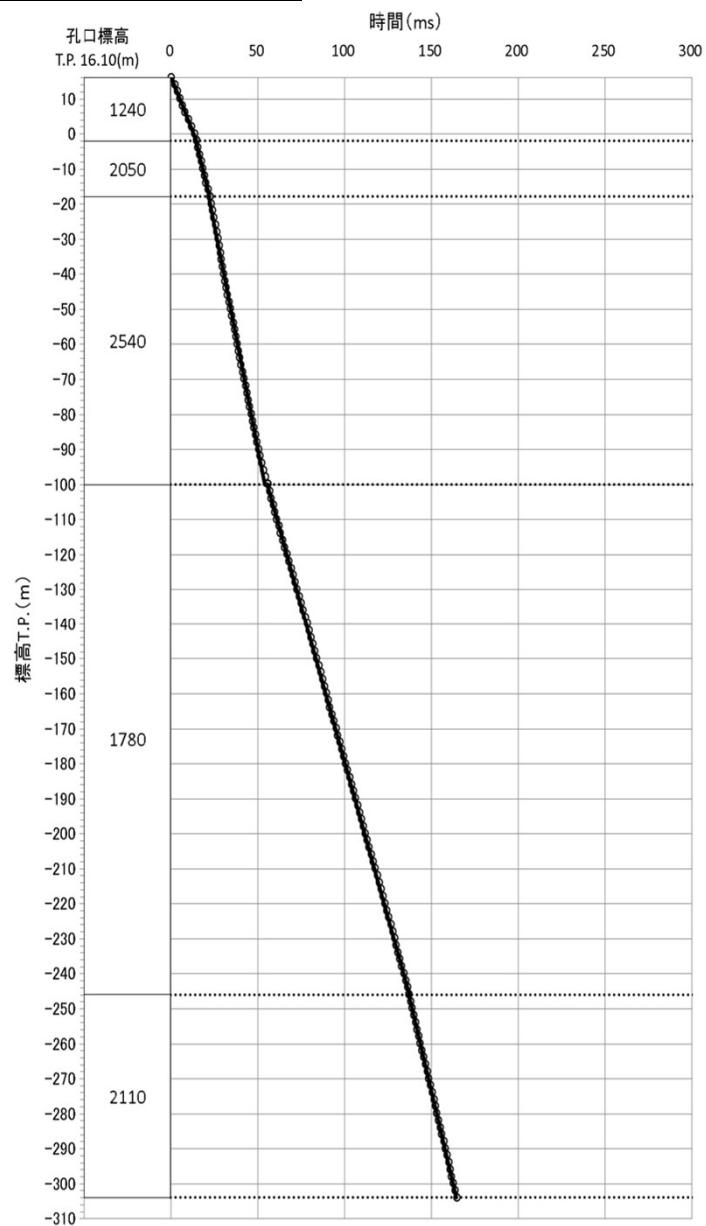
走時曲線(S波)

注) グラフ内の数字は、当該区間の走時 (m/s) を示す。

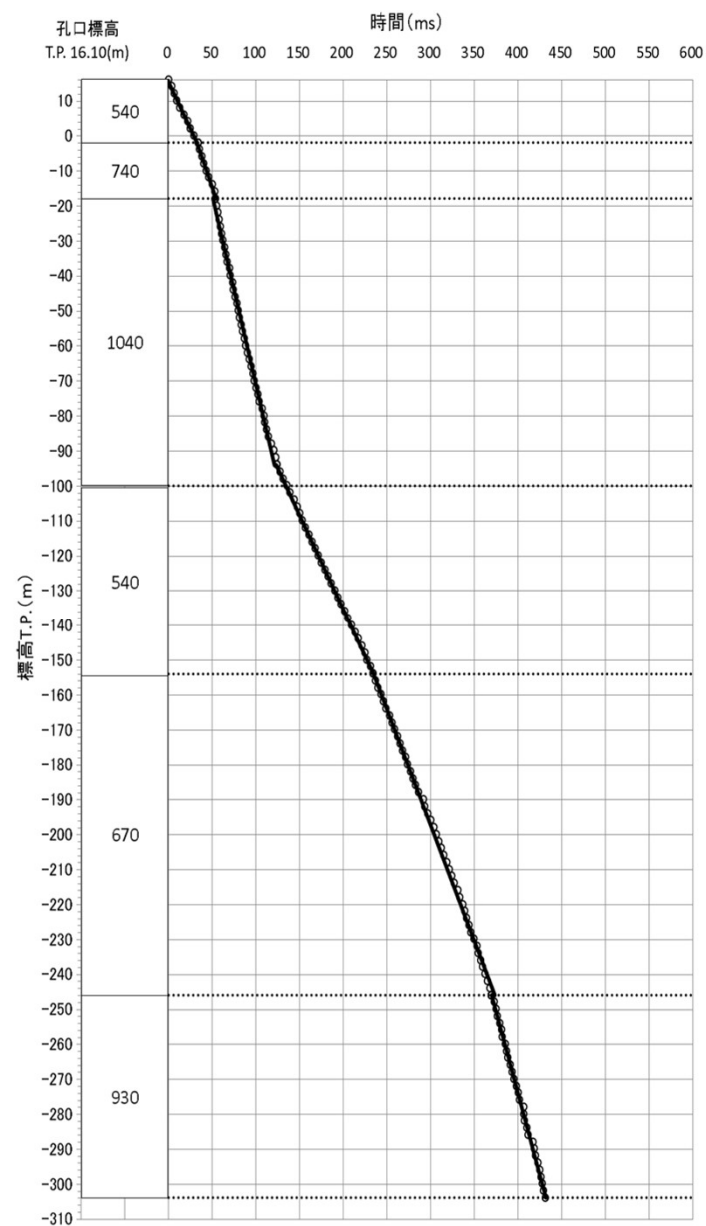
## 3.2.5 南北方向c-c'断面のPS検層データ (2/6)

コメントNo.S3-5

### SB-016孔の走時曲線



走時曲線 (P波)



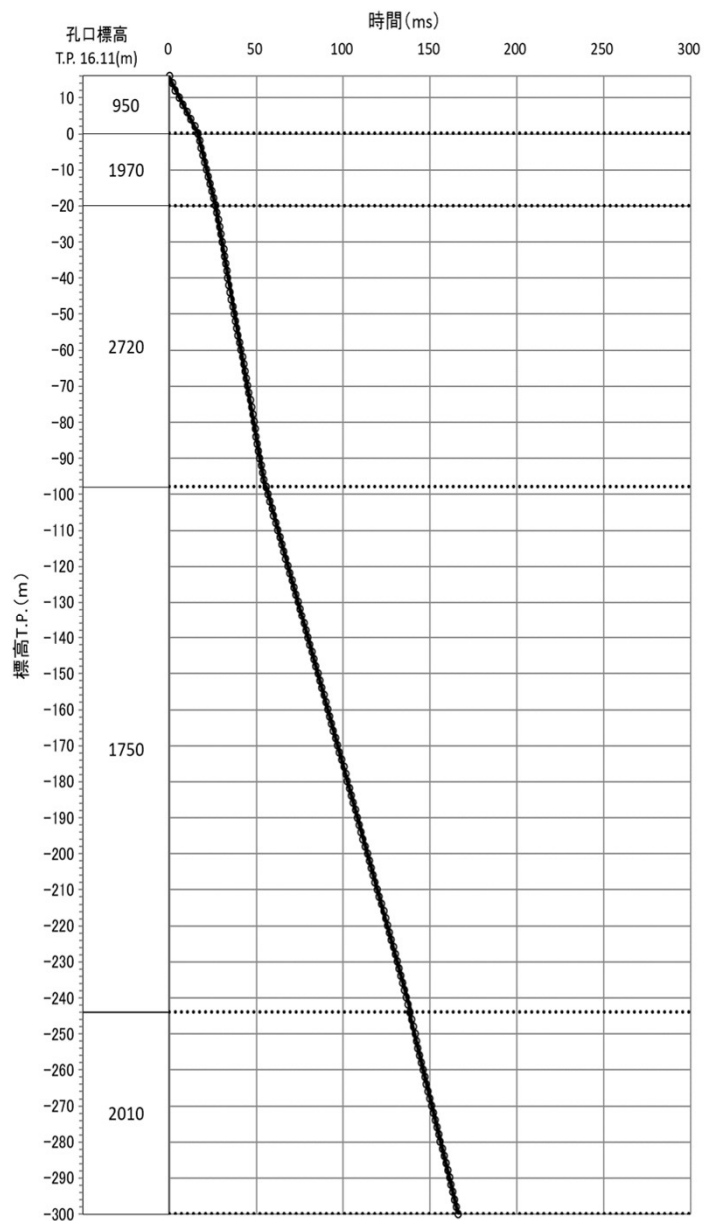
走時曲線 (S波)

注) グラフ内の数字は、当該区間の走時 (m/s) を示す。

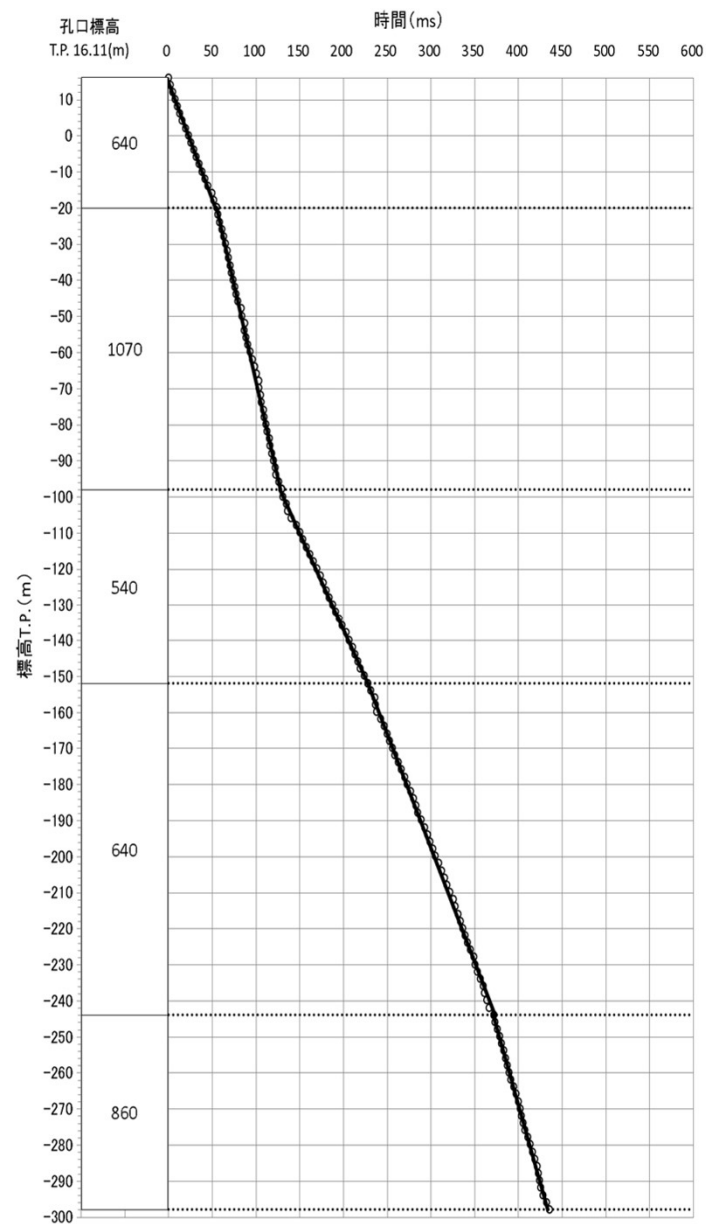
### 3.2.5 南北方向c-c'断面のPS検層データ (3/6)

コメントNo.S3-5

#### SB-015孔の走時曲線



走時曲線(P波)



走時曲線(S波)

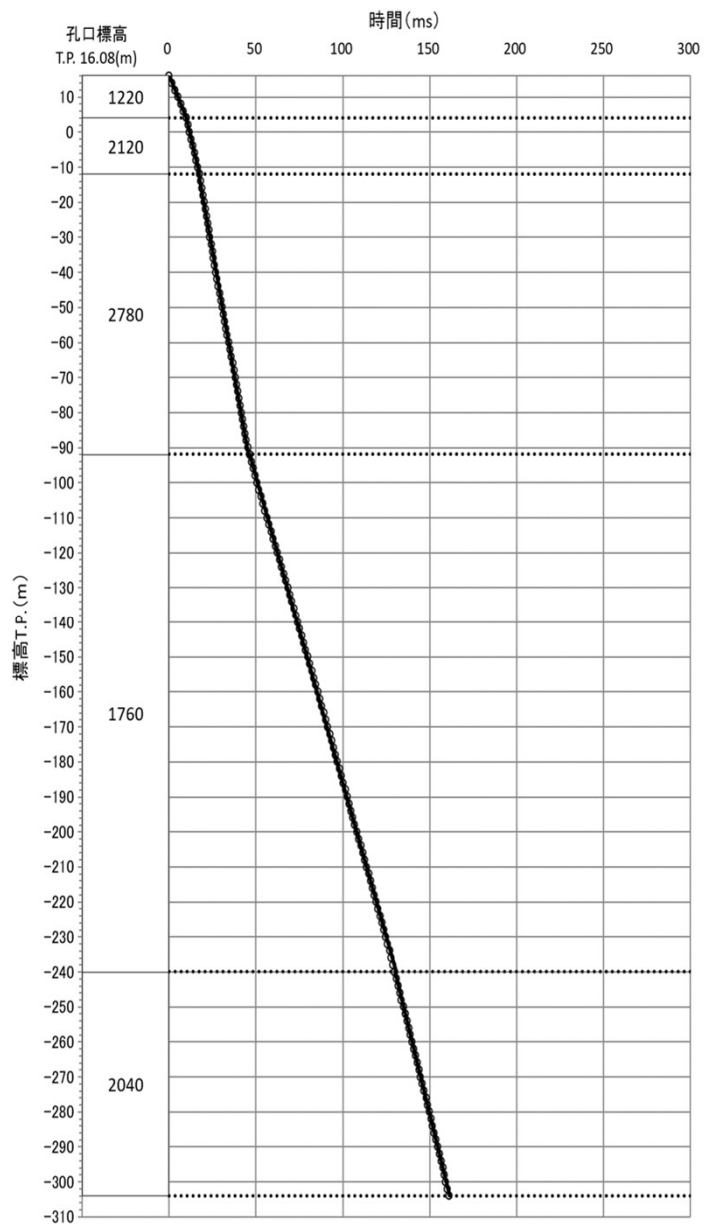
注) グラフ内の数字は、当該区間の走時(m/s)を示す。



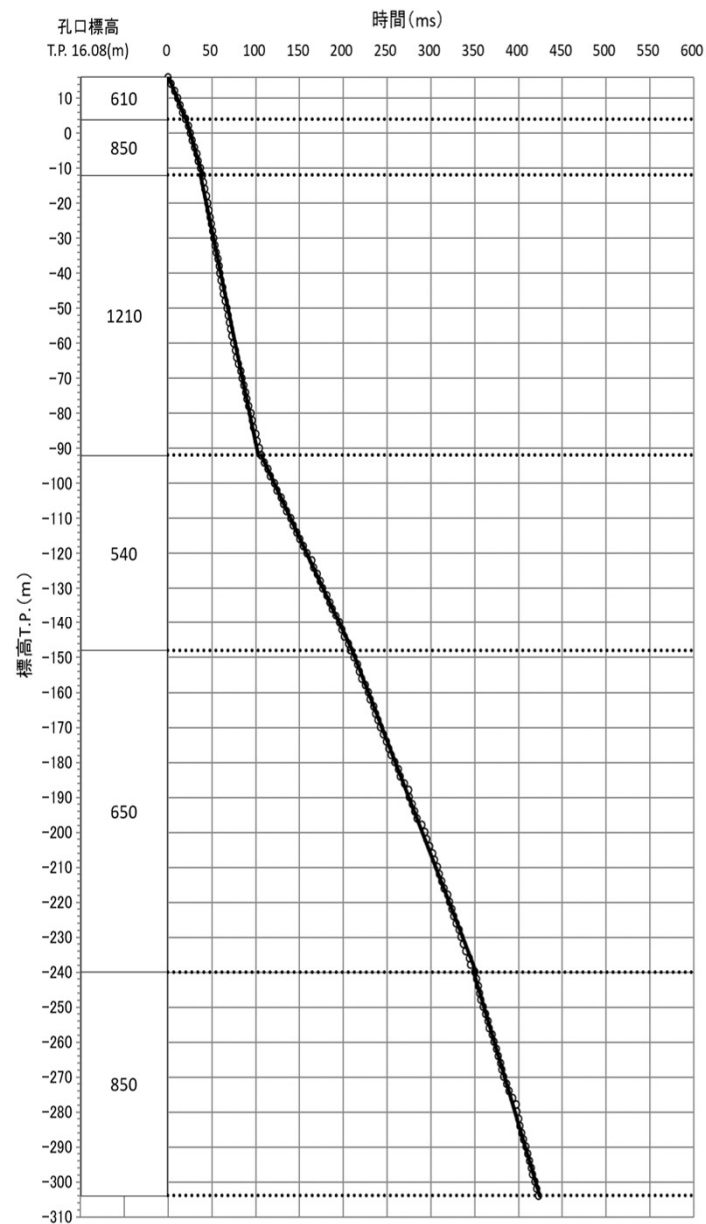
## 3.2.5 南北方向c-c'断面のPS検層データ (4/6)

コメントNo.S3-5

### SB-021孔の走時曲線



走時曲線(P波)



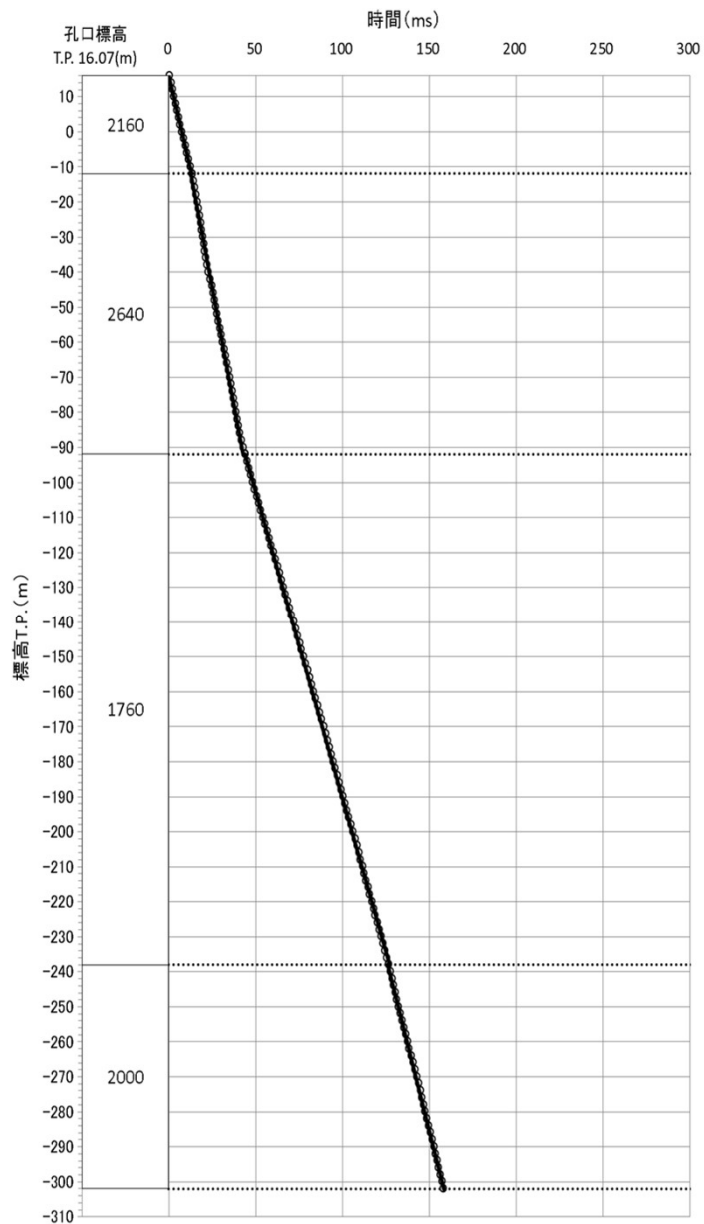
走時曲線(S波)

注) グラフ内の数字は、当該区間の走時(m/s)を示す。

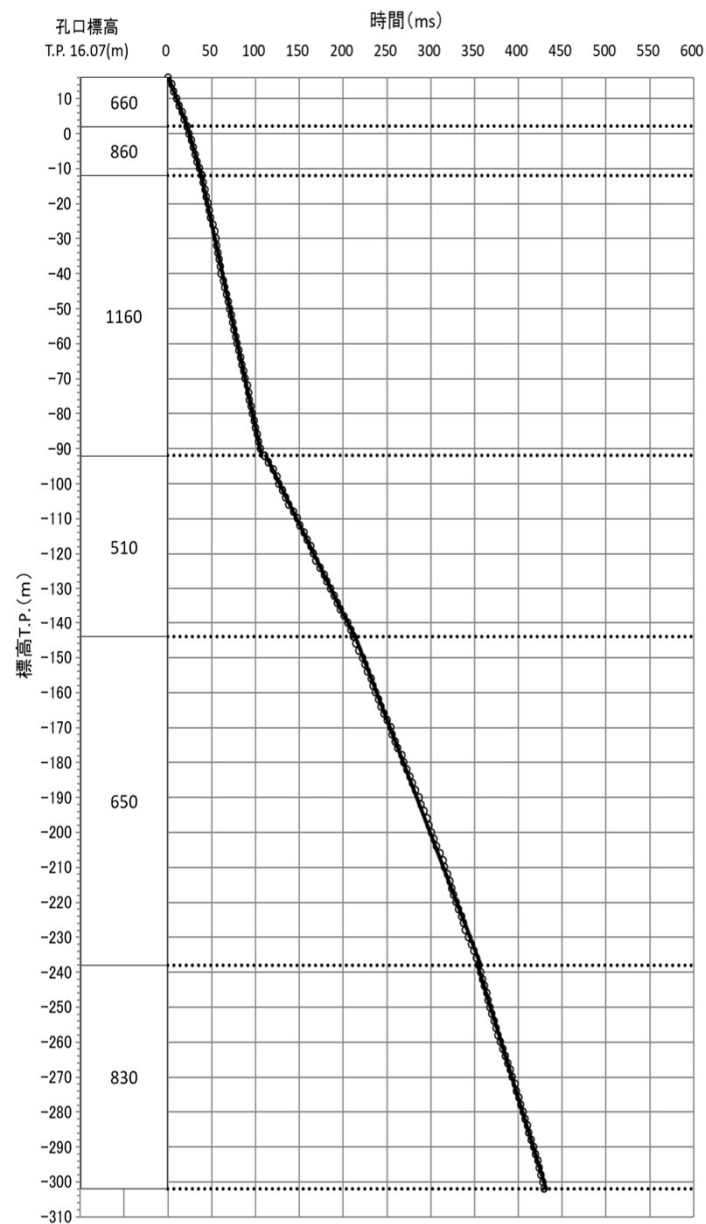
### 3.2.5 南北方向c-c'断面のPS検層データ (5/6)

コメントNo.S3-5

#### SB-017孔の走時曲線



走時曲線(P波)



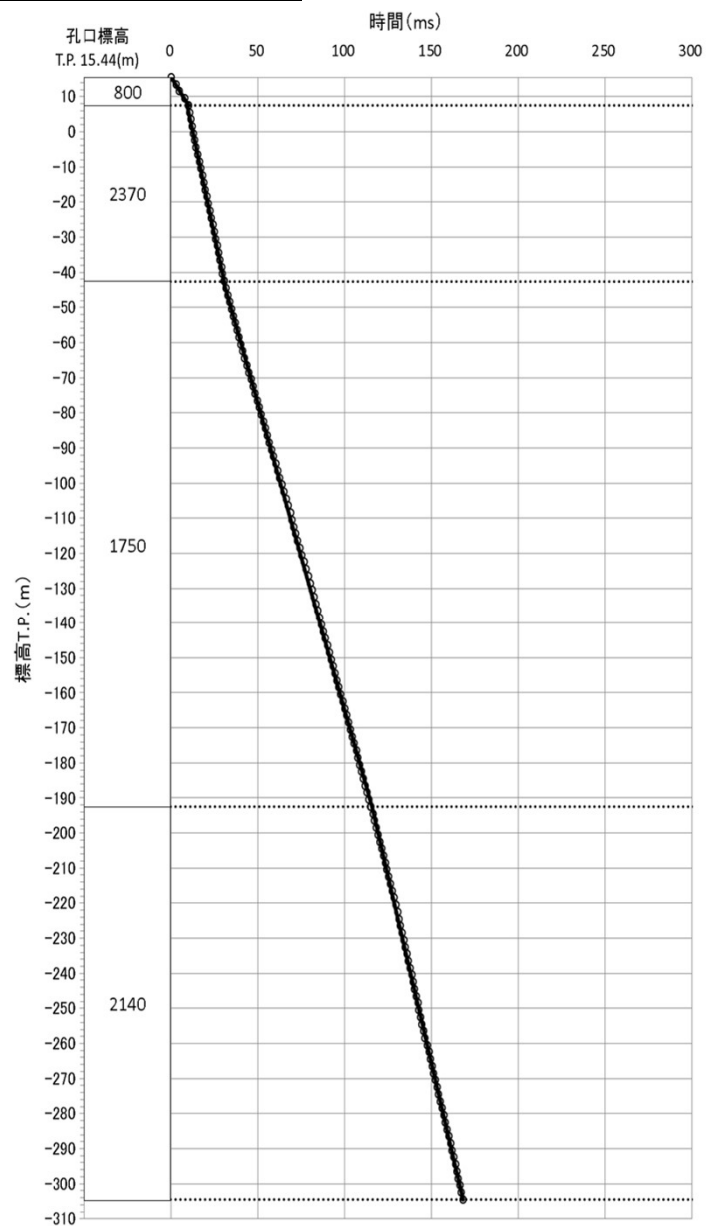
走時曲線(S波)

注) グラフ内の数字は、当該区間の走時(m/s)を示す。

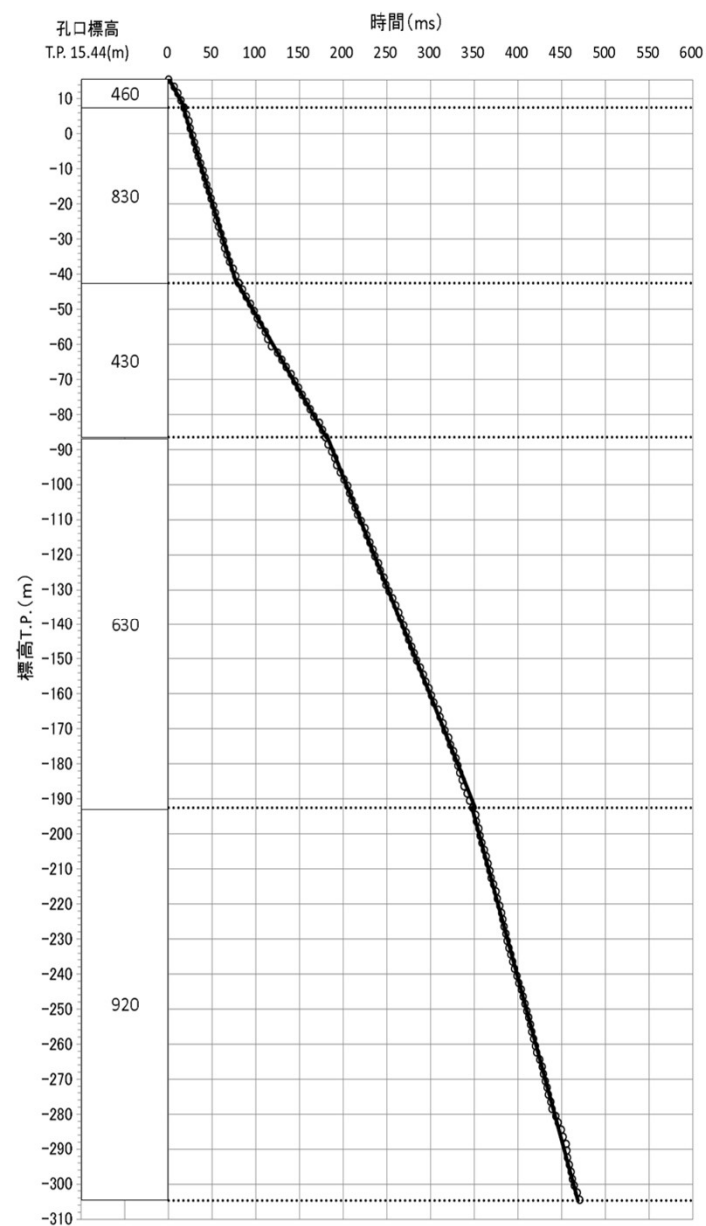
### 3.2.5 南北方向c-c'断面のPS検層データ (6/6)

コメントNo.S3-5

#### SB-019孔の走時曲線



走時曲線(P波)



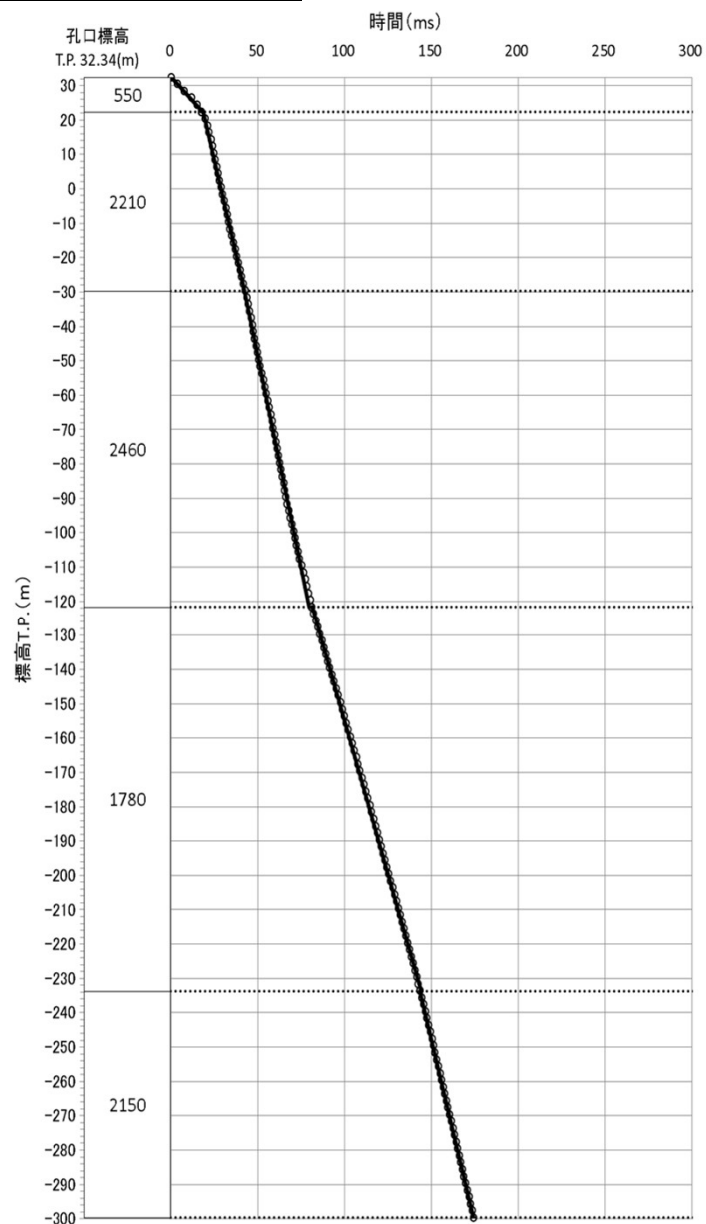
走時曲線(S波)

注) グラフ内の数字は、当該区間の走時(m/s)を示す。

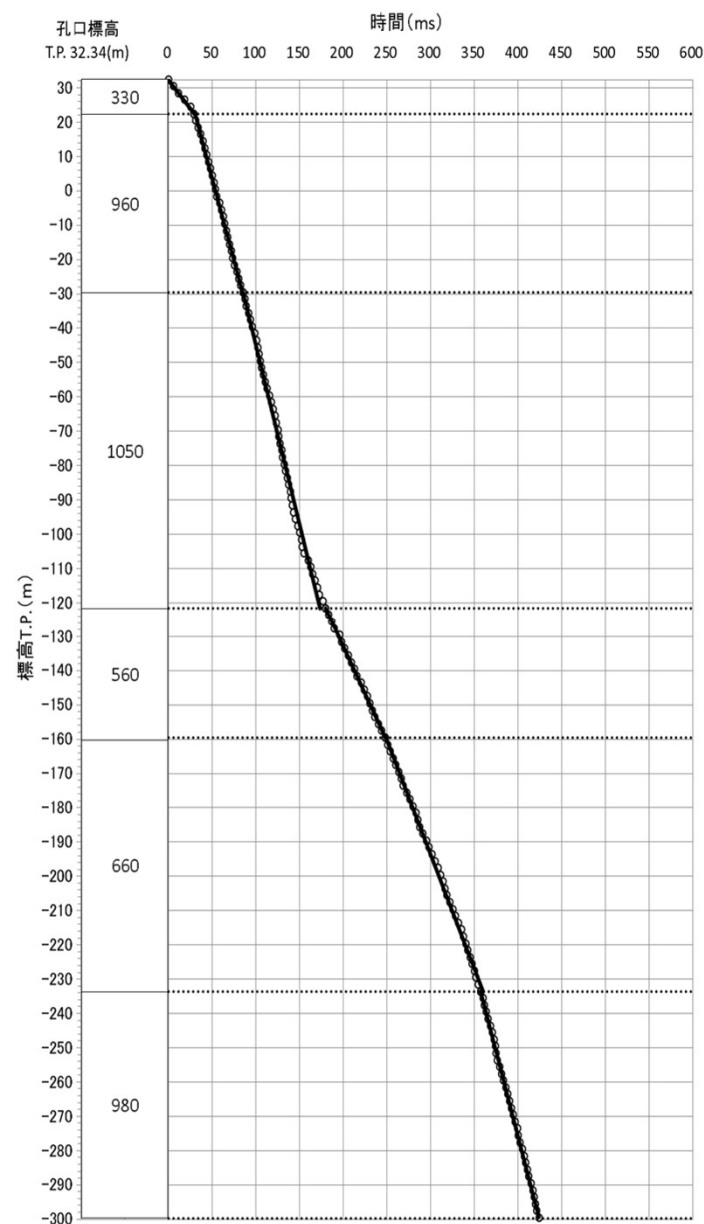
## 3.2.6 南北方向d-d'断面のPS検層データ (1/3)

コメントNo.S3-5

### SB-035孔の走時曲線



走時曲線(P波)



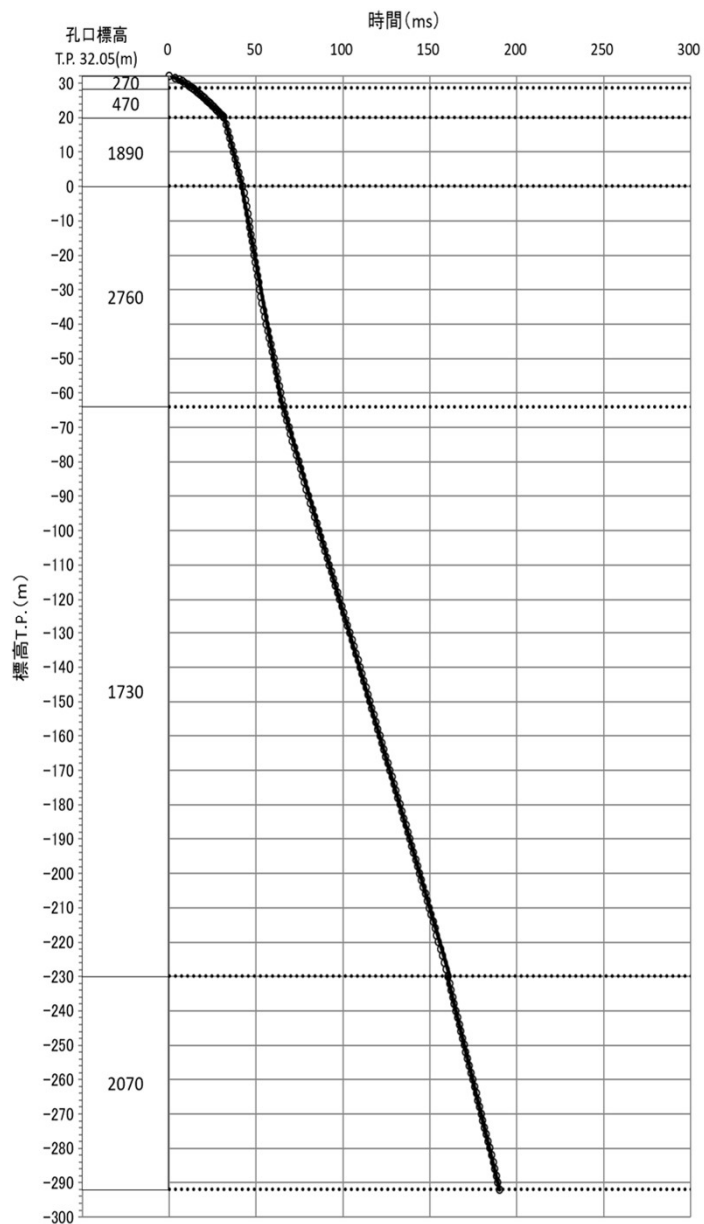
走時曲線(S波)

注) グラフ内の数字は、当該区間の走時(m/s)を示す。

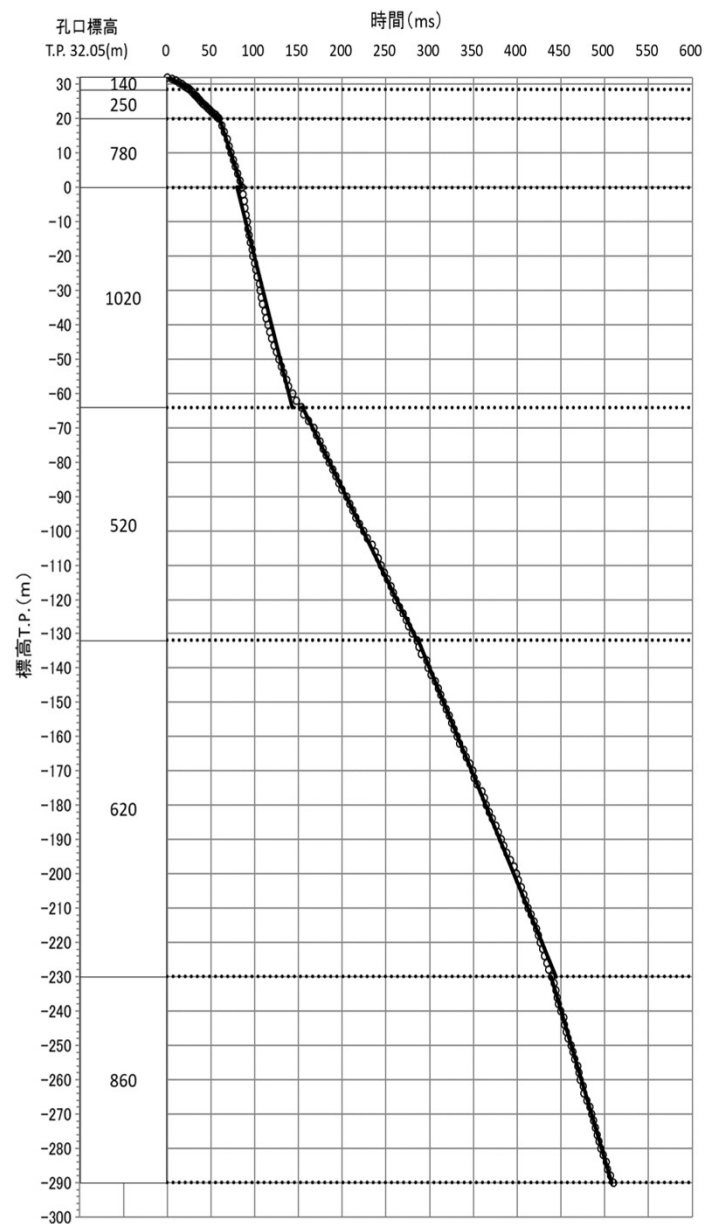
## 3.2.6 南北方向d-d'断面のPS検層データ (2/3)

コメントNo.S3-5

### SB-042孔の走時曲線



走時曲線(P波)



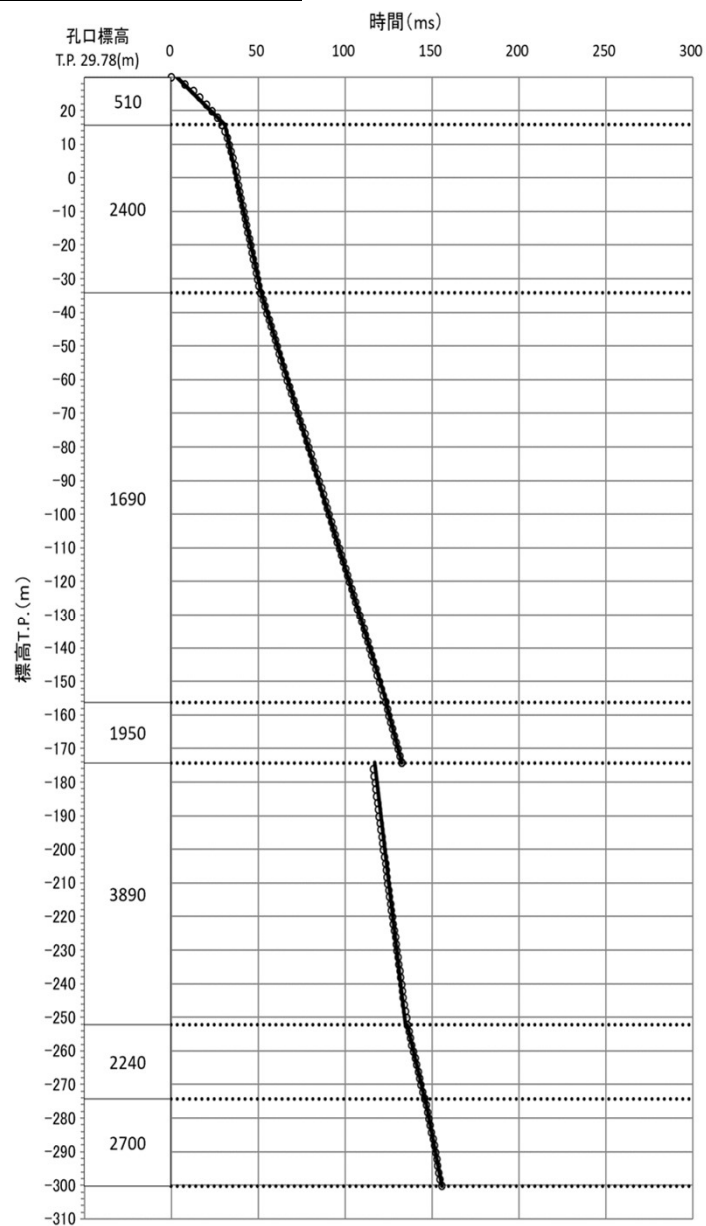
走時曲線(S波)

注) グラフ内の数字は、当該区間の走時(m/s)を示す。

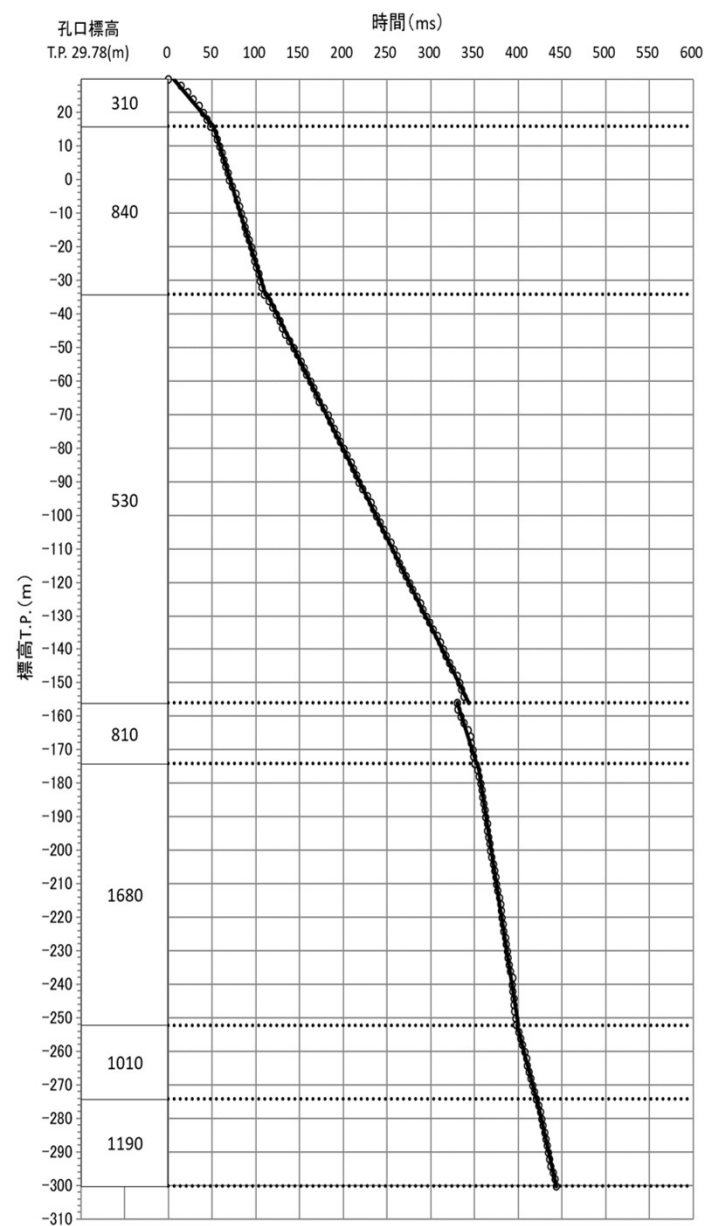
## 3.2.6 南北方向d-d'断面のPS検層データ (3/3)

コメントNo.S3-5

### SB-034孔の走時曲線



走時曲線(P波)



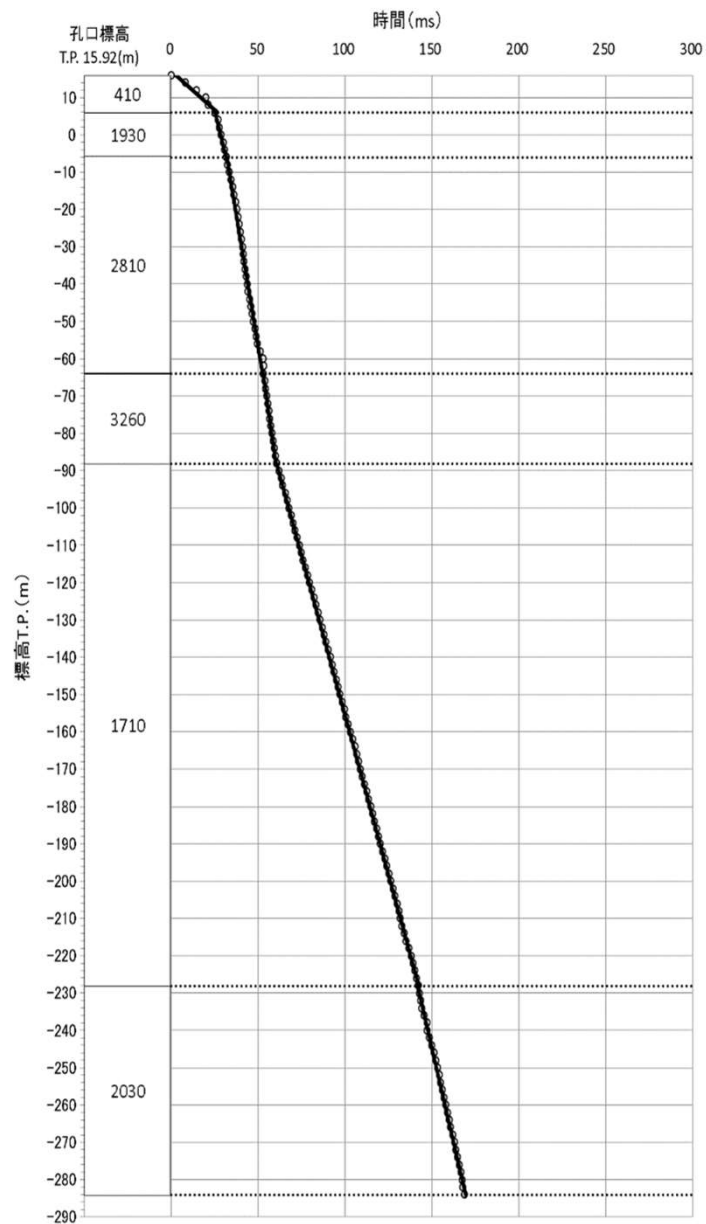
走時曲線(S波)

注) グラフ内の数字は、当該区間の走時(m/s)を示す。

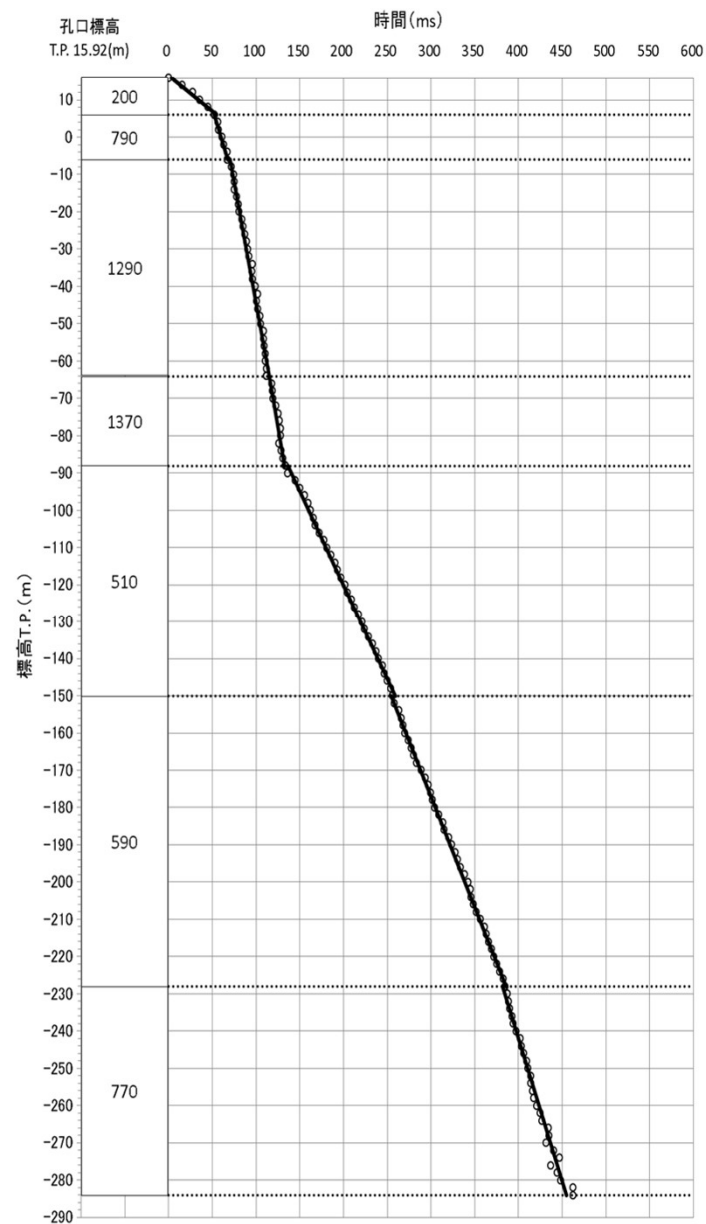
## 3.2.7 その他検討に用いたPS検層データ

コメントNo.S3-5

### RR-204孔の走時曲線



走時曲線(P波)



走時曲線(S波)

注) グラフ内の数字は、当該区間の走時 (m/s) を示す。

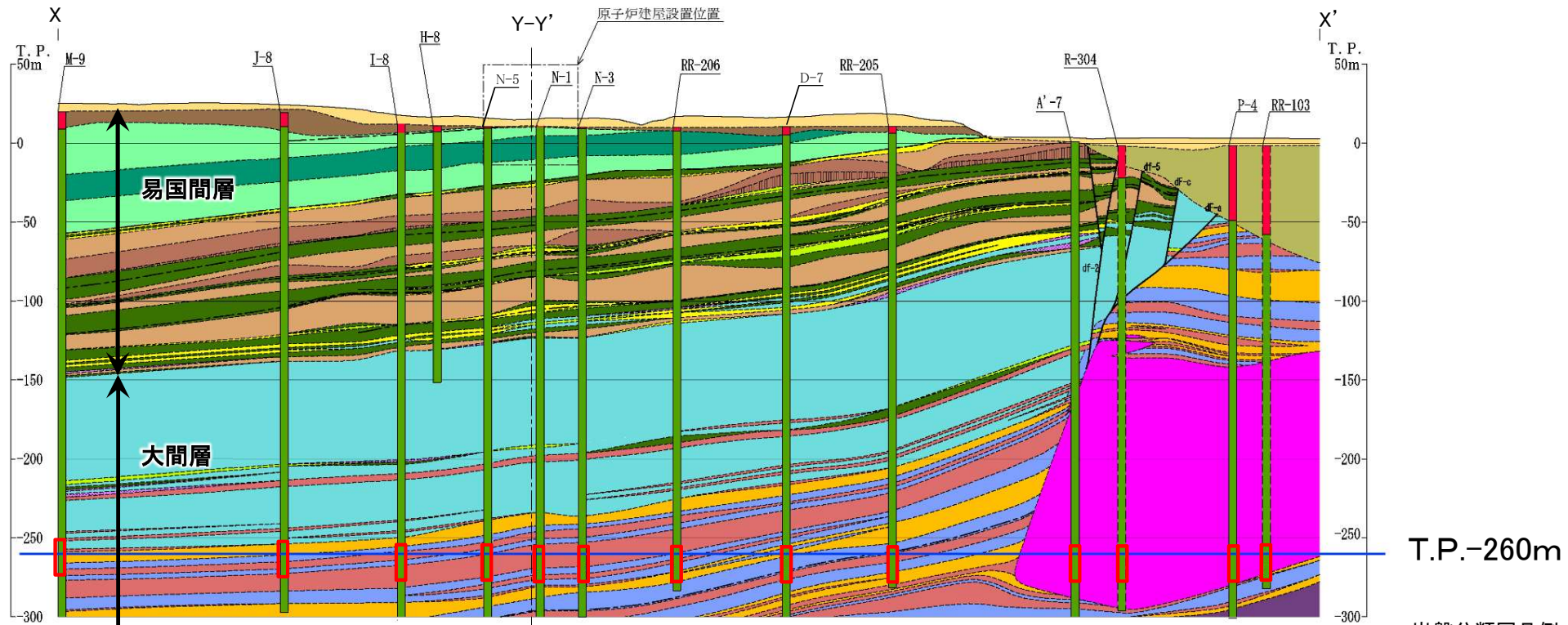
### 3.3 T.P.-260m付近のコア写真



### 3.3.1 南北方向X-X' 断面のボーリング孔(1/14)

コメントNo.S3-5

#### コア写真を示す対象のボーリング

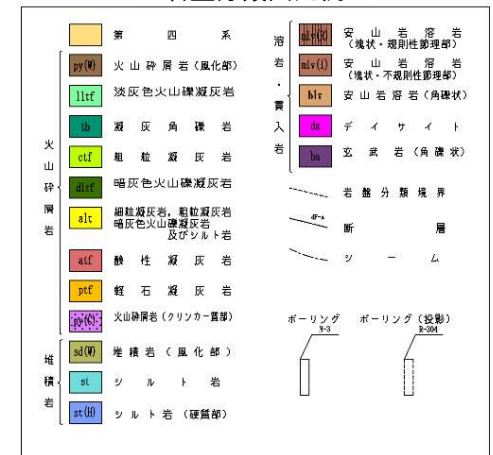


X-X' 断面

#### 風化区分

| 凡例 | 風化区分 | 判定基準           |
|----|------|----------------|
| ■  | 風化   | 風化により褐色化しているもの |
| ■  | 新鮮   | 風化が認められないもの    |

#### 岩盤分類図凡例

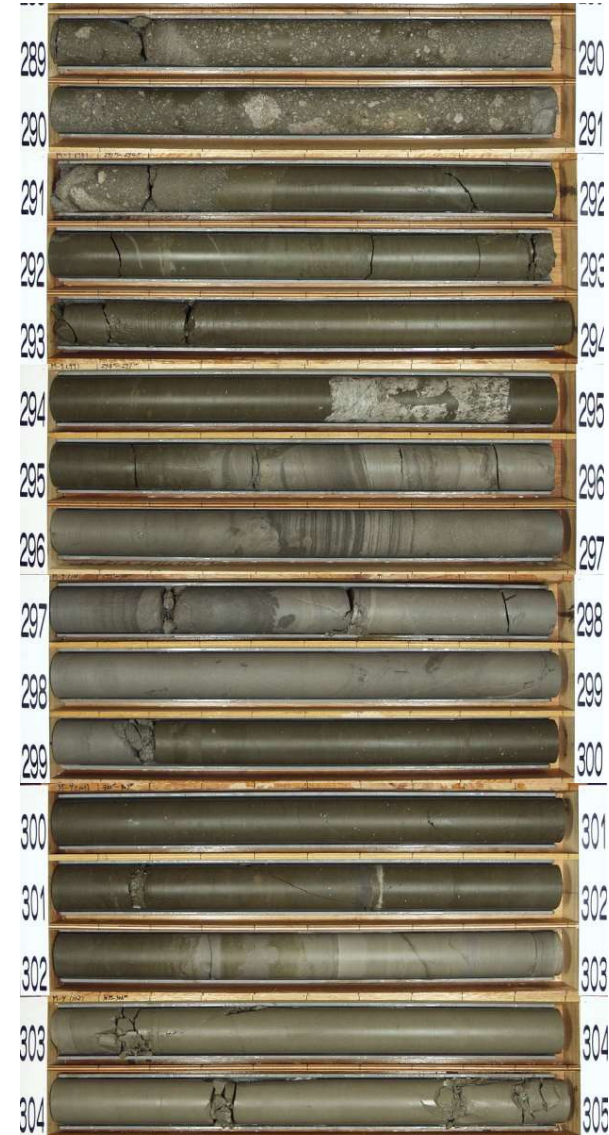
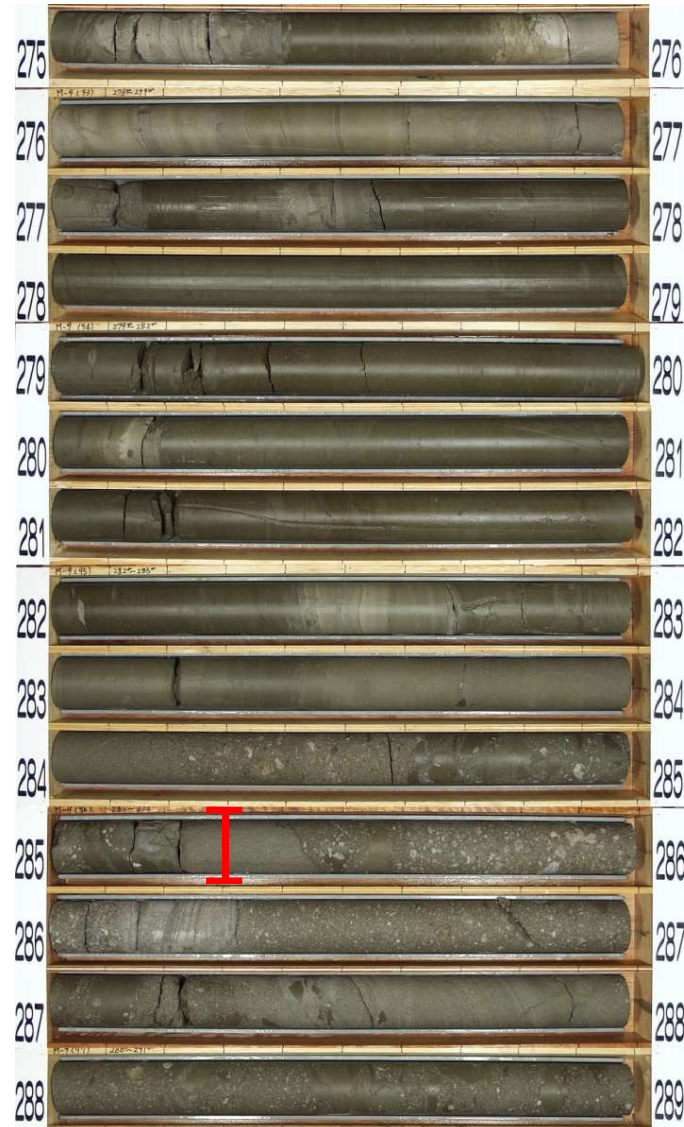


### 3.3.1 南北方向X-X' 断面のボーリング孔(2/14)

コメントNo.S3-5

M-9孔

T.P.-249.70m～T.P.-279.70m  
(深度275m～305m)



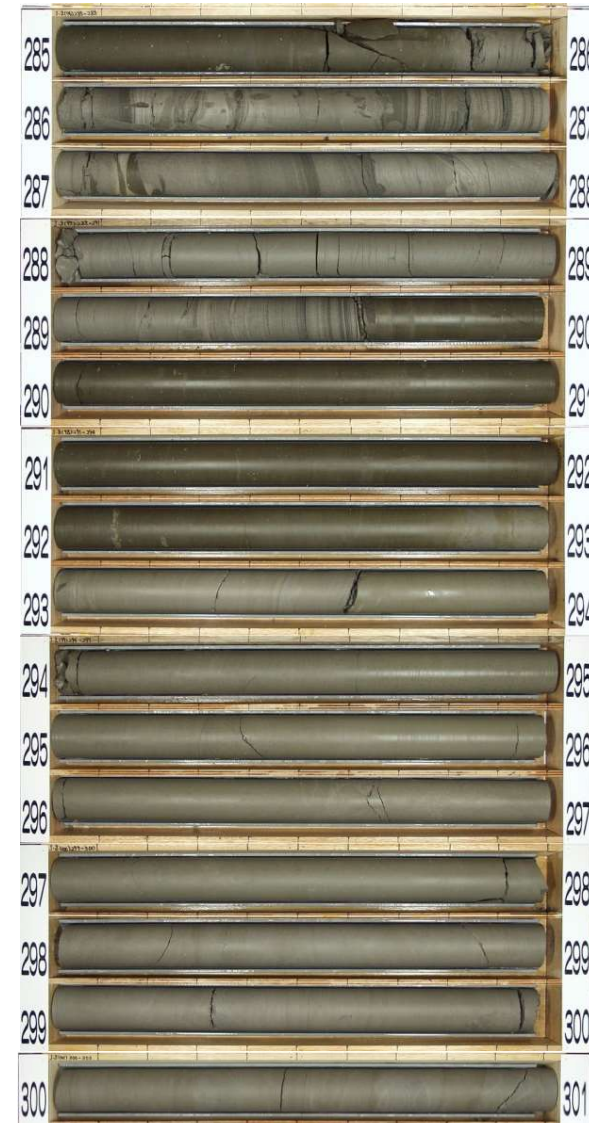
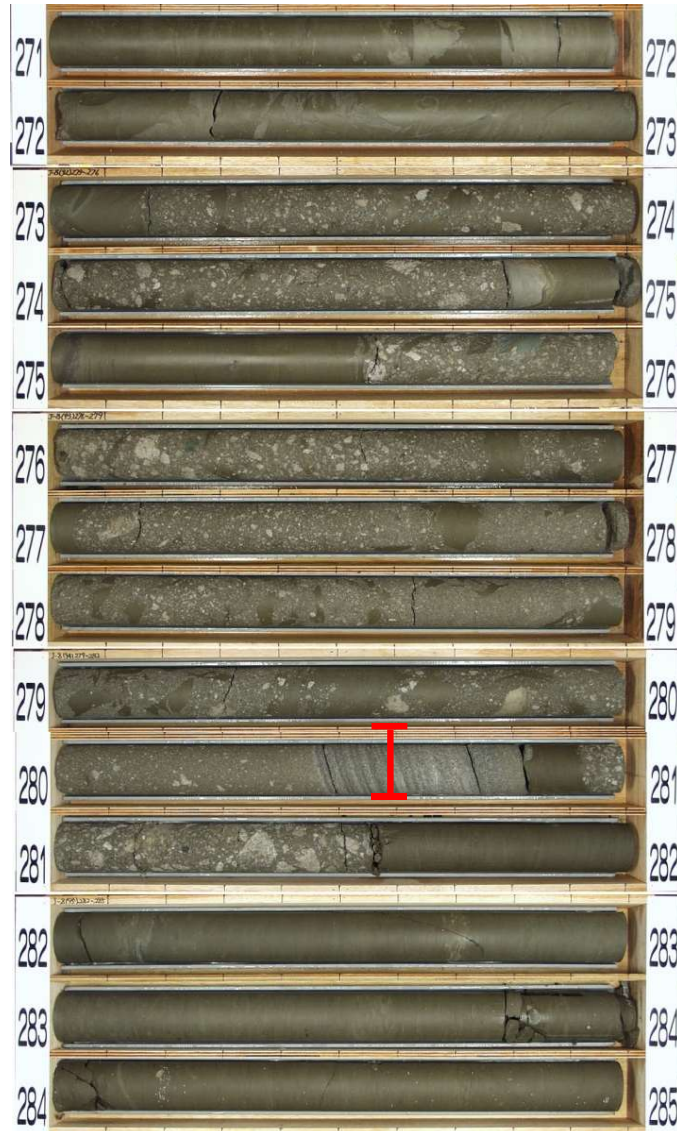
凡例 **I** : T.P.-260m

### 3.3.1 南北方向X-X' 断面のボーリング孔(3/14)

コメントNo.S3-5

J-8孔

T.P.-250.41m～T.P.-280.41m  
(深度271m～301m)



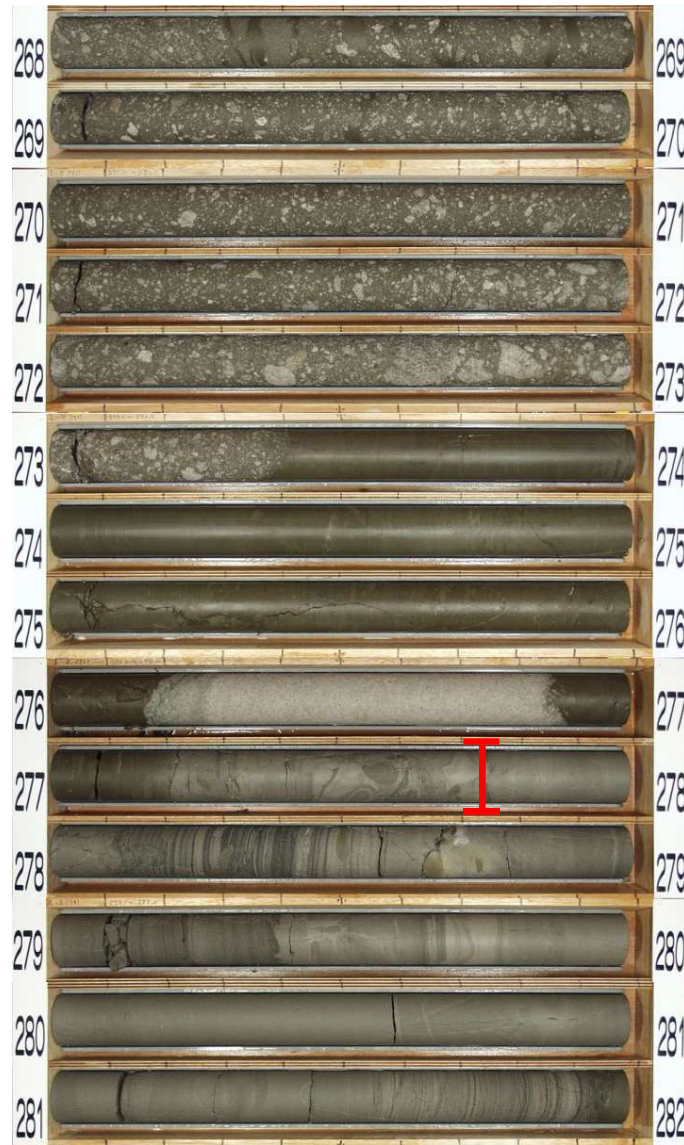
凡例 I : T.P.-260m

### 3.3.1 南北方向X-X' 断面のボーリング孔(4/14)

コメントNo.S3-5

I-8孔

T.P.-250.27m～T.P.-280.27m  
(深度268m～298m)



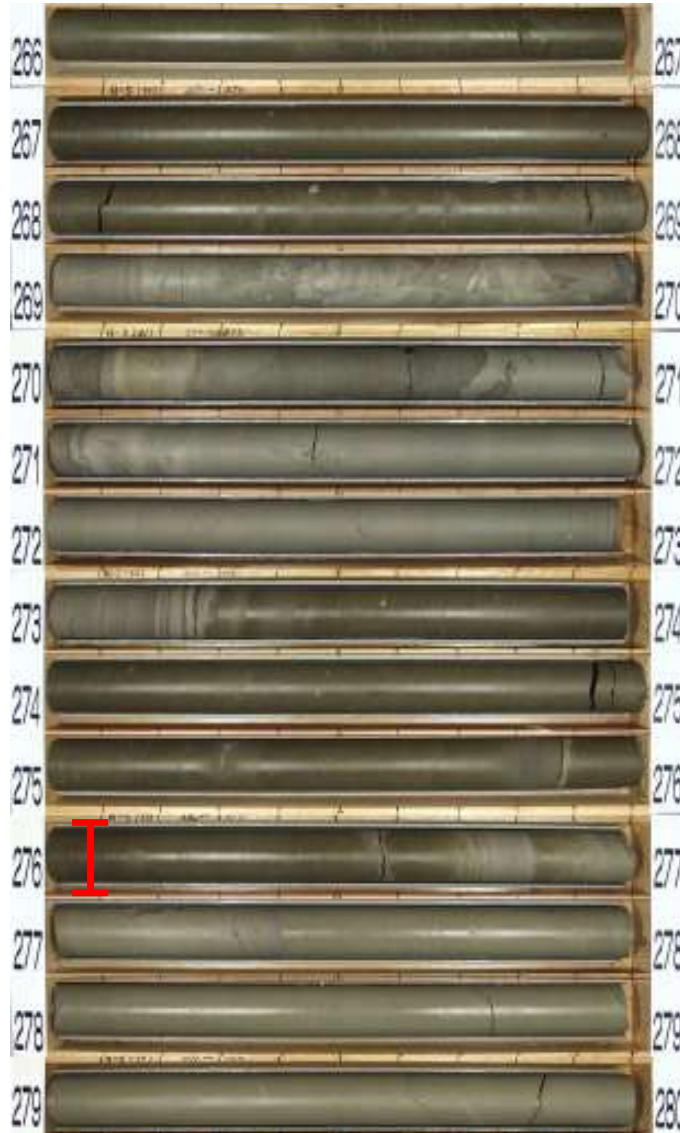
凡例 I : T.P.-260m

### 3.3.1 南北方向X-X' 断面のボーリング孔(5/14)

コメントNo.S3-5

N-5孔

T.P.-249.93m～T.P.-279.93m  
(深度266m～296m)



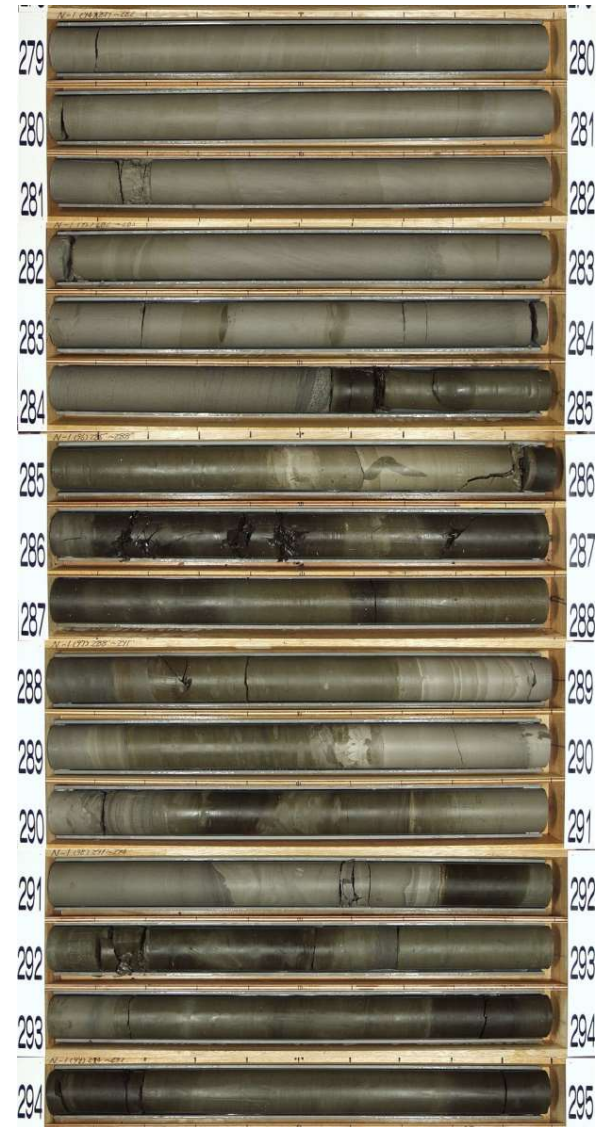
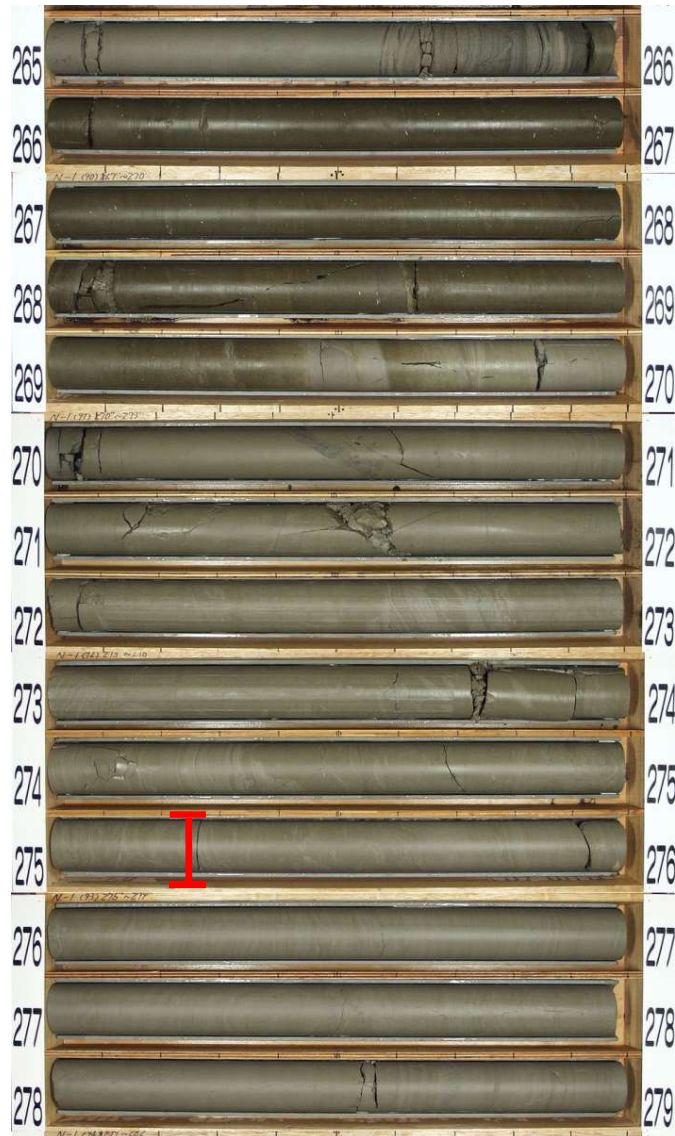
凡例 I : T.P.-260m

### 3.3.1 南北方向X-X' 断面のボーリング孔(6/14)

コメントNo.S3-5

N-1孔

T.P.-249.75m～T.P.-279.75m  
(深度265m～295m)



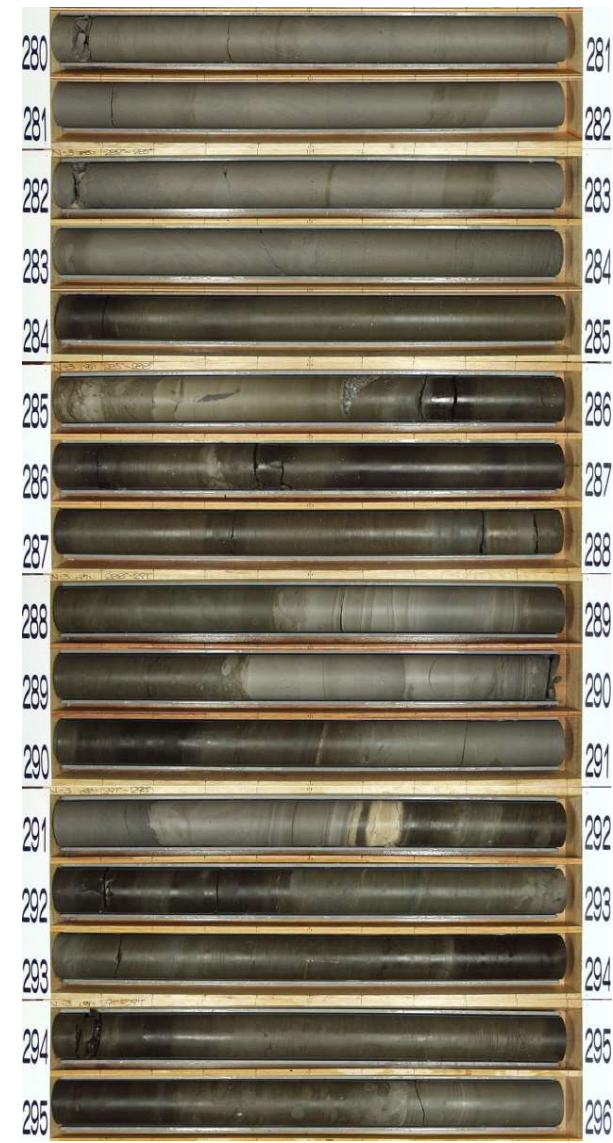
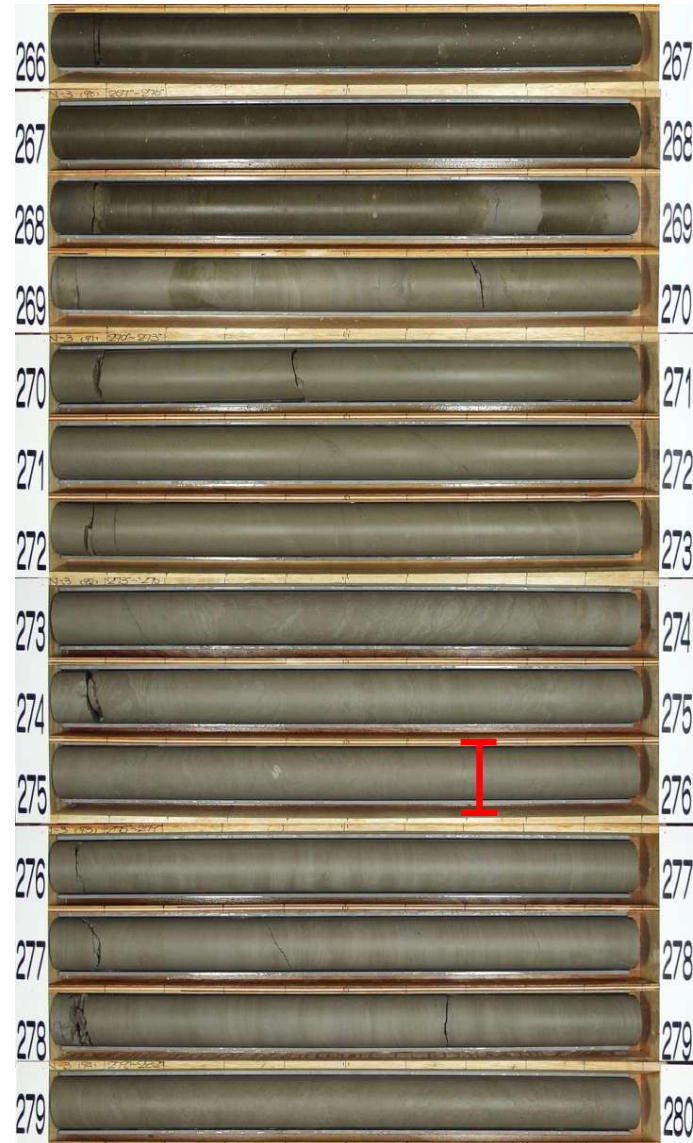
凡例 I : T.P.-260m

### 3.3.1 南北方向X-X' 断面のボーリング孔(7/14)

コメントNo.S3-5

N-3孔

T.P.-250.28m～T.P.-280.28m  
(深度266m～296m)



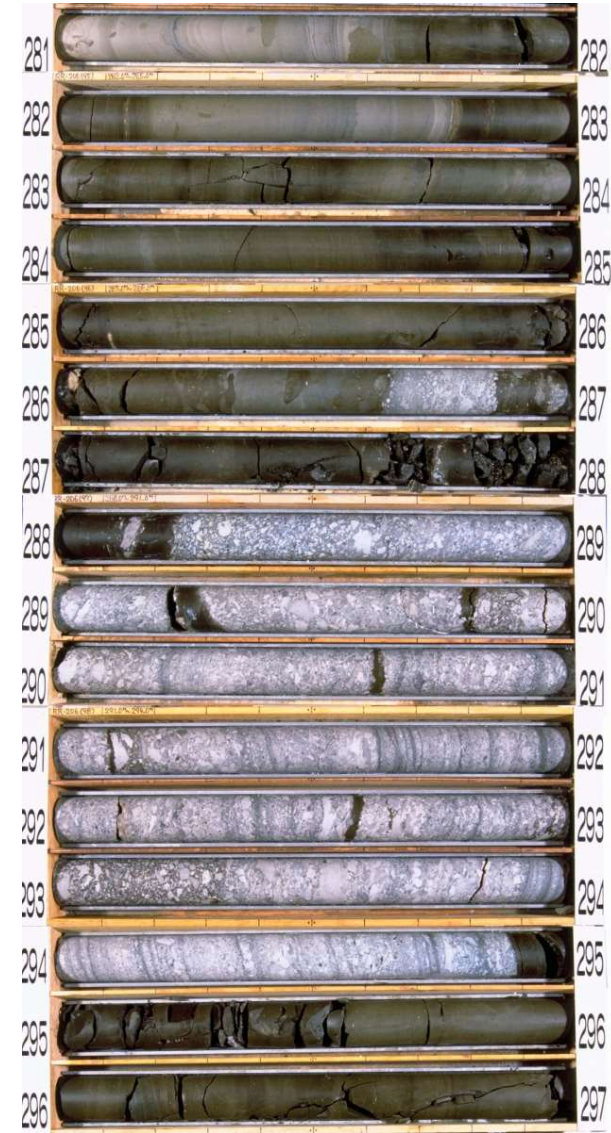
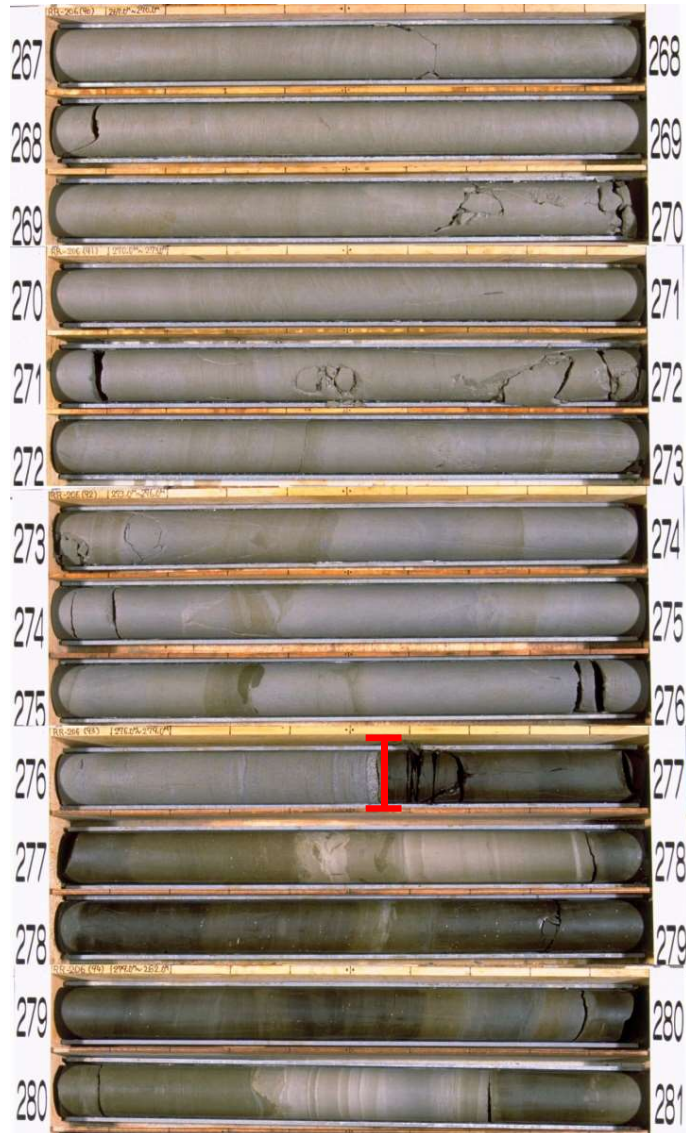
凡例 I : T.P.-260m

### 3.3.1 南北方向X-X' 断面のボーリング孔(8/14)

コメントNo.S3-5

RR-206孔

T.P.-250.46m～T.P.-280.46m  
(深度267m～297m)



凡例 I : T.P.-260m

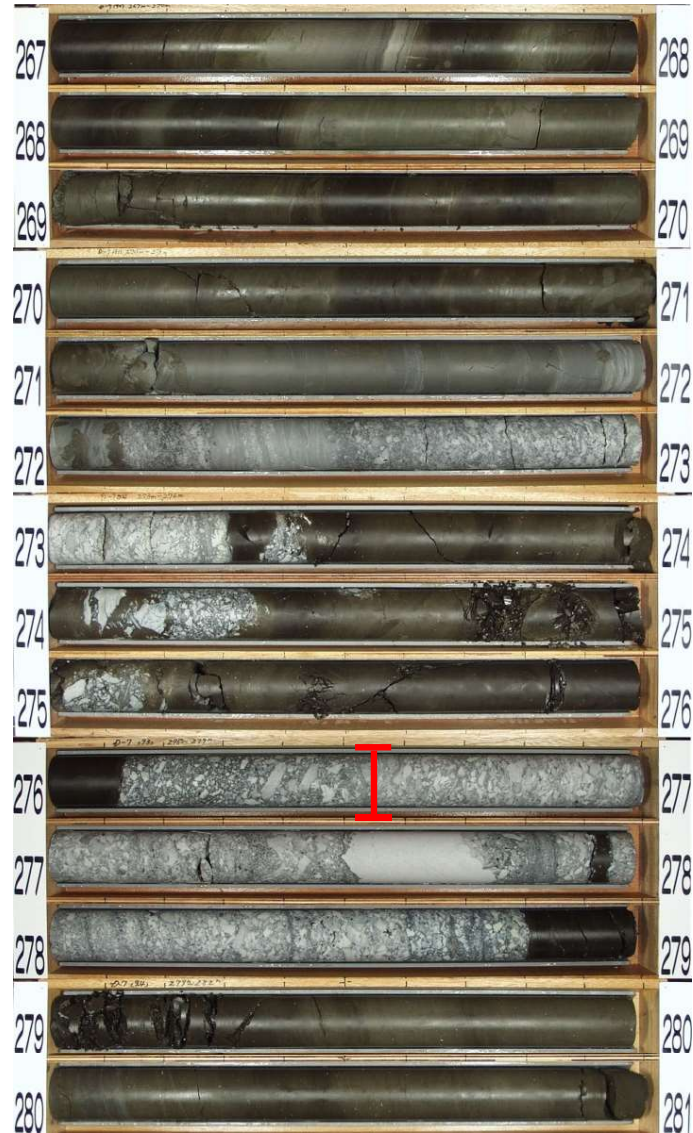


### 3.3.1 南北方向X-X' 断面のボーリング孔(9/14)

コメントNo.S3-5

D-7孔

T.P.-250.45m～T.P.-280.45m  
(深度267m～297m)



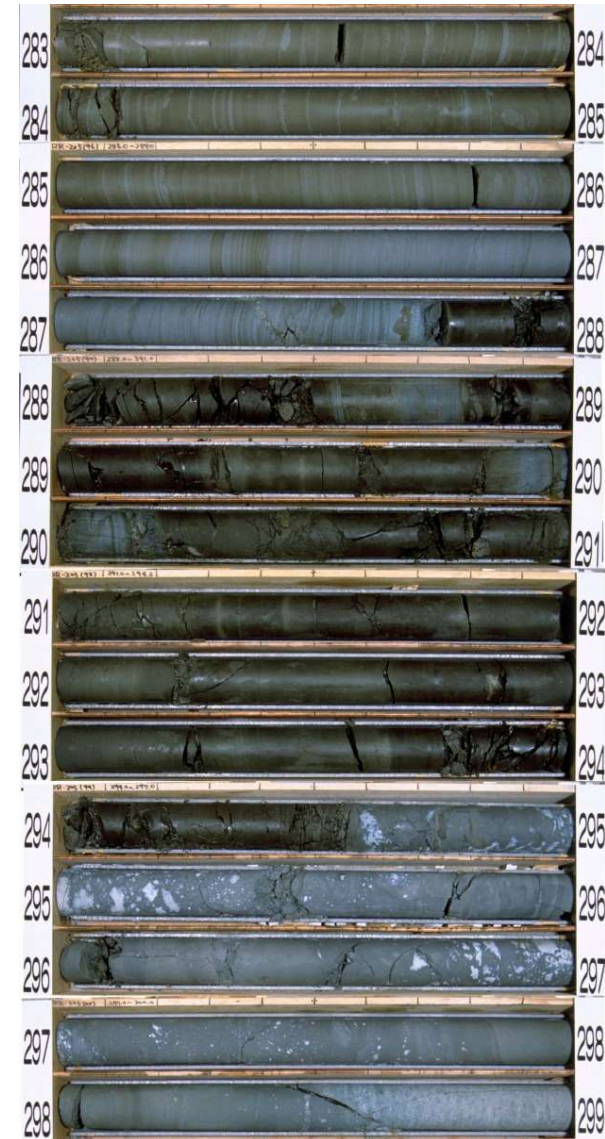
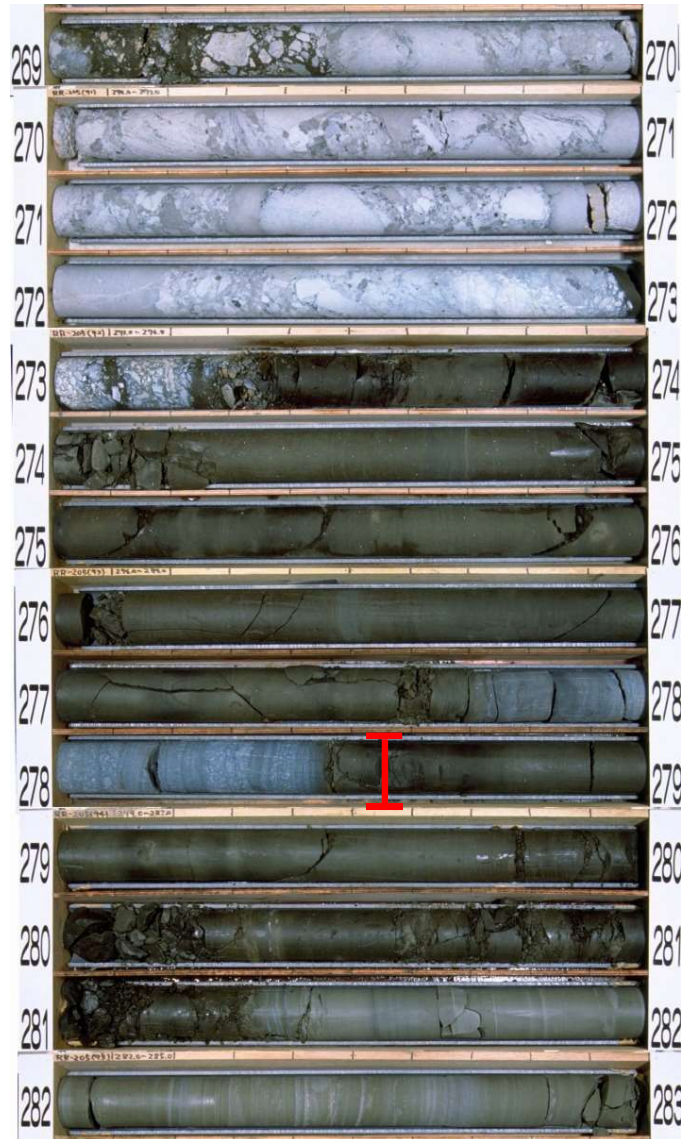
凡例 I : T.P.-260m

### 3.3.1 南北方向X-X' 断面のボーリング孔(10/14)

コメントNo.S3-5

RR-205孔

T.P.-250.44m～T.P.-280.44m  
(深度269m～299m)



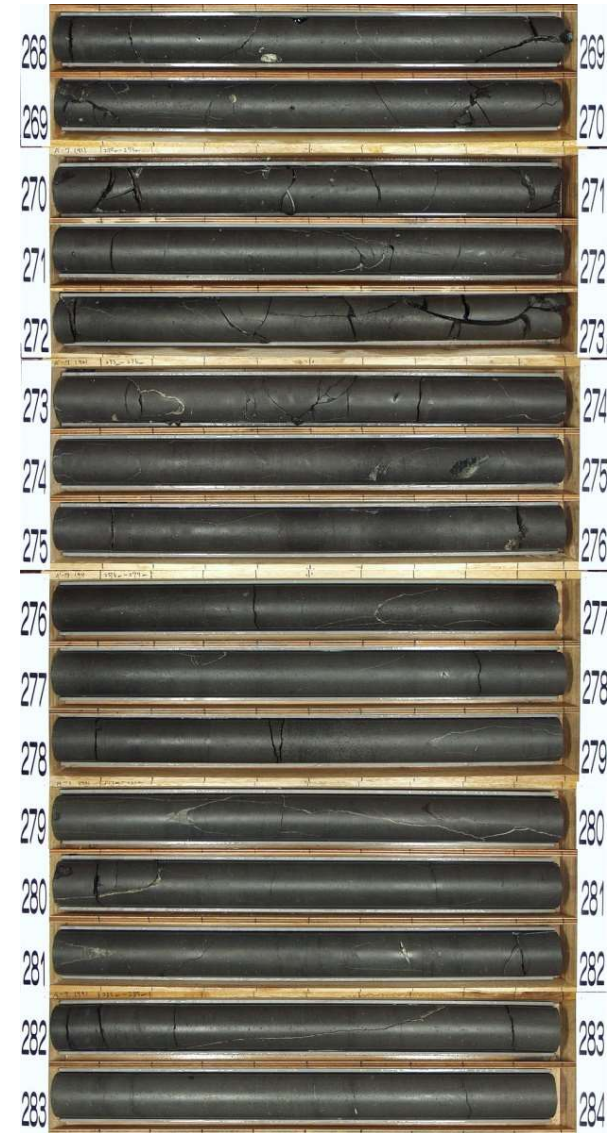
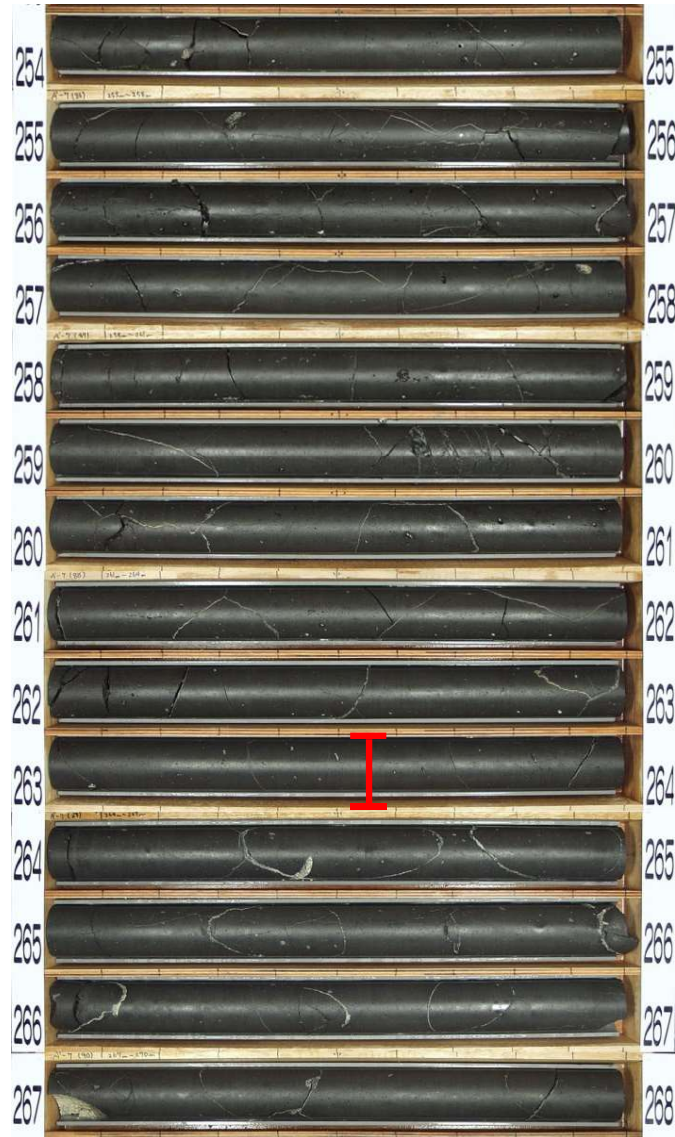
凡例 I : T.P.-260m

### 3.3.1 南北方向X-X' 断面のボーリング孔(11/14)

コメントNo.S3-5

A'-7孔

T.P.-250.44m～T.P.-280.44m  
(深度254m～284m)



凡例 **I** : T.P.-260m

### 3.3.1 南北方向X-X' 断面のボーリング孔(12/14)

コメントNo.S3-5

R-304孔

T.P.-250.36m～T.P.-280.36m  
(深度254m～284m)



凡例 **I** : T.P.-260m

## 3.3.1 南北方向X-X' 断面のボーリング孔(13/14)

コメントNo.S3-5

P-4孔

T.P.-249.95m～T.P.-279.95m  
(深度253m～283m)

凡例 I : T.P.-260m

### 3.3.1 南北方向X-X' 断面のボーリング孔(14/14)

コメントNo.S3-5

RR-103孔

T.P.-249.87m~T.P.-279.87m  
(深度254m~284m)

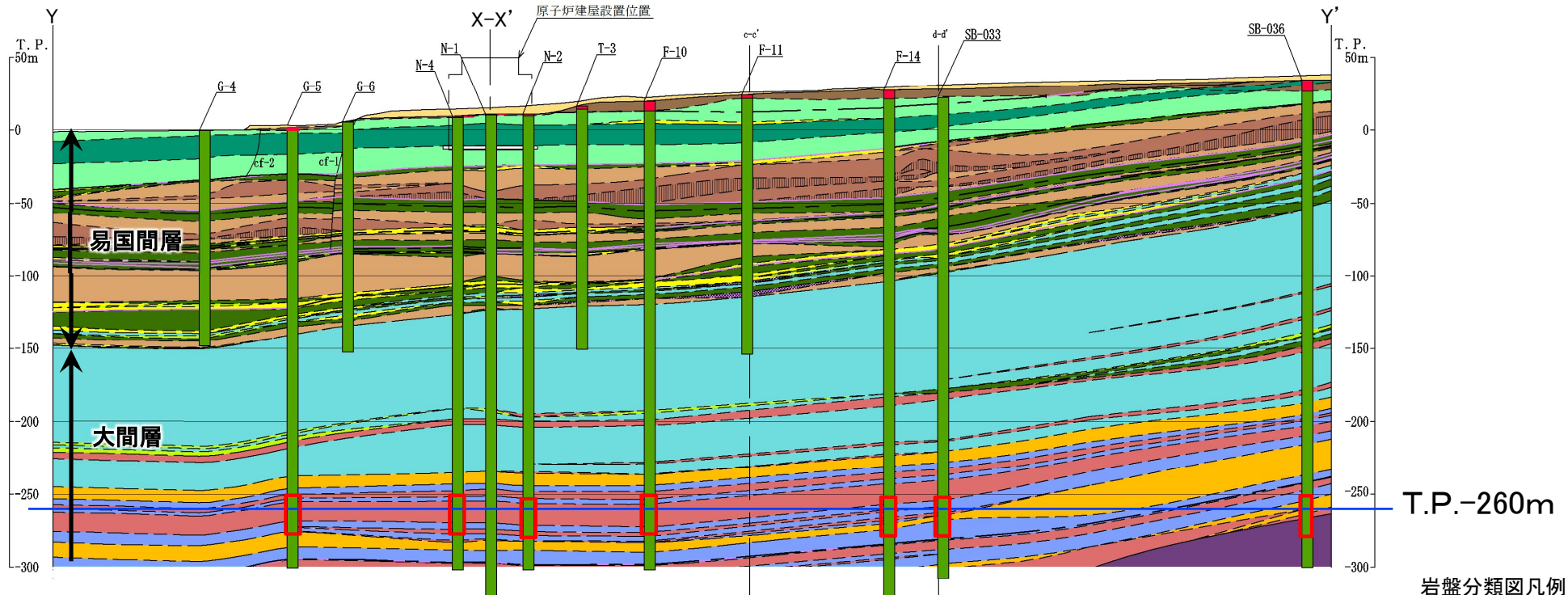


凡例 **I** : T.P.-260m

### 3.3.2 東西方向Y-Y' 断面のボーリング孔(1/8)

#### コア写真を示す対象のボーリング

コメントNo.S3-5

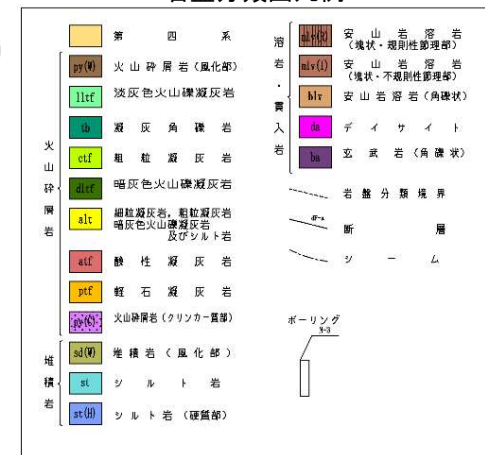


Y-Y' 断面

風化区分

| 凡例 | 風化区分 | 判定基準           |
|----|------|----------------|
| ■  | 風化   | 風化により褐色化しているもの |
| ■  | 新鮮   | 風化が認められないもの    |

岩盤分類図凡例

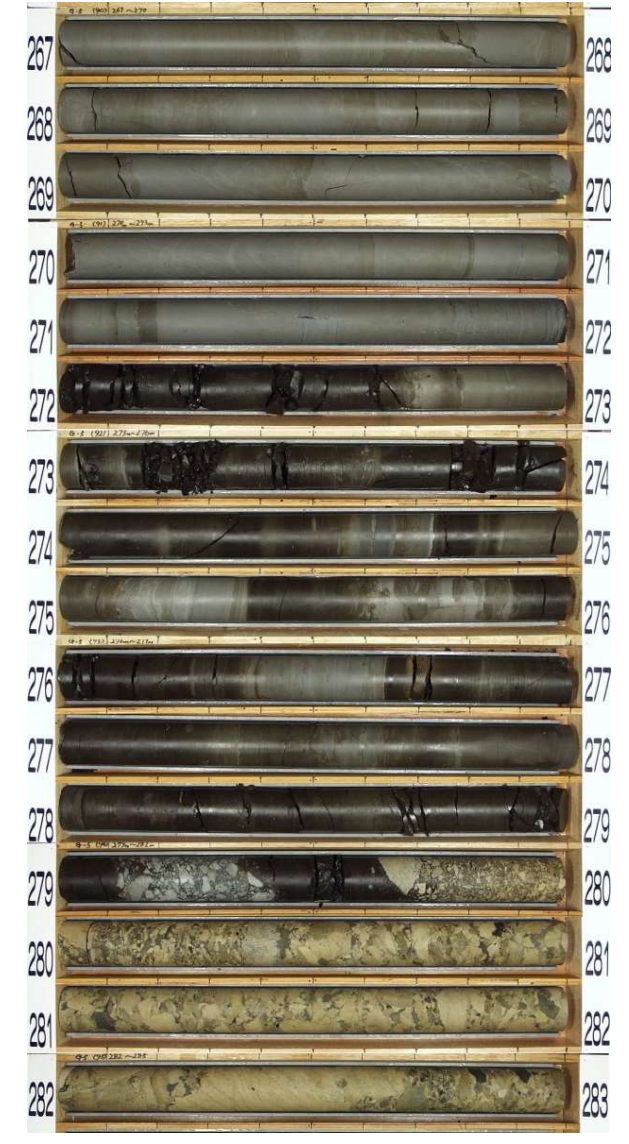
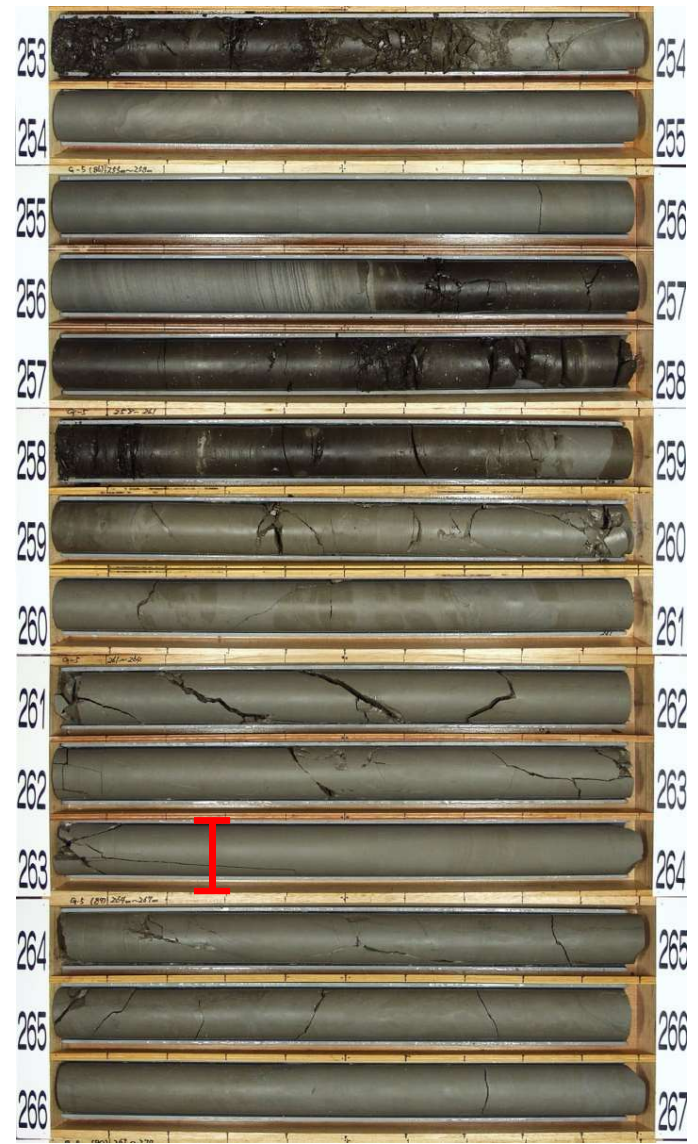


### 3.3.2 東西方向Y-Y' 断面のボーリング孔(2/8)

コメントNo.S3-5

G-5孔

T.P.-249.73m~T.P.-279.73m  
(深度253m~283m)



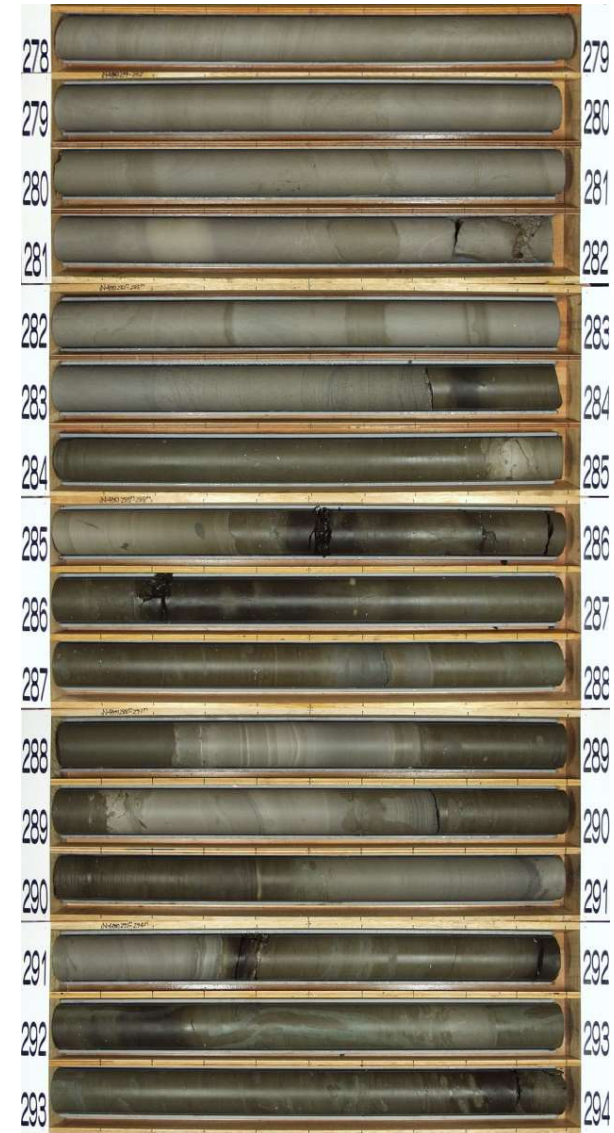
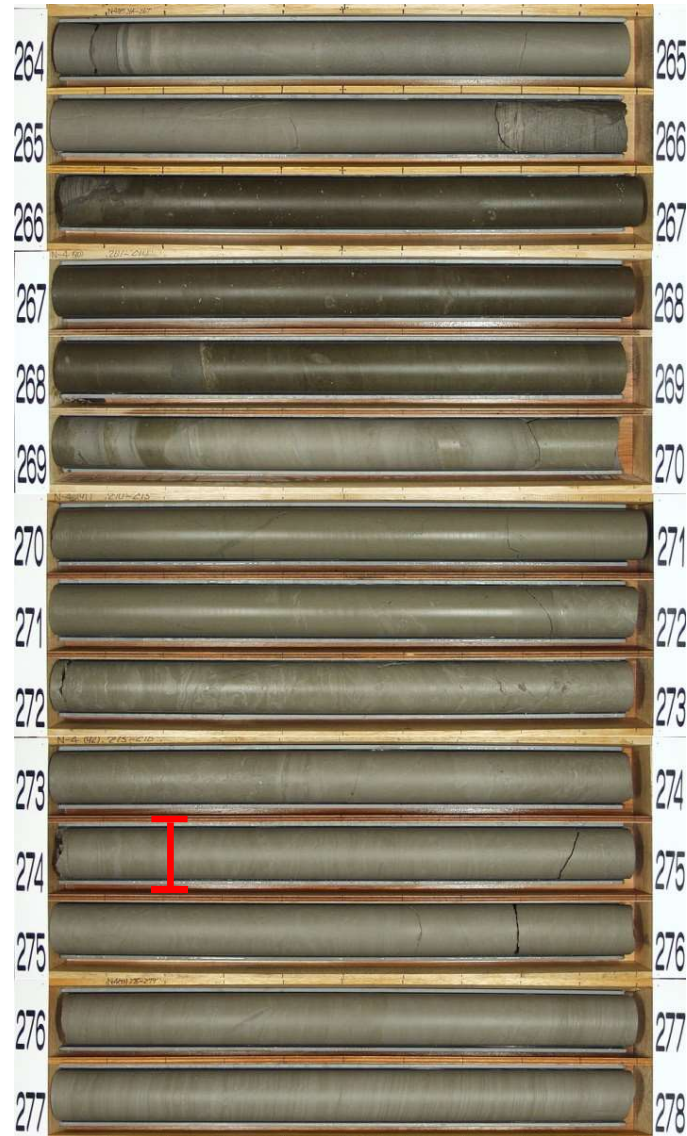
凡例 I : T.P.-260m



## 3.3.2 東西方向Y-Y' 断面のボーリング孔(3/8)

コメントNo.S3-5

N-4孔

T.P.-249.79m～T.P.-279.79m  
(深度264m～294m)

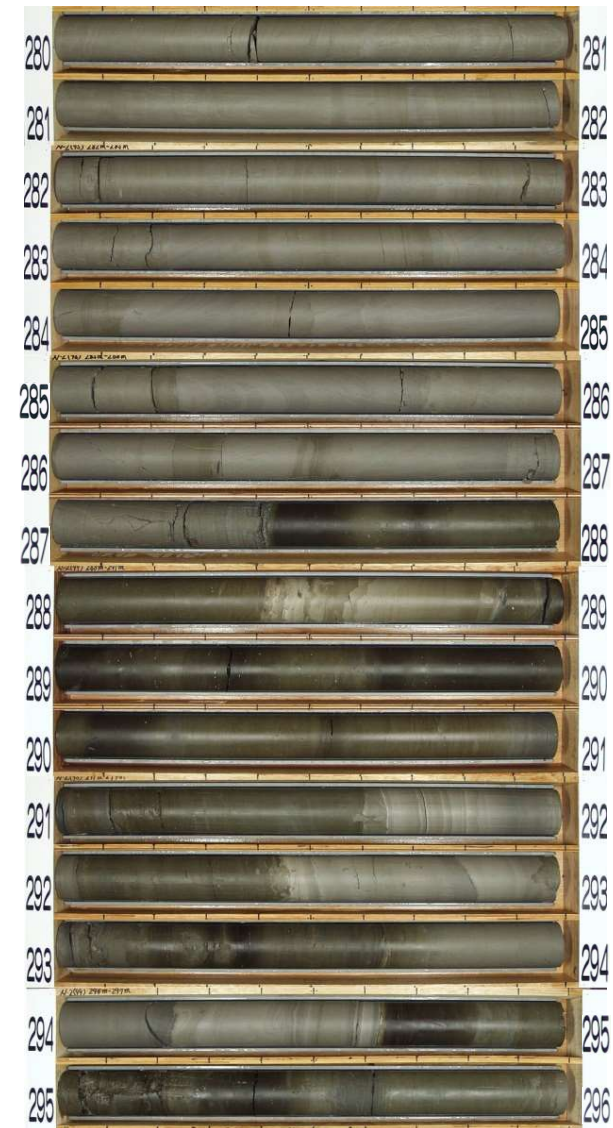
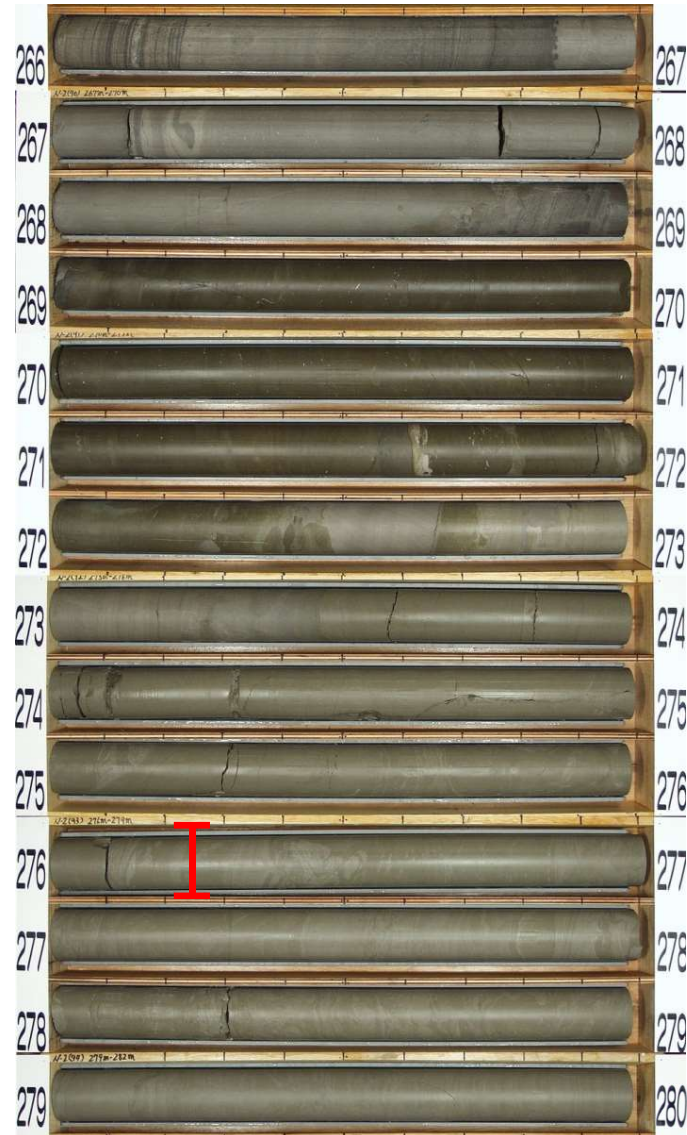
凡例 I : T.P.-260m

### 3.3.2 東西方向Y-Y' 断面のボーリング孔(4/8)

コメントNo.S3-5

N-2孔

T.P.-249.76m～T.P.-279.76m  
(深度266m～296m)



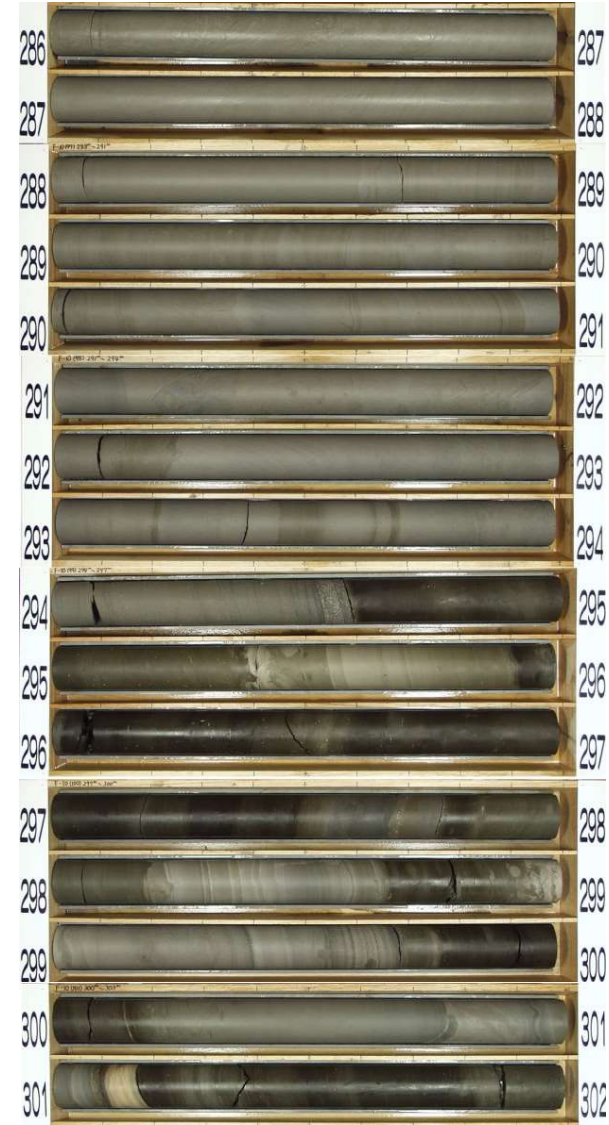
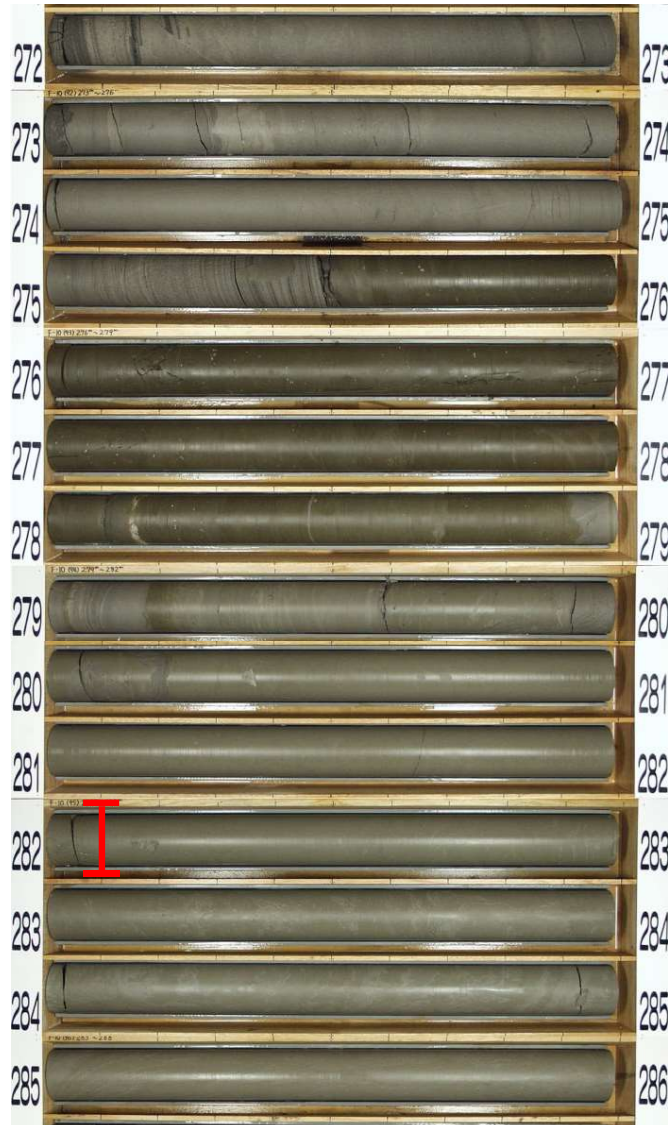
凡例 I : T.P.-260m

### 3.3.2 東西方向Y-Y' 断面のボーリング孔(5/8)

コメントNo.S3-5

F-10孔

T.P.-249.90m～T.P.-279.90m  
(深度272m～302m)



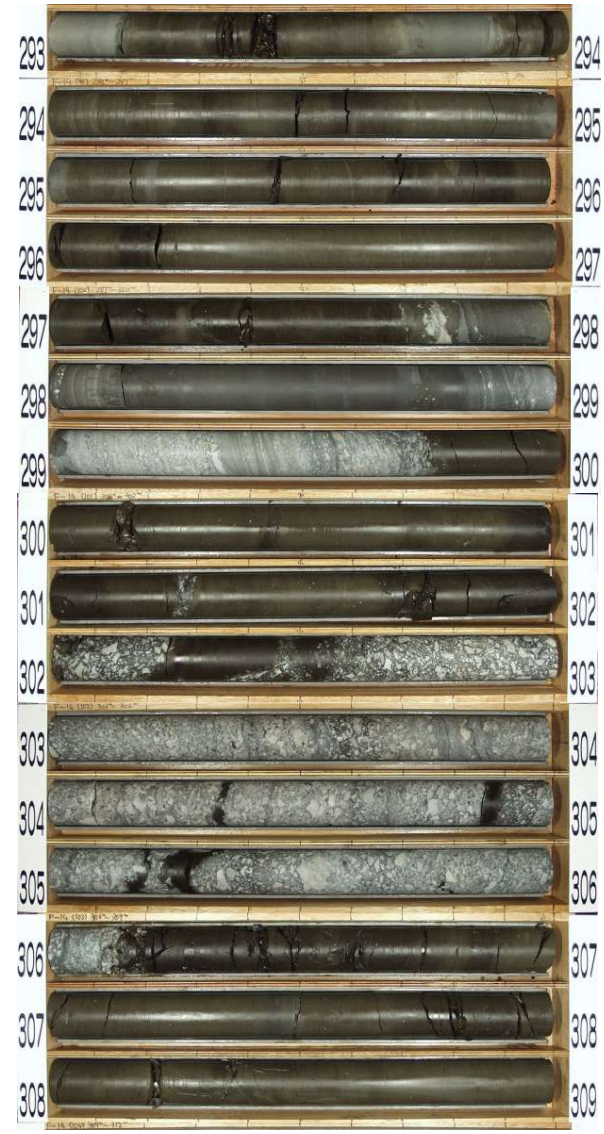
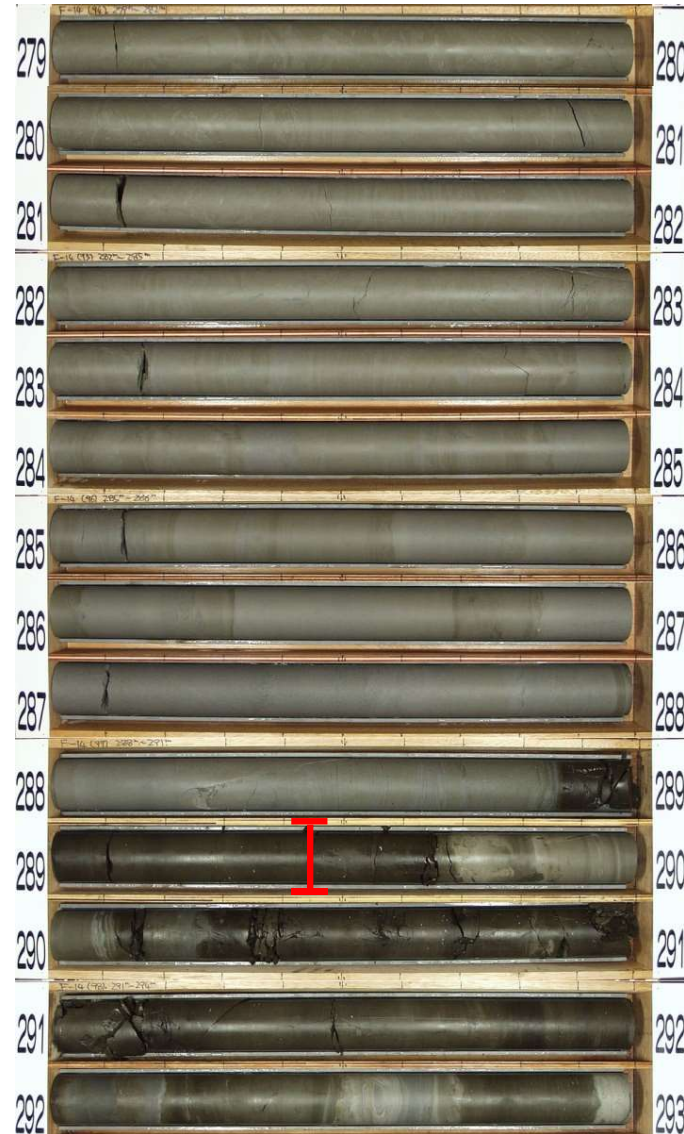
凡例 I : T.P.-260m

### 3.3.2 東西方向Y-Y' 断面のボーリング孔(6/8)

コメントNo.S3-5

F-14孔

T.P.-249.56m～T.P.-279.56m  
(深度279m～309m)



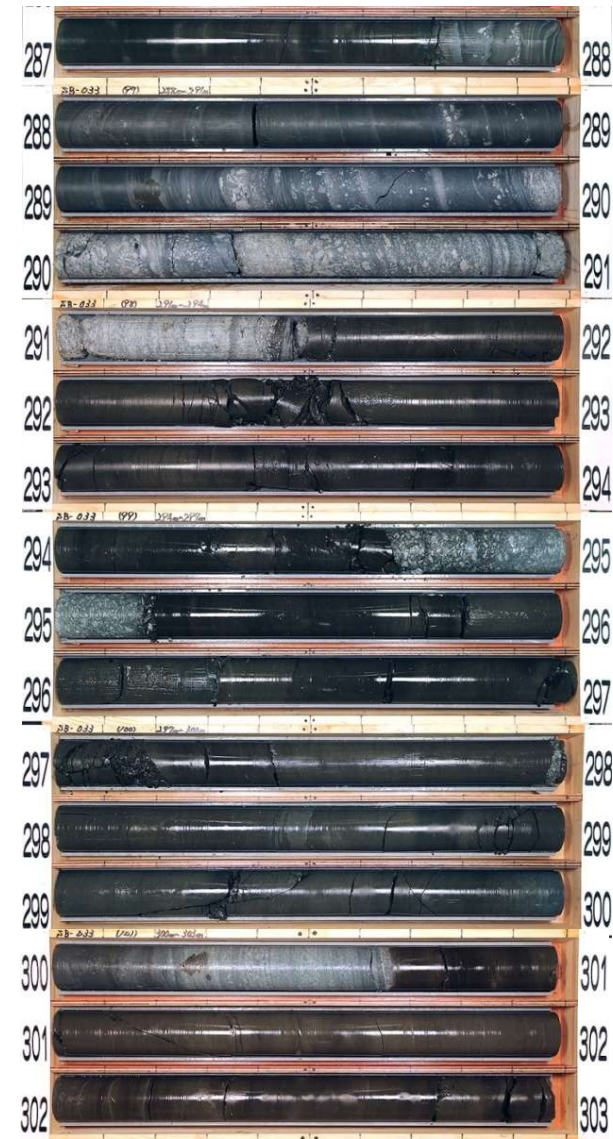
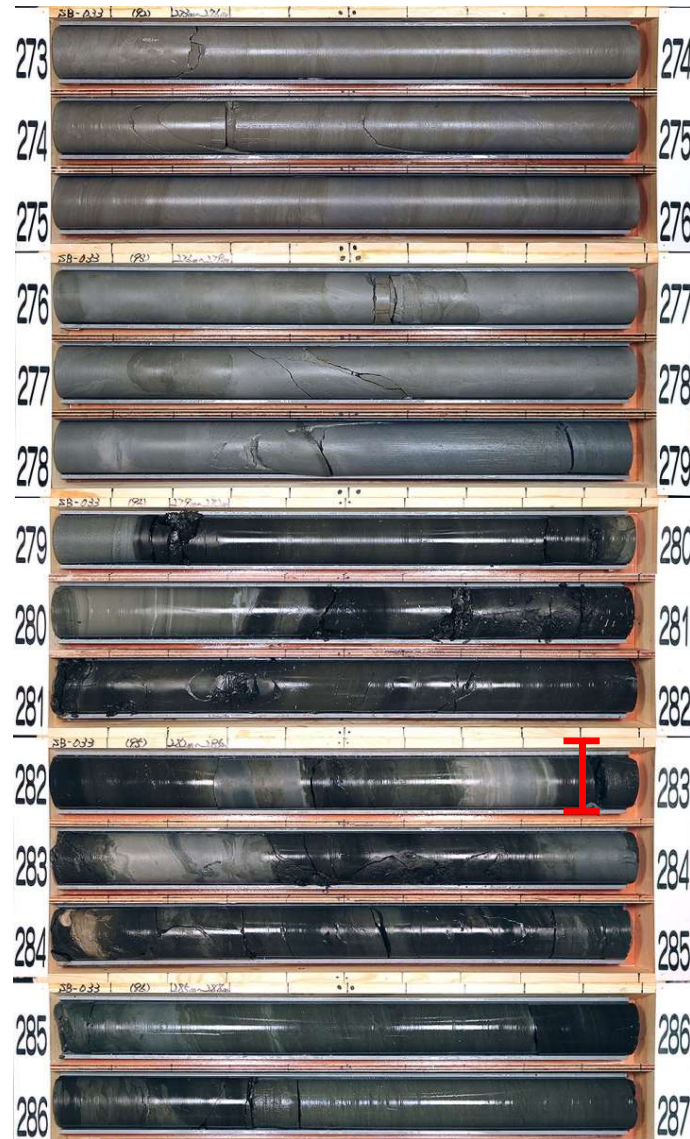
凡例 I : T.P.-260m

### 3.3.2 東西方向Y-Y' 断面のボーリング孔(7/8)

コメントNo.S3-5

SB-033孔

T.P.-250.10m～T.P.-280.10m  
(深度273m～303m)



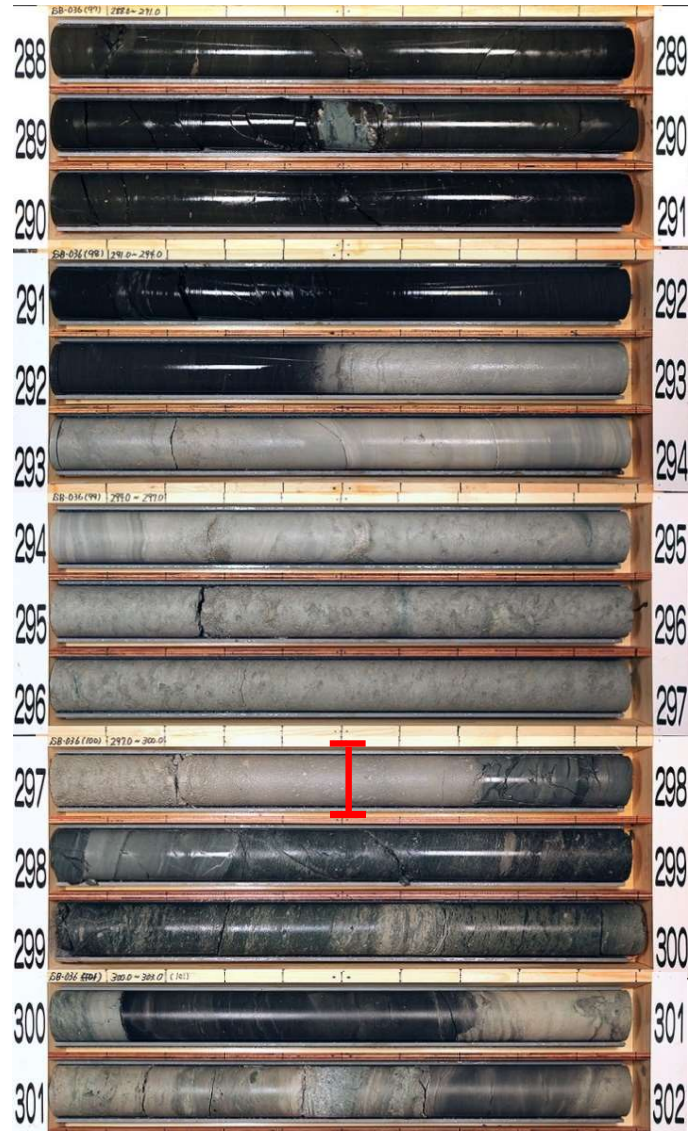
凡例 I : T.P.-260m

### 3.3.2 東西方向Y-Y' 断面のボーリング孔(8/8)

コメントNo.S3-5

SB-036孔

T.P.-250.49m～T.P.-280.49m  
(深度288m～318m)

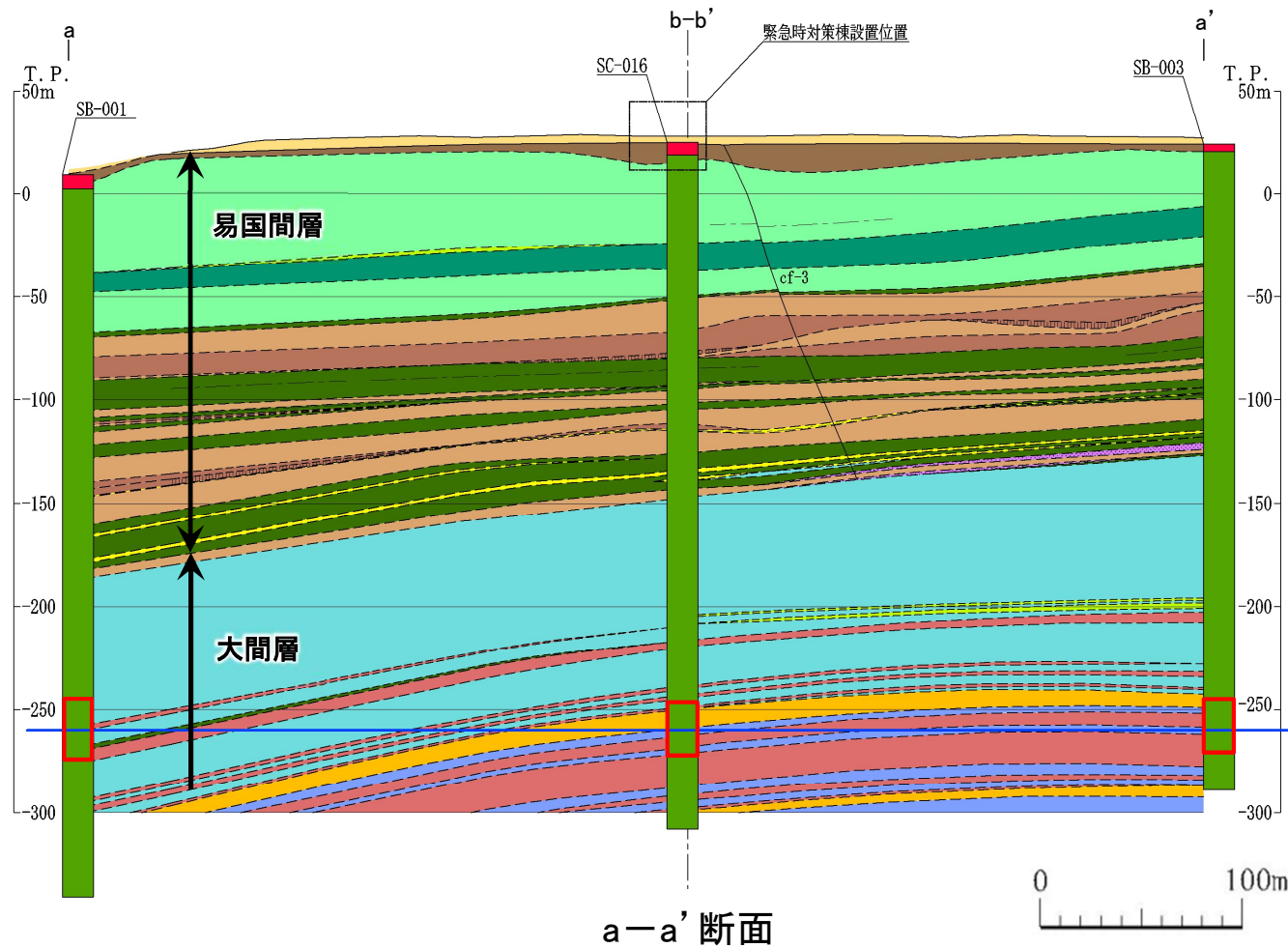


凡例 I : T.P.-260m

### 3.3.3 南北方向a-a'断面のボーリング孔(1/4)

コメントNo.S3-5

#### コア写真を示す対象のボーリング

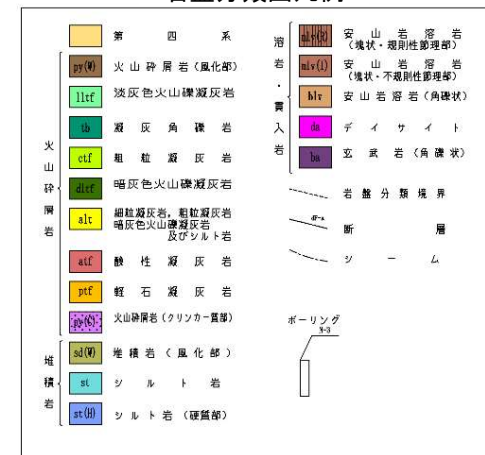


T.P.-260m

#### 風化区分

| 凡例 | 風化区分 | 判定基準           |
|----|------|----------------|
| ■  | 風化   | 風化により褐色化しているもの |
| ■  | 新鮮   | 風化が認められないもの    |

#### 岩盤分類図凡例

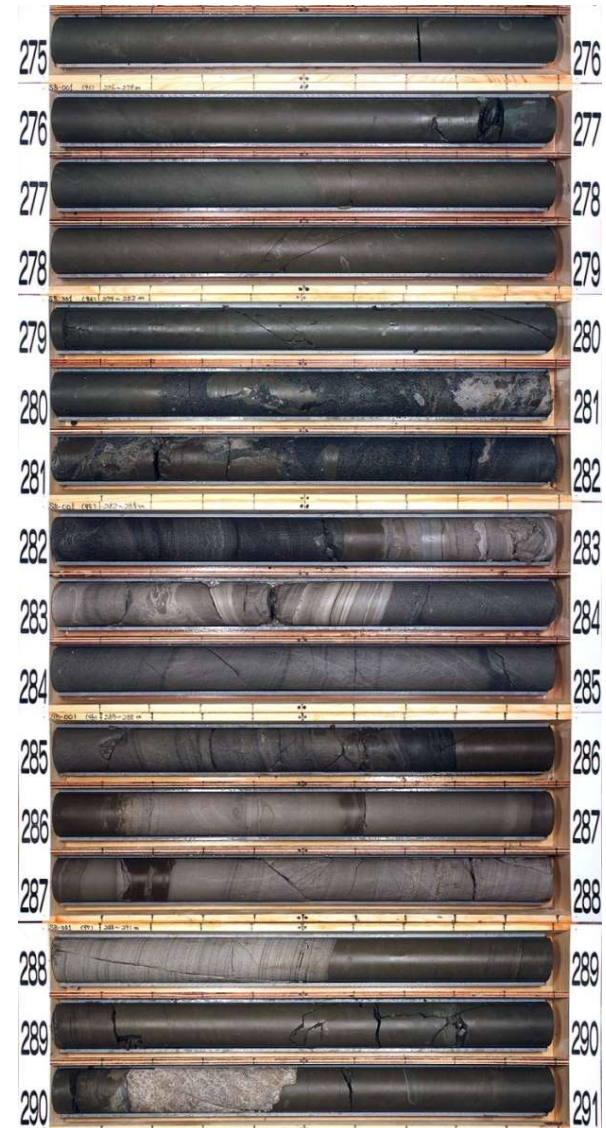
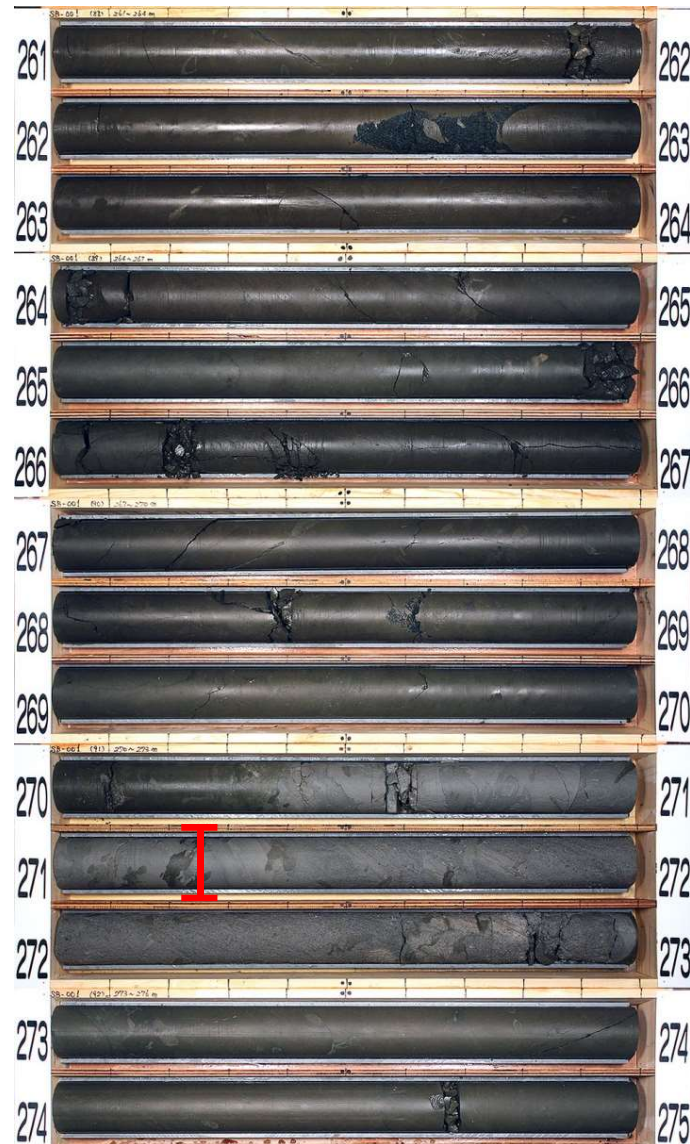


### 3.3.3 南北方向a-a'断面のボーリング孔(2/4)

コメントNo.S3-5

SB-001孔

T.P.-249.76m～T.P.-279.76m  
(深度261m～291m)



凡例 **I** : T.P.-260m

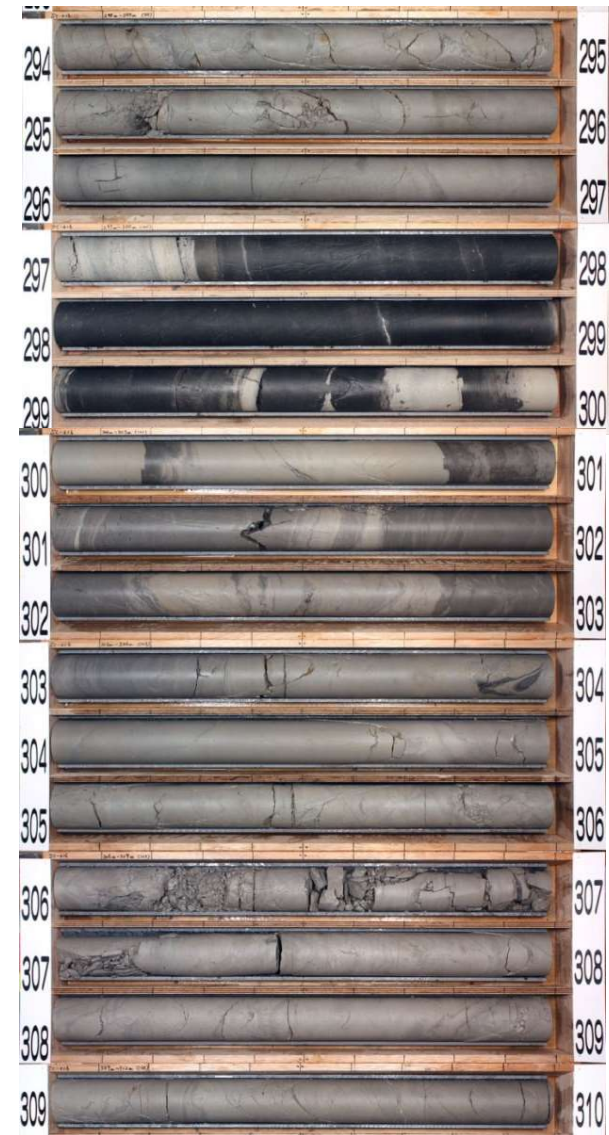
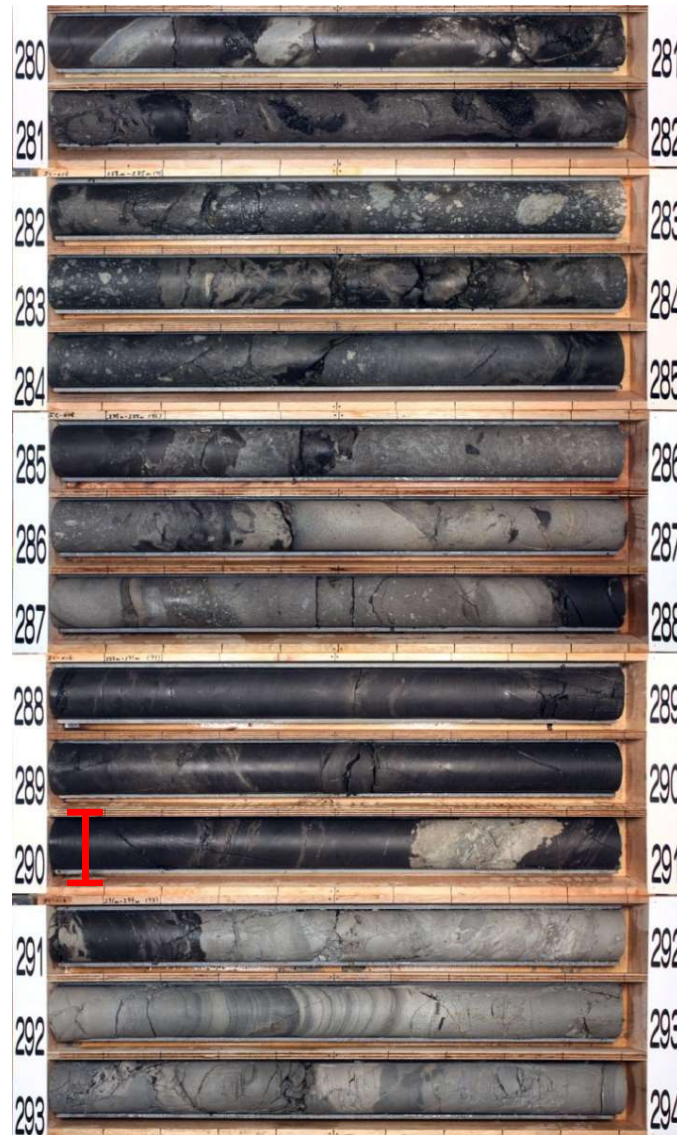


### 3.3.3 南北方向a-a'断面のボーリング孔(3/4)

コメントNo.S3-5

SC-016孔

T.P.-249.94m～T.P.-279.94m  
(深度280m～310m)

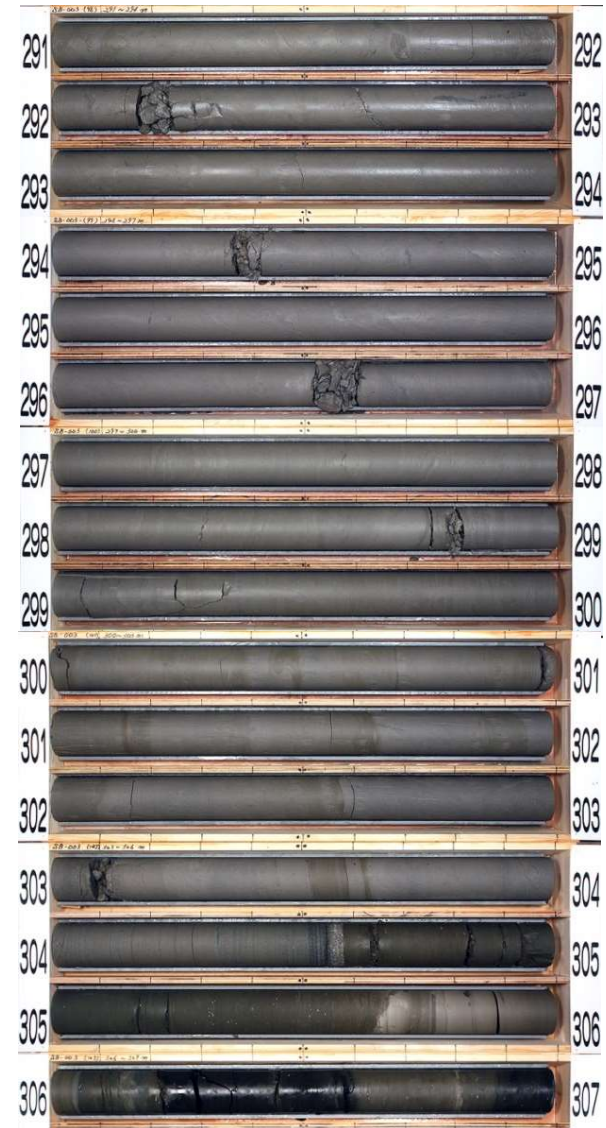
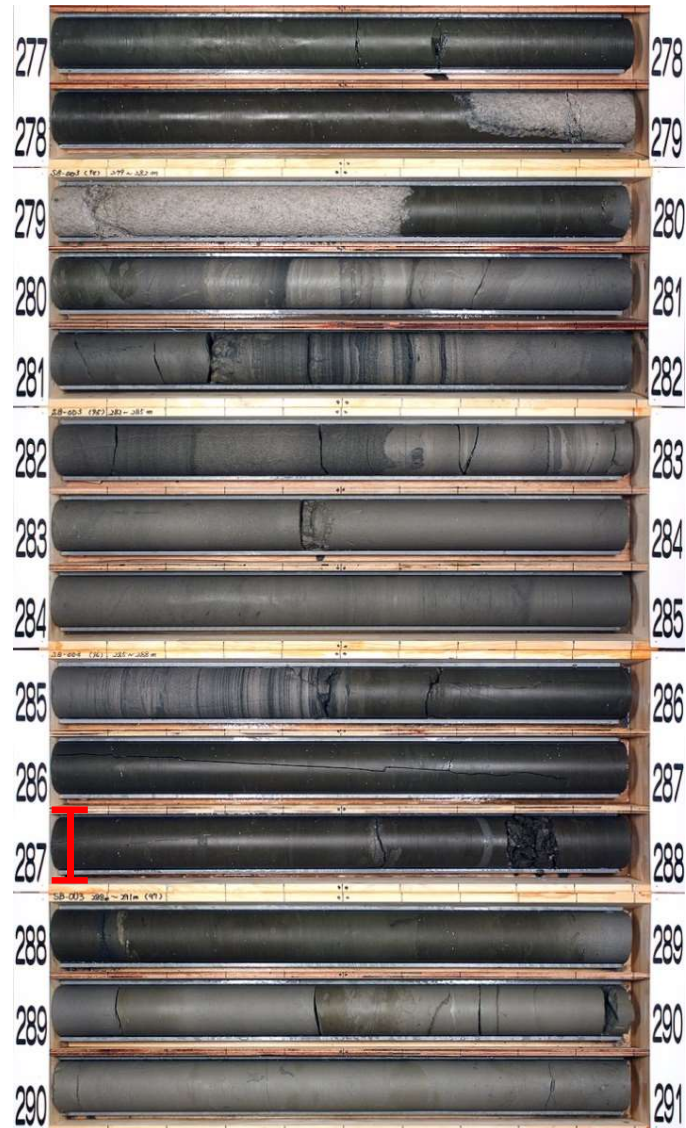


凡例 I : T.P.-260m

## 3.3.3 南北方向a-a'断面のボーリング孔(4/4)

コメントNo.S3-5

SB-003孔

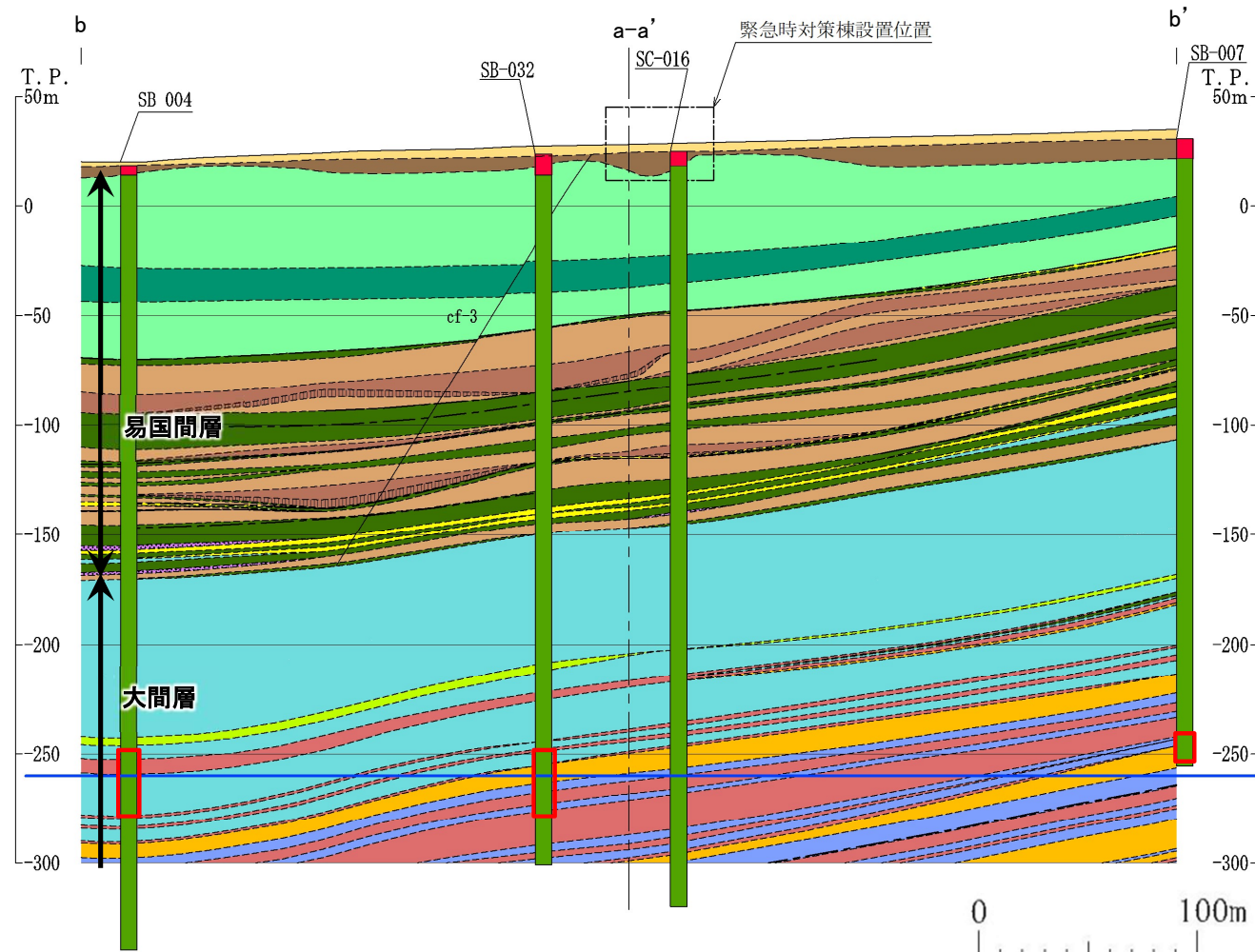
T.P.-249.97m～T.P.-279.97m  
(深度277m～307m)

凡例 I : T.P.-260m

### 3.3.4 東西方向b-b'断面のボーリング孔(1/4)

コメントNo.S3-5

#### コア写真を示す対象のボーリング

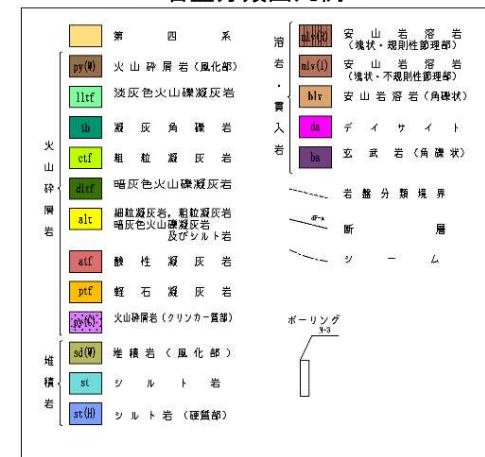


風化区分

| 凡例                                   | 風化区分 | 判定基準           |
|--------------------------------------|------|----------------|
| <span style="color: red;">■</span>   | 風化   | 風化により褐色化しているもの |
| <span style="color: green;">■</span> | 新鮮   | 風化が認められないもの    |

T.P.-260m

岩盤分類図凡例

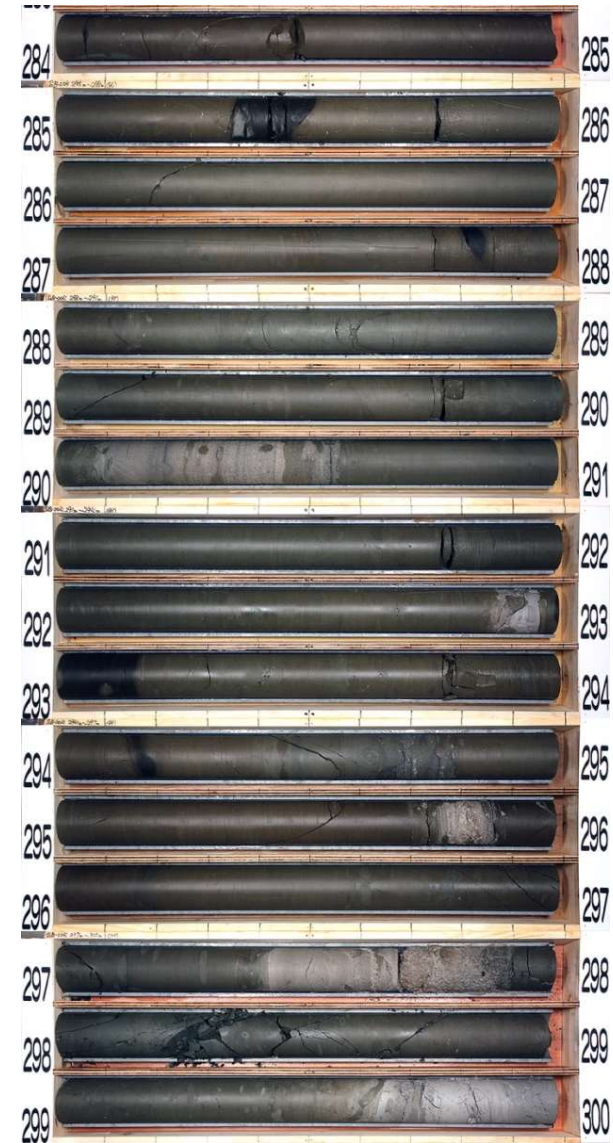
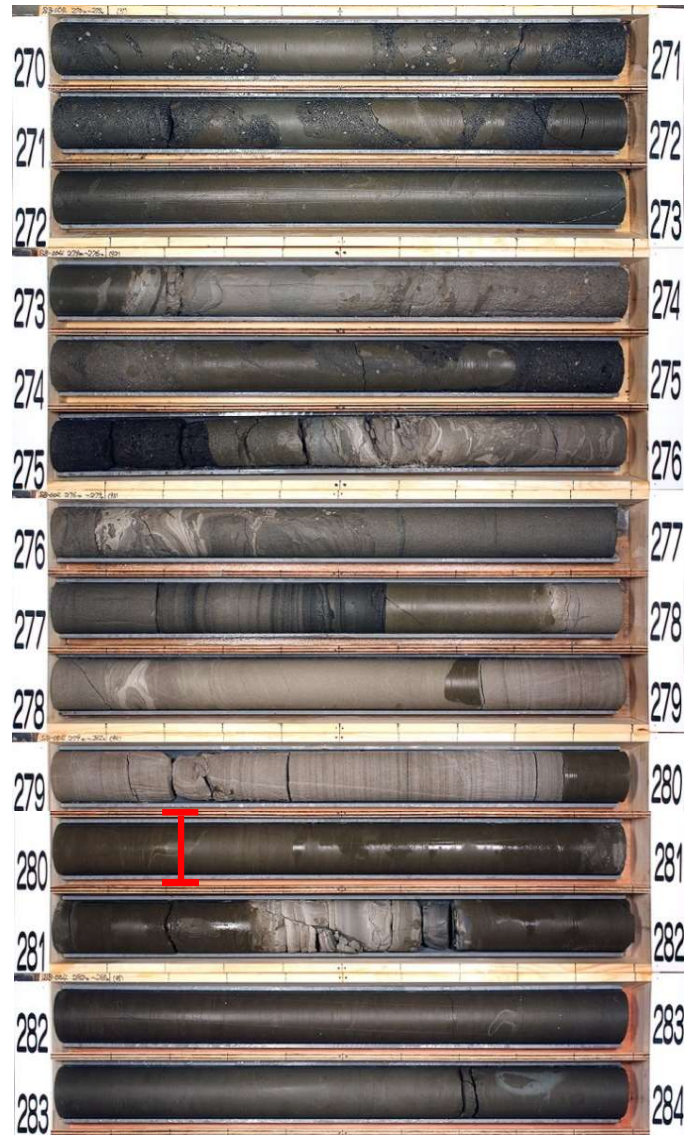


### 3.3.4 東西方向b-b' 断面のボーリング孔(2/4)

コメントNo.S3-5

SB-004孔

T.P.-249.77m～T.P.-279.77m  
(深度270m～300m)



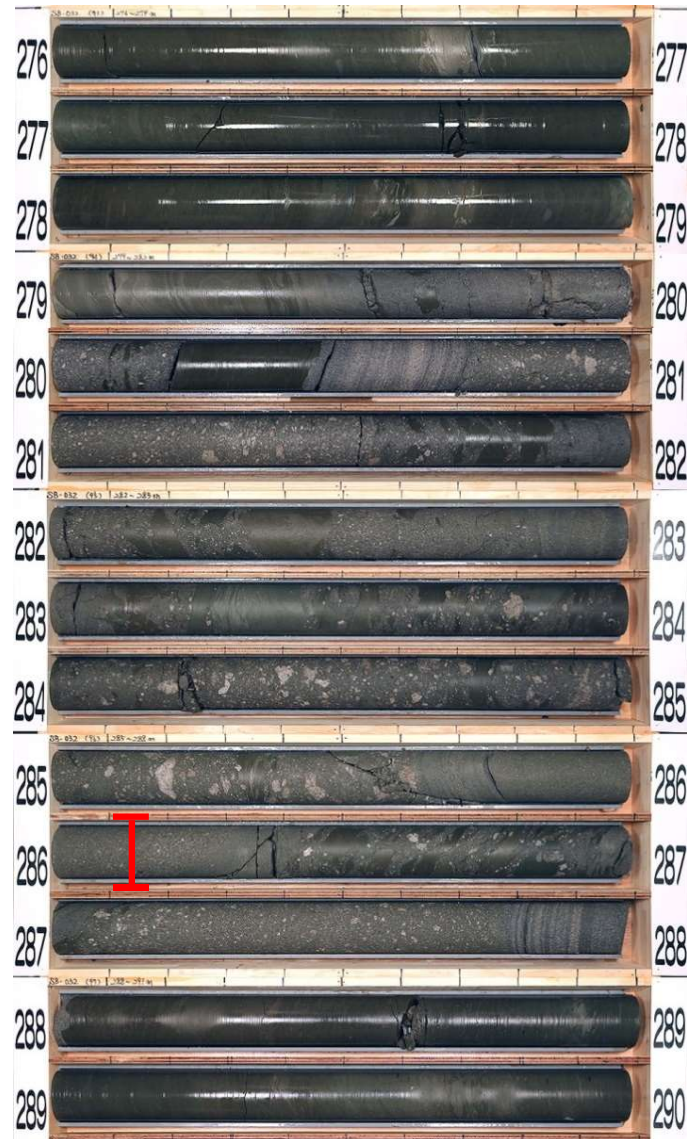
凡例 **I** : T.P.-260m

### 3.3.4 東西方向b-b'断面のボーリング孔(3/4)

コメントNo.S3-5

SB-032孔

T.P.-249.87m～T.P.-279.87m  
(深度276m～306m)



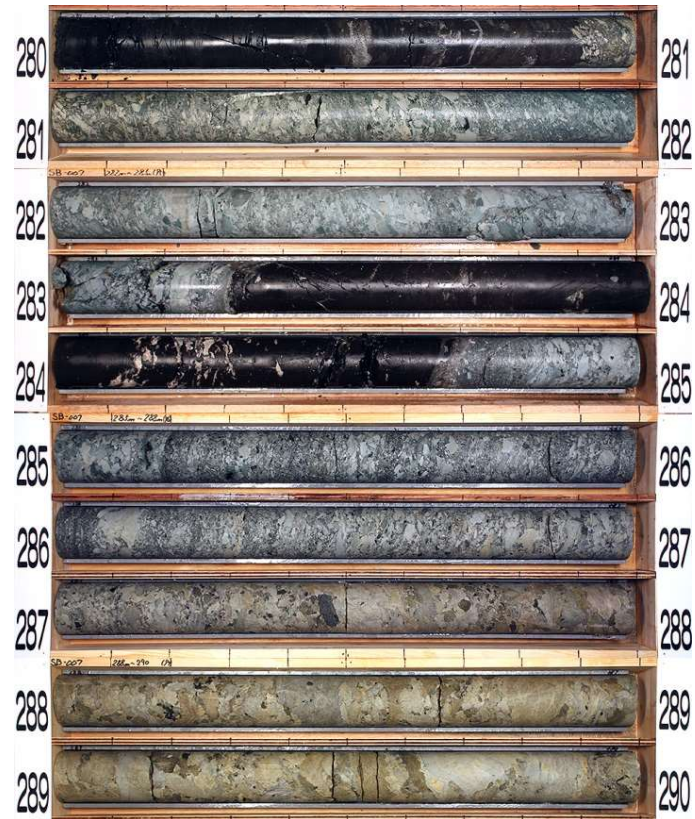
凡例 I : T.P.-260m

### 3.3.4 東西方向b-b' 断面のボーリング孔(4/4)

コメントNo.S3-5

SB-007孔

T.P.-245.50m～T.P.-255.50m  
(深度280m～290m)

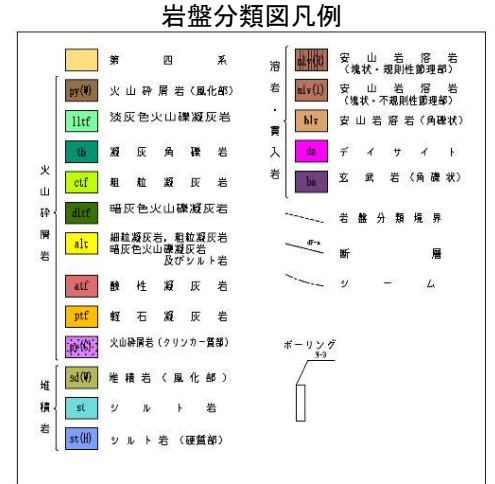
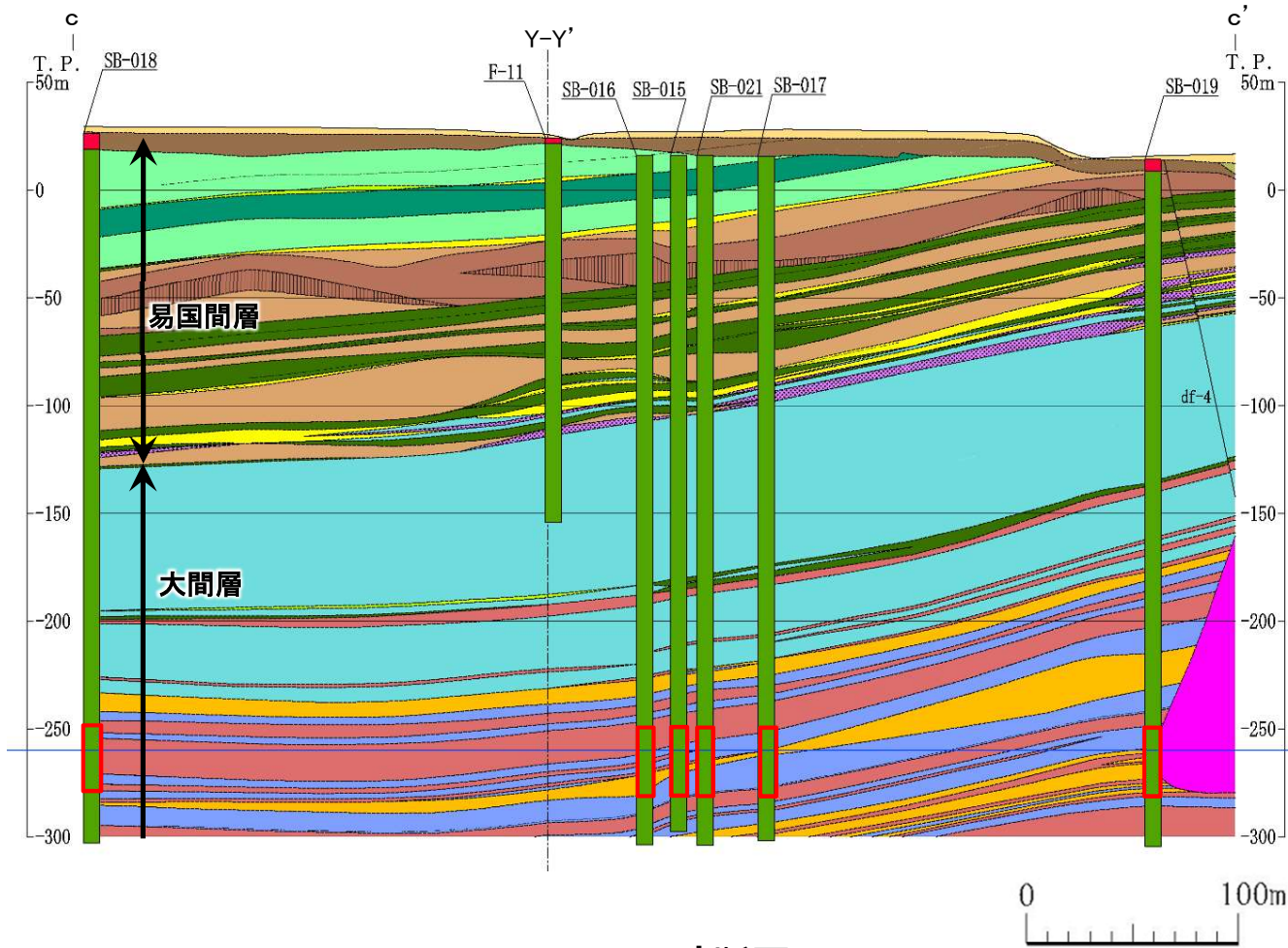


### 3.3.5 南北方向c-c' 断面のボーリング孔(1/7)



コア写真を示す対象のボーリング

コメントNo.S3-5



T.P.-260m

風化区分 c-c' 断面

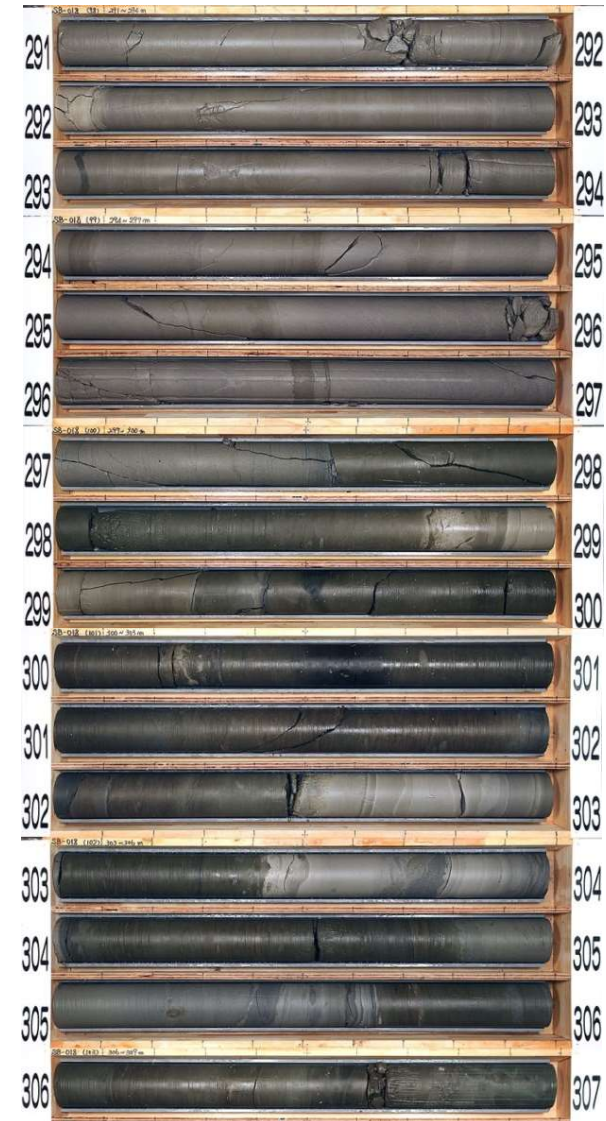
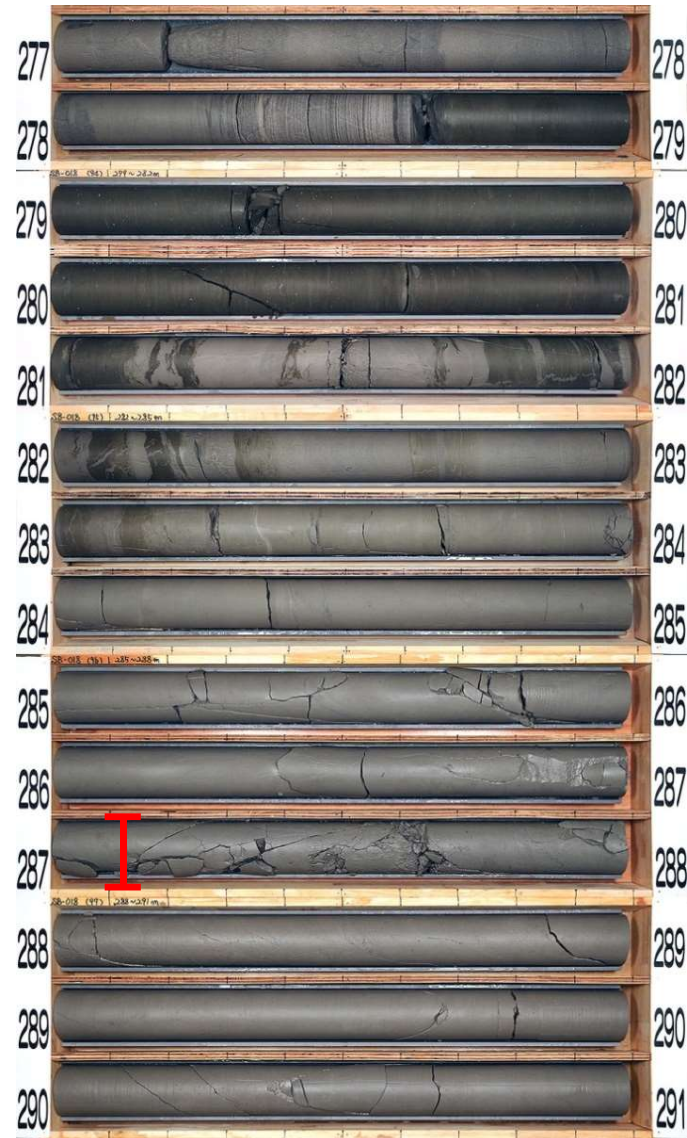
| 凡例 | 風化区分 | 判定基準           |
|----|------|----------------|
| ■  | 風化   | 風化により褐色化しているもの |
| ■  | 新鮮   | 風化が認められないもの    |

### 3.3.5 南北方向c-c'断面のボーリング孔(2/7)

コメントNo.S3-5

SB-018孔

T.P.-249.88m～T.P.-279.88m  
(深度277m～307m)



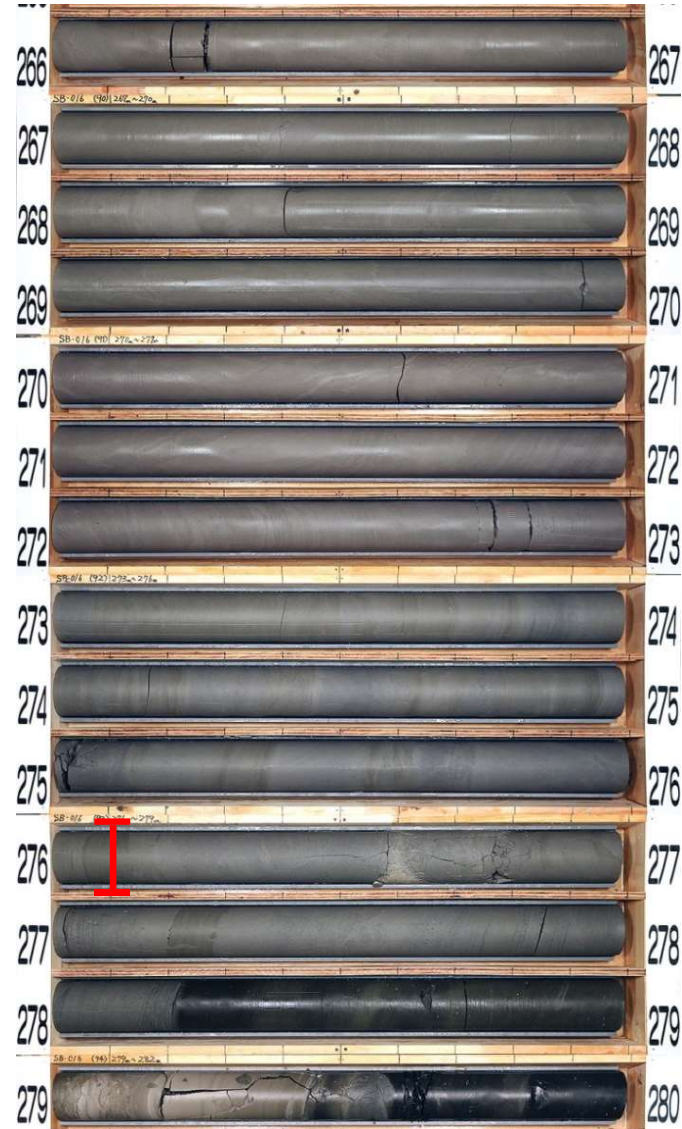
凡例 I : T.P.-260m



## 3.3.5 南北方向c-c'断面のボーリング孔(3/7)

コメントNo.S3-5

SB-016孔

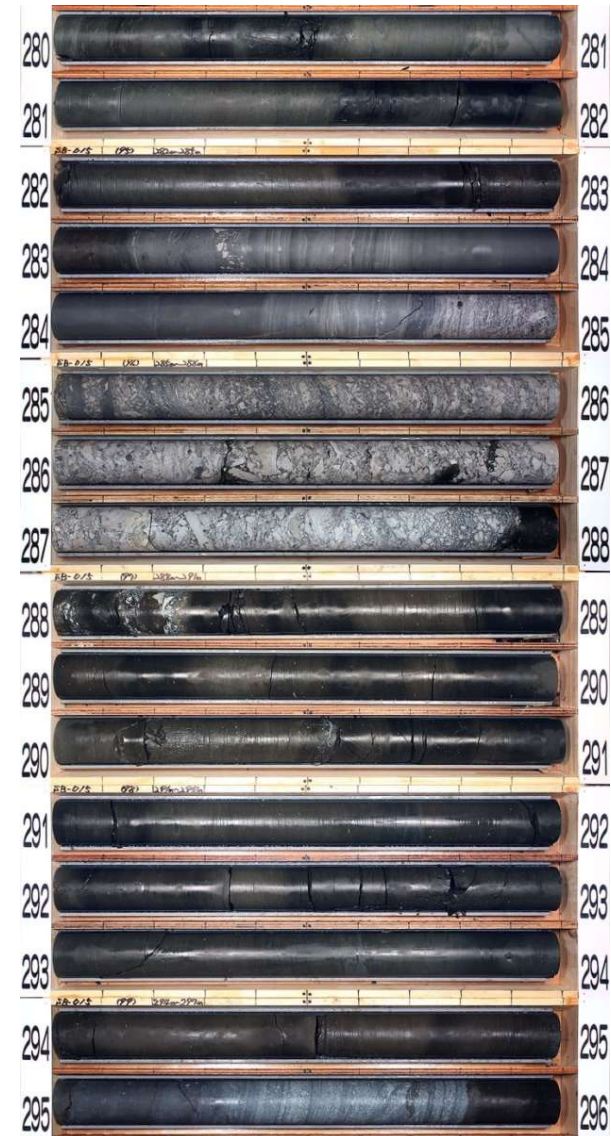
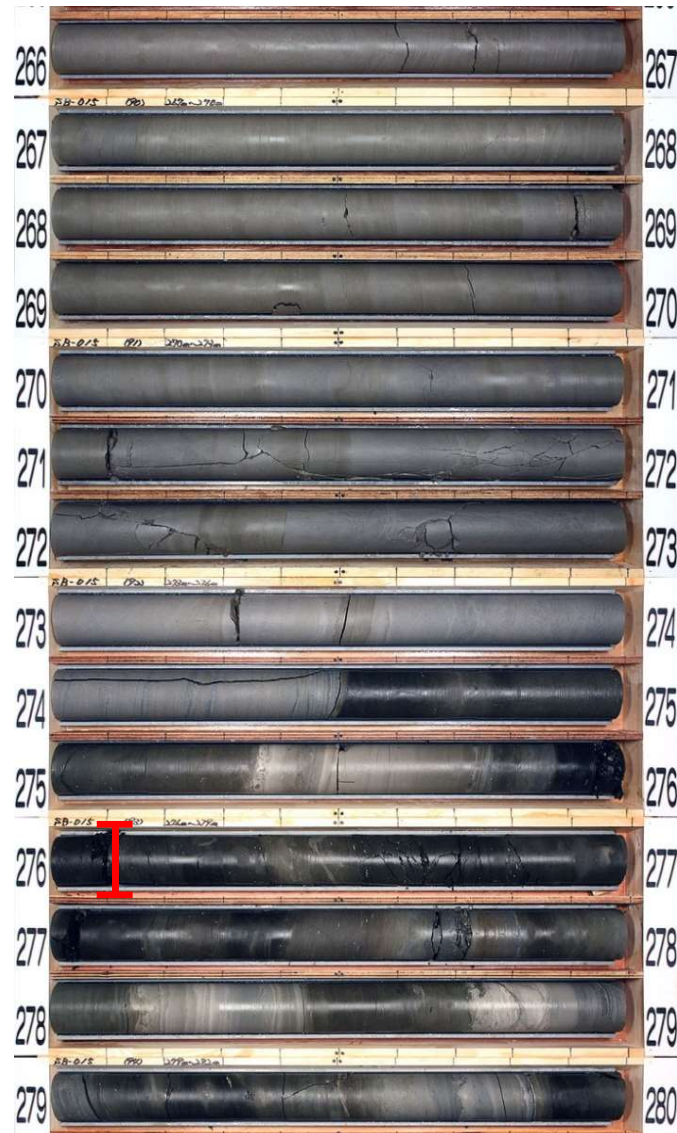
T.P.-249.90m～T.P.-279.90m  
(深度266m～296m)

凡例 I : T.P.-260m

## 3.3.5 南北方向c-c'断面のボーリング孔(4/7)

コメントNo.S3-5

SB-015孔

T.P.-249.89m～T.P.-279.89m  
(深度266m～296m)

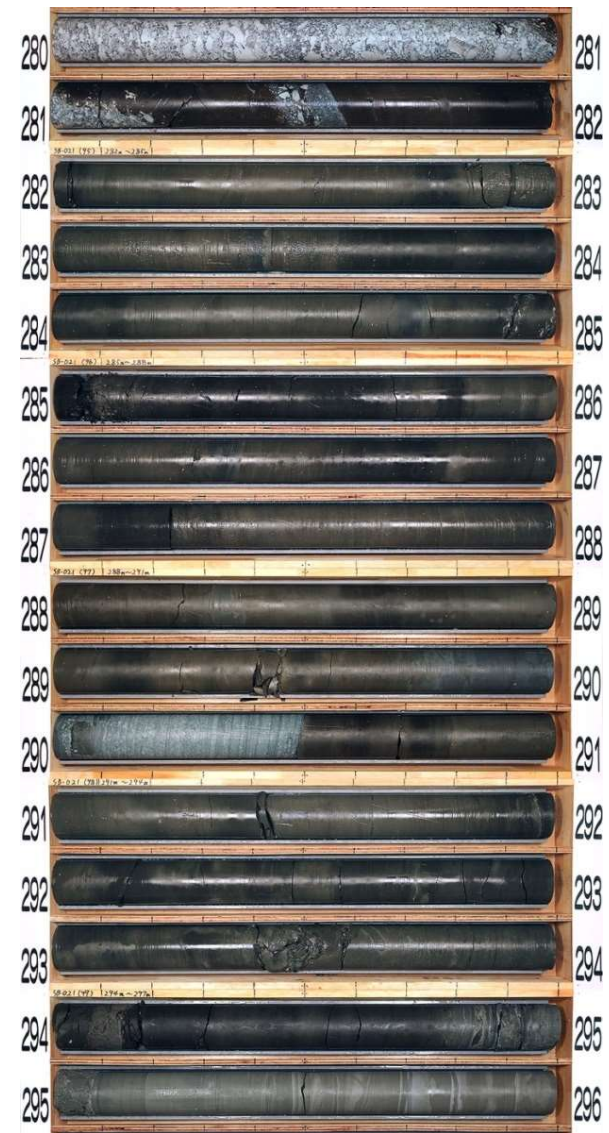
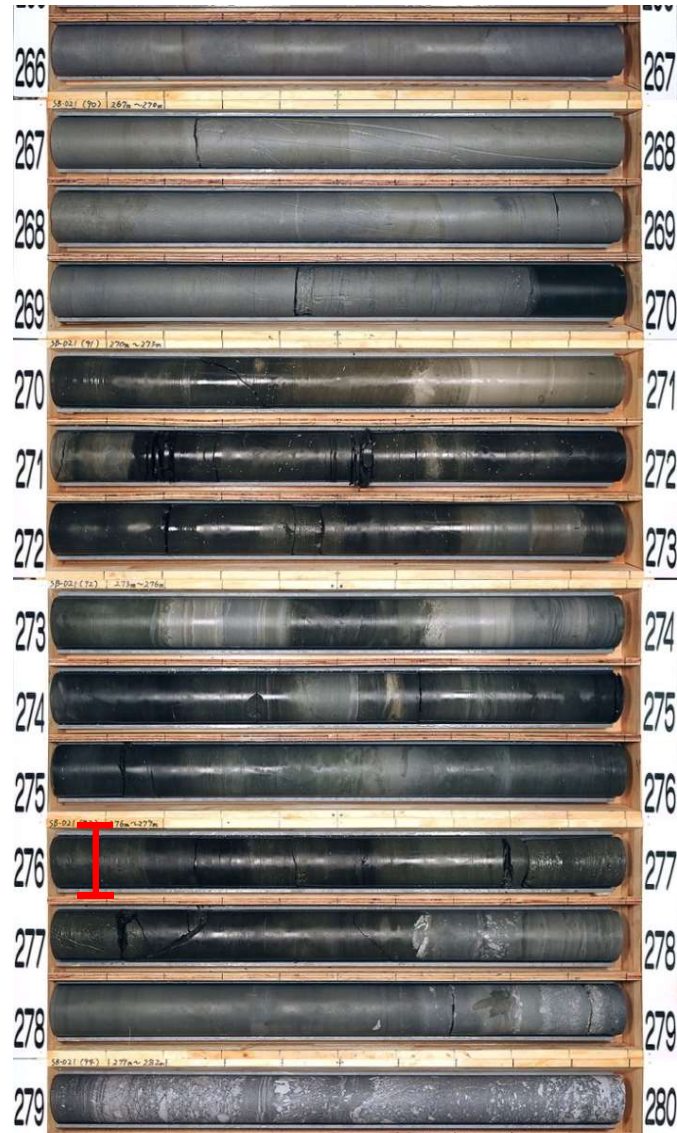
凡例 I : T.P.-260m

### 3.3.5 南北方向c-c'断面のボーリング孔(5/7)

コメントNo.S3-5

SB-021孔

T.P.-249.92m～T.P.-279.92m  
(深度266m～296m)

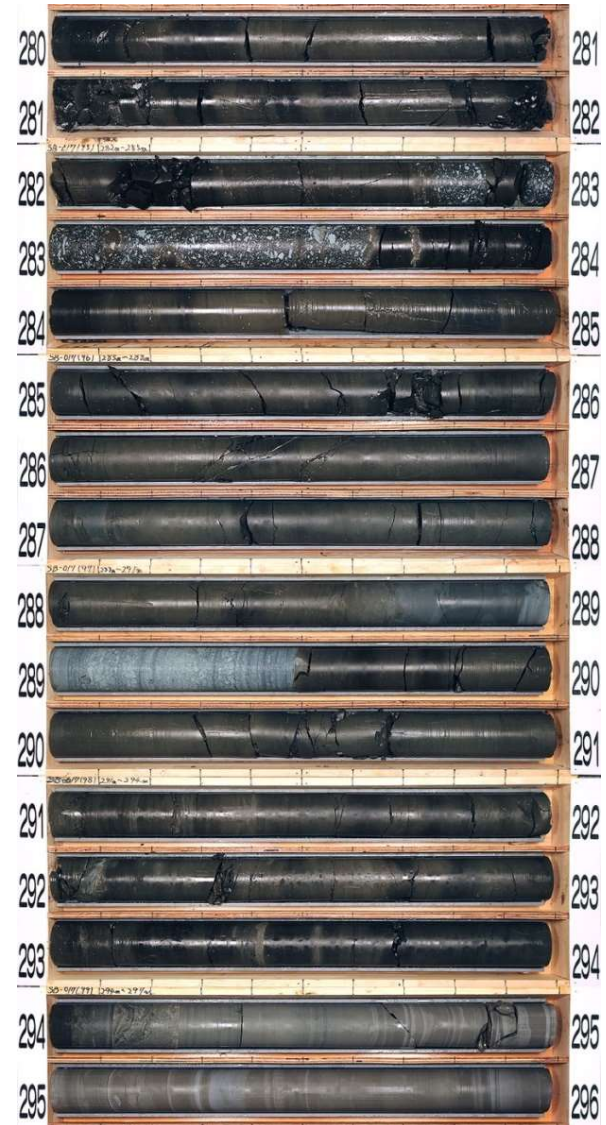


凡例 I : T.P.-260m

## 3.3.5 南北方向c-c'断面のボーリング孔(6/7)

コメントNo.S3-5

SB-017孔

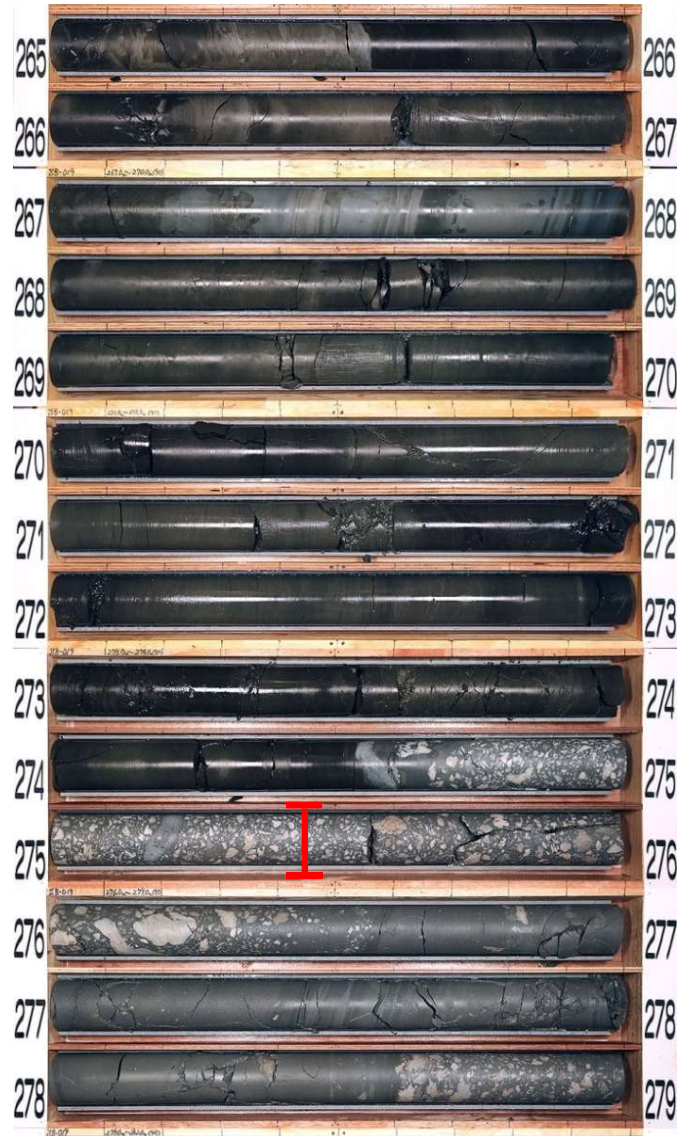
T.P.-249.93m～T.P.-279.93m  
(深度266m～296m)

凡例 I : T.P.-260m

## 3.3.5 南北方向c-c'断面のボーリング孔(7/7)

コメントNo.S3-5

SB-019孔

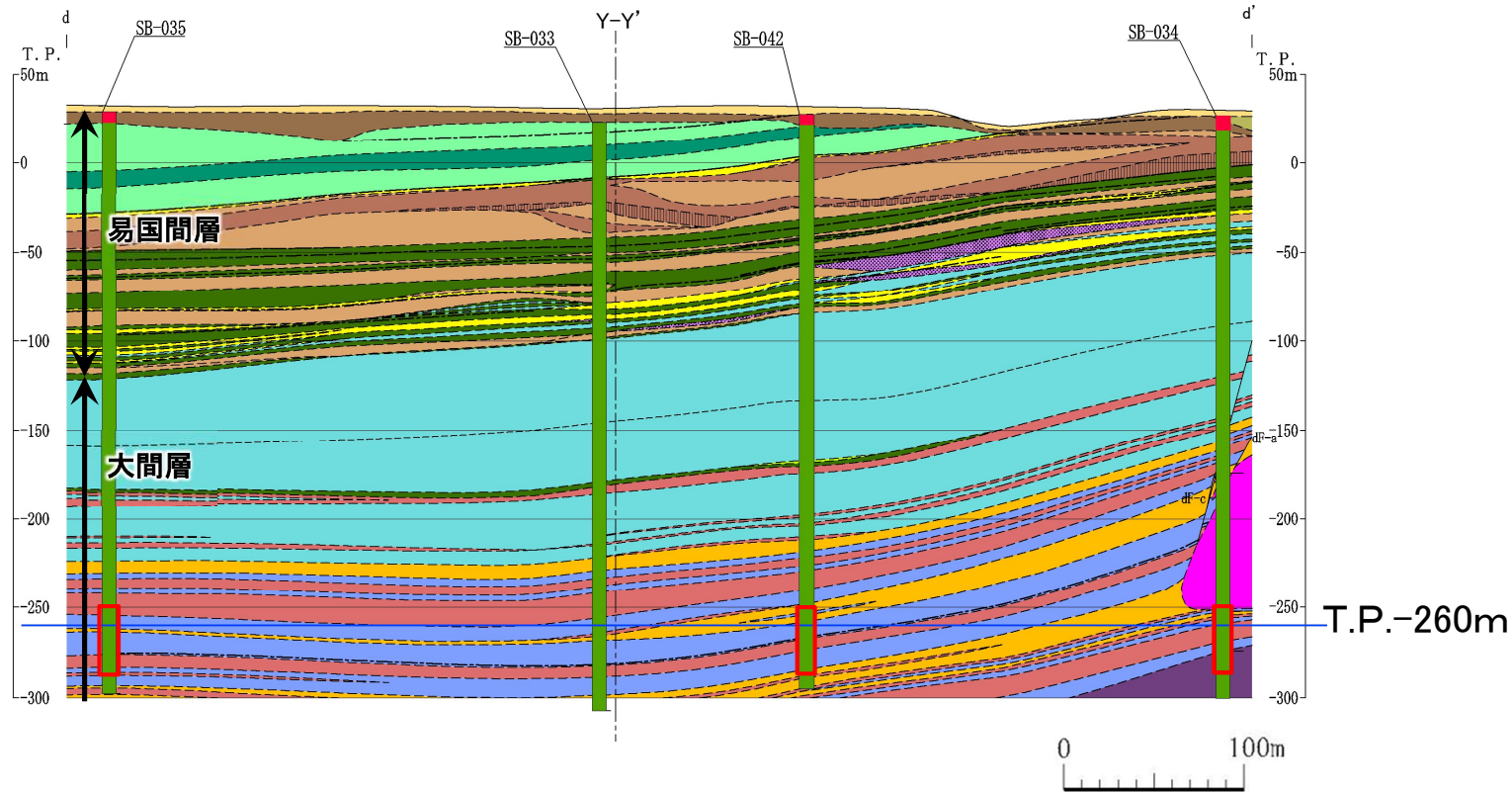
T.P.-249.56m～T.P.-279.56m  
(深度265m～295m)

凡例 I : T.P.-260m

### 3.3.6 南北方向d-d'断面のボーリング孔(1/4)

コア写真を示す対象のボーリング

コメントNo.S3-5

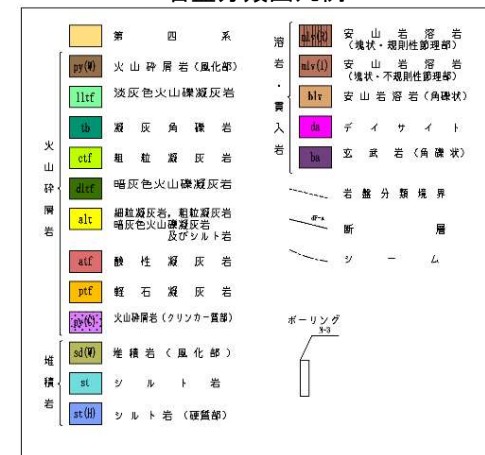


d-d' 断面

#### 風化区分

| 凡例                                   | 風化区分 | 判定基準           |
|--------------------------------------|------|----------------|
| <span style="color: red;">■</span>   | 風化   | 風化により褐色化しているもの |
| <span style="color: green;">■</span> | 新鮮   | 風化が認められないもの    |

#### 岩盤分類図凡例

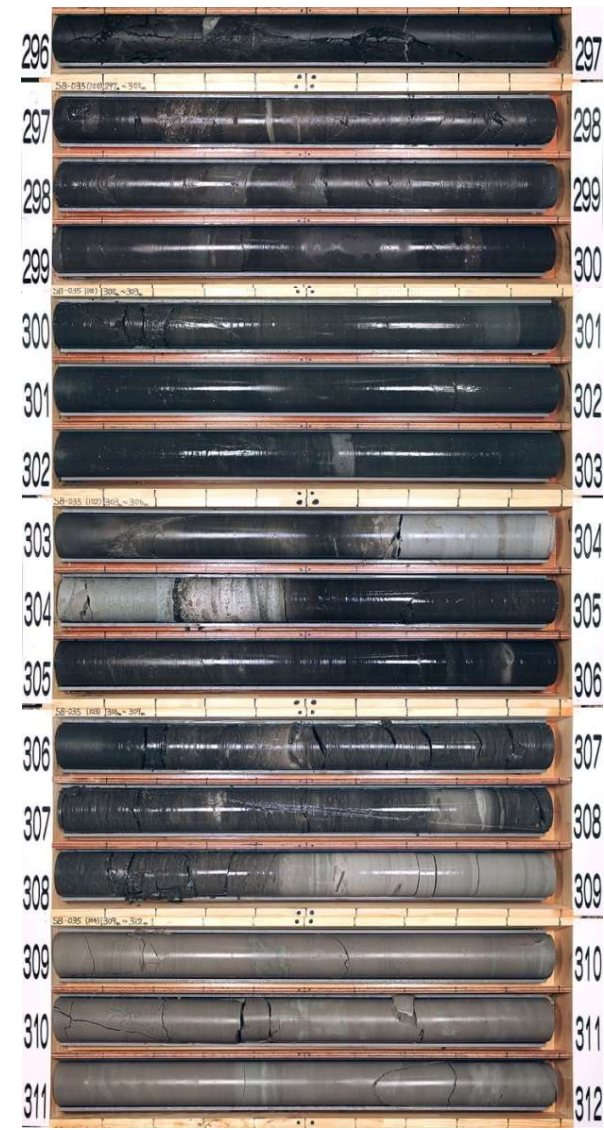
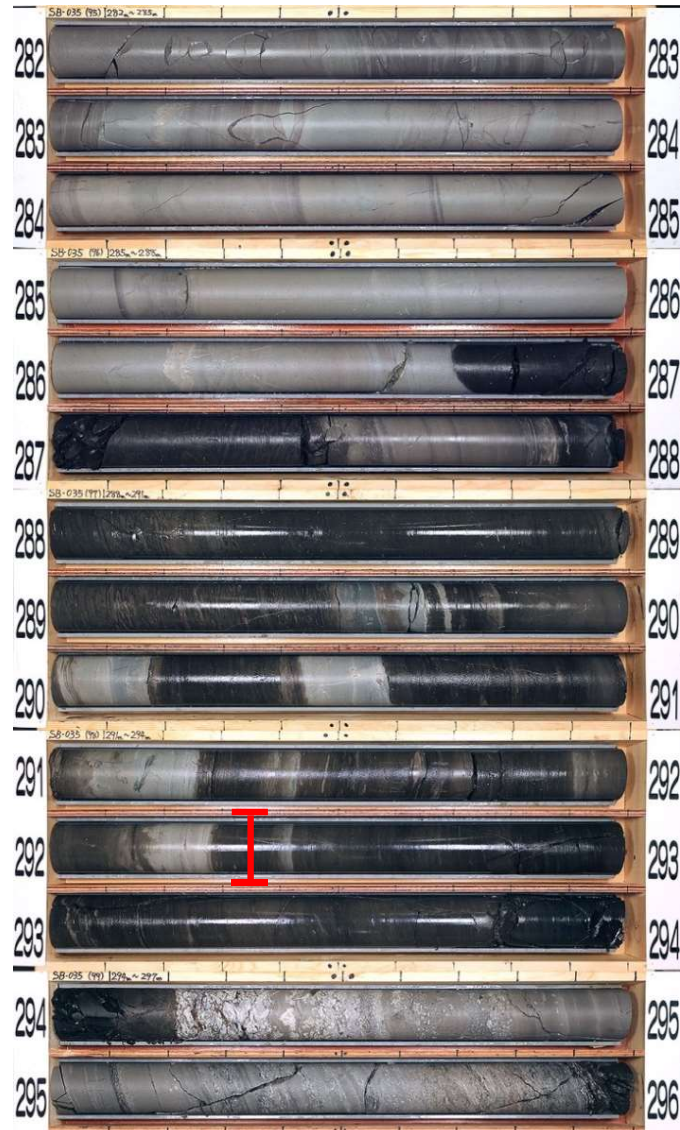


### 3.3.6 南北方向d-d'断面のボーリング孔(2/4)

コメントNo.S3-5

SB-035孔

T.P.-249.66m～T.P.-279.66m  
(深度282m～312m)



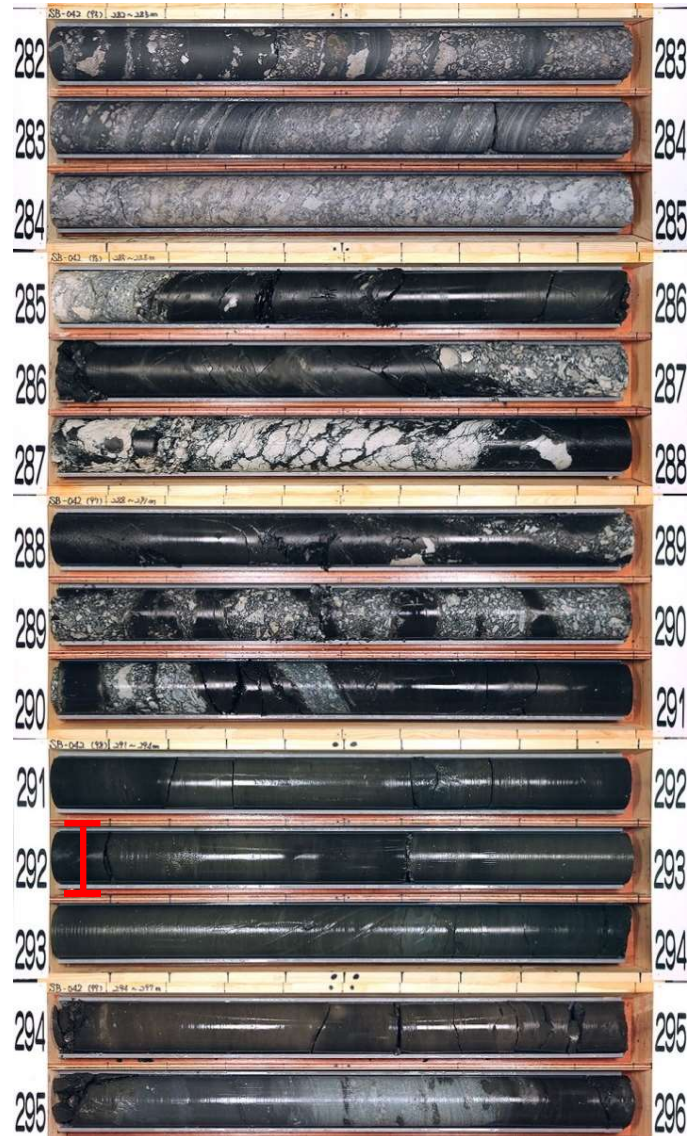
凡例 I : T.P.-260m

### 3.3.6 南北方向d-d'断面のボーリング孔(3/4)

コメントNo.S3-5

SB-042孔

T.P.-249.95m～T.P.-279.95m  
(深度282m～312m)



凡例 I : T.P.-260m

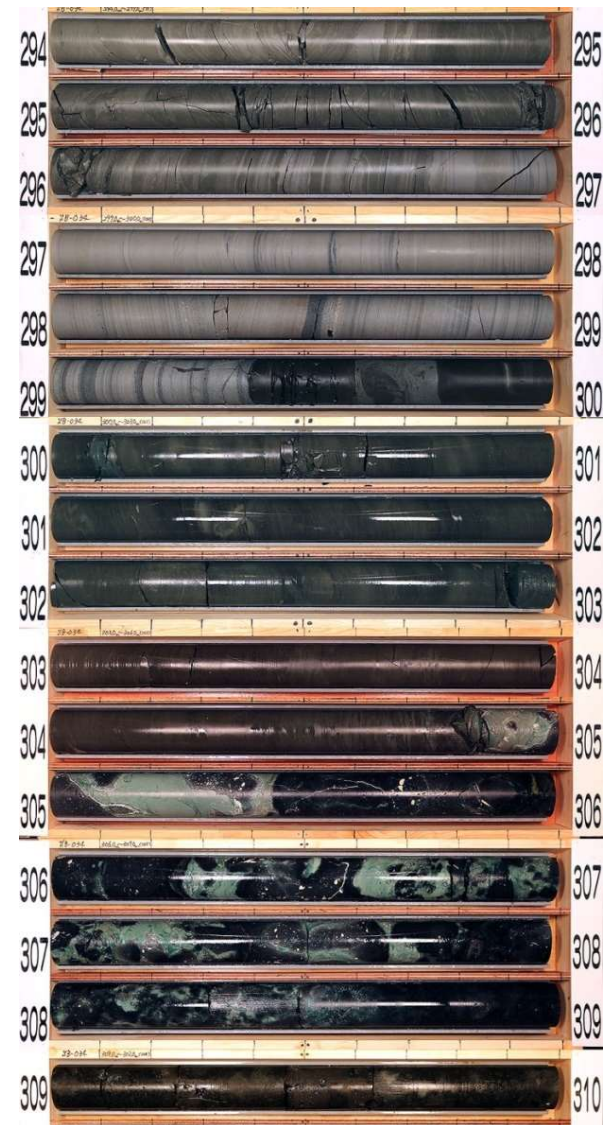
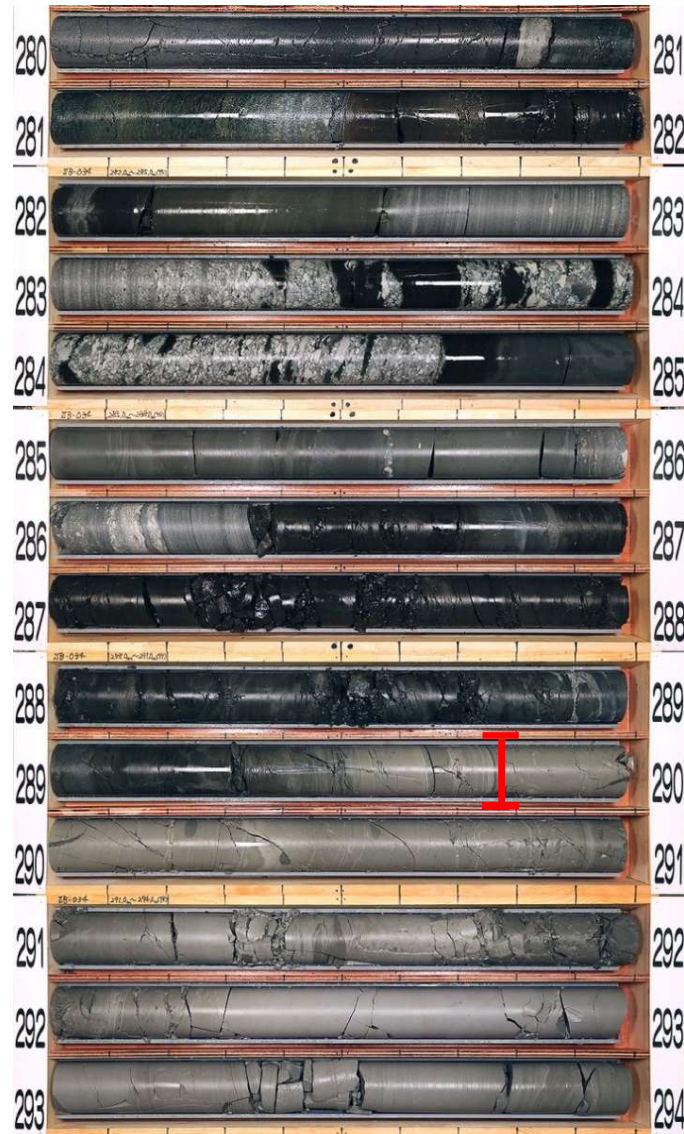


### 3.3.6 南北方向d-d'断面のボーリング孔(4/4)

コメントNo.S3-5

SB-034孔

T.P.-250.22m～T.P.-280.22m  
(深度280m～310m)



凡例 **I** : T.P.-260m